



YILDIZ TEKNİK ÜNİVERSİTESİ
FEN BİLİMLERİ ENSTİTÜSÜ

propagasyon yol kayıp hesaplarının..

Yüksek Lisans Tezi

osman bulucu

**YILDIZ TEKNİK ÜNİVERSİTESİ
FEN BİLİMLERİ ENSTİTÜSÜ**

**PROPAGASYON YOL KAYIP HESAPLARININ
YAPAY SİNİR AĞLARI KULLANILARAK
MODELLENMESİ**

210

Elektronik ve Haberleşme Müh. Osman Umut BULUCU

FBE Elektronik ve Haberleşme Mühendisliği Anabilim Dalı Haberleşme Programında
Hazırlanan

YÜKSEK LİSANS TEZİ

Tez Danışmanı : Yrd. Doç. Dr. Aktül KAVAS

İSTANBUL, 2007

**YILDIZ TEKNİK ÜNİVERSİTESİ
KÜTÜPHANE VE DOKÜMANTASYON
DAİRE BAŞKANLIĞI**

Yer No (DDC) : **R-373-137**

Kayıt No : **3579**

Geldiği Yer : **Fen. Bil. Enst.**

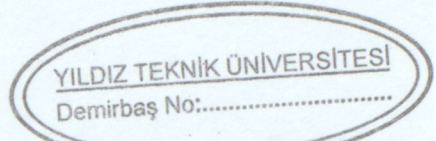
Tarih : **05.12.2007**

Fiyat : **5,00**

Fatura No :

Ayniyat No : **23**

Ek :



**YILDIZ TEKNİK ÜNİVERSİTESİ
FEN BİLİMLERİ ENSTİTÜSÜ**

25507020399938850700001

xii- 101

**PROPAGASYON YOL KAYIP HESAPLARININ
YAPAY SİNİR AĞLARI KULLANILARAK
MODELLENMESİ**

Elektronik ve Haberleşme Müh. Osman Umut BULUCU

FBE Elektronik ve Haberleşme Mühendisliği Anabilim Dalı Haberleşme Programında
Hazırlanan

YÜKSEK LİSANS TEZİ

Tez Danışmanı : Yrd. Doç. Dr. Aktül KAVAS

Doç. Dr. Nurettin Umurkar

Aktül Kavas

G. Doç. Dr. Hamid TORPI

İSTANBUL, 2007

İÇİNDEKİLER

	Sayfa
SİMGELİSTESİ	iv
KISALTMA LİSTESİ	vi
ŞEKİL LİSTESİ	vii
ÇİZELGE LİSTESİ	ix
ÖNSÖZ	x
ÖZET	xi
ABSTRACT	xii
 1. GİRİŞ	 1
1.1 Radyo Frekansı: Endüstriyel Bilimsel ve Medikal (ISM) Frekans Bandı	2
1.1.1 900 MHz ISM Bandı	2
1.1.2 2.4 GHz ISM Bandı	3
1.1.3 5.8 GHz ISM Bandı	3
1.2 Kablosuz Alan Ağları (KAA)	3
1.2.1 Genel Özellikler	3
1.2.2 Kablolu Haberleşme Sistemlerinden Farkları	4
1.2.3 Genel Elemanlar	5
1.2.4 Temel Mimariler	6
1.2.4.1 Ad – Hoc KAA Yapısı	6
1.2.4.2 Mikro Hücre KAA Konfigürasyonu	7
1.3 Kablosuz Alan Ağları (KAA) Standartları	7
1.3.1 IEEE 802.11a Standardı	8
1.3.2 IEEE 802.11b Standardı	8
1.3.3 IEEE 802.11g Standardı	8
1.3.4 IEEE 802.11n Standardı	9
2. RADYO PROPAGASYONU: BÜYÜK-ÖLÇEKLİ YOL KAYBI	10
2.1 Yol Kaybı Kavramı	10
2.2 Serbest Uzay Propagasyonu	11
2.3 Elektrik Alan-Güç İlişkisi	15
2.4 Propagasyonu Etkileyen Faktörler	18
2.5 Yansıma	18
2.5.1 Dielektrikten Yansıma	19
2.5.2 Brewster Açısı	23
2.5.3 Zemin ve Duvarların Propagasyona Etkisi	25
2.5.4 Anten Yüksekliğinin Etkisi: İki-Işın Modeli	27
2.6 Kırınım	34
2.6.1 Fresnel Bölge Geometrisi	34
2.6.2 Bıçak-sırtı Kırınım Modeli	38
2.7 Saçılma	41
2.7.1 Radar Çapraz Kesit (RCS) Modeli	42

3.	BİNAİÇİ PROPAGASYON YOL KAYIP MODELLERİ.....	44
3.1	Giriş.....	44
3.2	Amprik Modeller.....	45
3.2.1	Keenan-Motley Modeli	45
3.2.2	Logaritmik-Uzaklık Modeli	47
3.3	Işın İzleme Yöntemi	48
3.4	Yapay Sinir Ağı Yaklaşımı	51
4.	YAPAY SİNİR AĞLARI.....	53
4.1	Biyolojik Sinir Sistemi	53
4.2	Yapay Sinir Ağı.....	54
4.2.1	Yapay Sinir Ağlarının Özellikleri	55
4.2.2	Yapay Sinir Ağlarının Uygulama Alanları.....	56
4.3	Yapay Sinir Ağı Hücresi	57
4.4	Aktivasyon Fonksiyonları	59
4.4.1	Doğrusal ve Doyumlu-doğrusal Aktivasyon Fonksiyonu.....	59
4.4.2	Sigmoid Aktivasyon Fonksiyonu	60
4.4.3	Eşik Aktivasyon Fonksiyonu	60
4.5	Yapay Sinir Ağı Modelleri.....	61
4.6	Yapay Sinir Ağlarının Eğitilmesi	62
4.7	Yapay Sinir Ağlarında Öğrenme Algoritmaları	62
4.7.1	Çok Katmanlı Algılayıcı (CKA)	63
4.7.2	Geriye Yayılm Algoritması.....	65
4.7.3	Levenberg- Marquardt Algoritması	67
5.	BİNAİÇİ PROPAGASYONUN YAPAY SİNİR AĞLARI KULLANILARAK MODELLENMESİ	70
5.1	Propagasyon Ortamı	70
5.2	Elektrik Alan Şiddeti Ölçümleri.....	73
5.2.1	EMR-300 Radyasyon Ölçüm Aygıtı	74
5.2.2	Elektrik Alan Şiddeti Ölçüm Değerleri	75
5.3	Yapay Sinir Ağı Tasarımı ve Sonuçları	76
5.3.1	Eğitim ve Test Kümesinin Belirlenmesi	76
5.3.2	Giriş ve Çıkışların Ölçeklendirilmesi.....	78
5.3.3	Tasarım Parametrelerinin Belirlenmesi.....	78
5.3.4	Modelleme Sonuçları	80
5.4	YSA ile Amprik Propagasyon Yol Kayıp Modellerinin Karşılaştırılması.....	83
6.	SONUÇLAR ve ÖNERİLER	86
	KAYNAKLAR	89
	EKLER	90
	Ek 1 Makale-1: “WLAN Propagation Path Loss Prediction at 2.4 GHz”	91
	Ek 2 Makale-2: “Electromagnetic Coverage Calculation In GIS”.....	95
	ÖZGEÇMİŞ	101

SİMGE LİSTESİ

a	Keenan-Motley modeli icin Lineer zayıflama katsayısı
A_{eff}	Alici antenin etkin açıklığı
b	Bias girişi
c	Işık hızı
d	Verici-alıcı antenler arasındaki uzaklık
d_0	Verici-alıcı antenler arasındaki referans uzaklık
d_f	Fraunhofer uzaklıği
D	Alici antenin en büyük fiziksel lineer boyutu
e	Yapay sinir Ağrı çıkış hatası
E	Elektrik alan şiddeti
f	Çalışma frekansı
F(v)	Fresnel integrali
G_t	Verici anten kazancı
G_r	Alici anten kazancı
G_{D_i}	Kırınım durumundaki anten kazancı
G_{R_i}	Yansıma durumundaki anten kazancı
G_{S_i}	Saçılma durumundaki anten kazancı
H	Manyetik alan şiddeti
h_c	Kritik yükseklik
h_t	Verici anten yüksekliği
h_r	Alici anten yüksekliği
i_0	Antenden geçen akım değeri
J	Jacobian matrisi
L	Propagasyon bağımsız sistem kaybı
mc	Momentum katsayısı
n	Kırınım indeksi
o	Yapay sinir Ağrı çıkışı
P_d	Güç akı yoğunluğu
P_t	İletilen güç şiddeti
P_r	Alınan güç şiddeti
PL	Yol kaybı
R_{ant}	Anten direnci
t	İterasyon sayısı
V	Voltaj
W	Ağırlık Matrisi
X	Giriş Matrisi
y	Yapay Sinir Ağrı beklenen çıkışı
α	Öğrenme katsayısı
λ	Elektromanyetik işaretin dalga boyu
μ	Manyetik geçirgenlik katsayısı

ν	Fresnel-Kirchoff Kırınım Parametresi
ϵ_0	Boşluğun dielektrik katsayısı
ϵ_r	Bağlı dielektrik katsayısı
δ	Hassaslık yeterliği
τ	İletim katsayısı
θ_i	Dalga'nın düzleme geliş açısı
θ_t	Dalga'nın iletim açısı
θ_B	Brewster açısı
ρS	Suçılma kaybı faktörü
σ	İletkenlik
ω_c	Açısal frekans
Δ	Yol farkı
Γ	Yansıma katsayısı

KISALTMA LİSTESİ

AP	Access Point
ÇKA	Çok Katmanlı Algılayıcı
DHCP	Dynamic Host Control Protocol
EIRP	Effective Isotropic Radiated Power
ERP	Effective Radiated Power
FCC	Federal Communications Commission
GSM	Global System for Mobile Communications
GYA	Geriye Yayılım Algoritması
IBSS	Independent Basic Service Set
IEEE	Institute of Electrical and Electronics Engineers
IP	Internet Protokolu
ISM	Industrial Scientific and Medical
CAA	Kablosuz Alan Ağları
KM	Keenan-Motley
LAN	Local Area Networks
LM	Lavenberg-Marquardt
LOS	Line Of Sight
MIMO	Multiple Input Multiple Output
NAT	Network Address Translation
NIC	Network Interface Card
OFDM	Orthogonal Frequency Division Multiplexing
PC	Personal Computer
PCMCIA	Personal Computer Memory Card International Association
R	Receiver
RCS	Radar Cross Section
RF	Radyo Frekansı
RMS	Root Mean Square
T	Transmitter
TE	Transverse Electric
TM	Transverse Magnetic
USB	Universal Serial Bus
UNII	Unlicensed National Information Infrastructure
WLAN	Wireless Local Area Networks
YSA	Yapay Sinir Ağları
YTÜ	Yıldız Teknik Üniversitesi

ŞEKİL LİSTESİ

	Sayfa
Şekil 1.1 ISM ve UNII Frekans Bantları.....	3
Şekil 1.2 Çeşitli Erişim Noktası Modelleri (Cisco Aironet Serisi)	5
Şekil 1.3 PC ve PCMCIA Dahili Ağ Adaptörü Örnekleri (Cisco)	6
Şekil 1.4 Ad – Hoc KAA Mimarisi.....	6
Şekil 1.5 Yapılandırılmış KAA Konfigürasyonu.....	7
Şekil 1.6 Mikro hücre KAA konfigürasyonu	7
Şekil 2.1 Küçük-ölçek ve büyük-ölçek zayıflama	11
Şekil 2.2 2.4 GHz çalışma frekansı için serbest uzay yol kaybının mesafeye değişimi	14
Şekil 2.3 P noktasından “d” uzaklıkta ve ışiyıcı ile θ açısı yapan, üzerinde i_0 akımını taşıyan, L ($L \ll \lambda$) uzunluğunda doğrusal bir ışiyicının gösterimi	15
Şekil 2.4 (a) Noktasal bir kaynaktan d uzaklıkta güç akı yoğunluğu (b) Alıcının girişine uygulanan gerilim modeli	17
Şekil 2.5 İki dielektrik arasında Dalganın TE ve TM modu için yansımaları	19
Şekil 2.6 Brewster Açısunın sadece TM polarizasyonda olma durumu	23
Şekil 2.7 TE polarizasyonunda yansımaya katsayısının farklı malzemeler için geliş açısına göre değişimi	24
Şekil 2.8 TM polarizasyonunda yansımaya katsayısının farklı malzemeler için geliş açısına göre değişimi	24
Şekil 2.9 Yansıma katsayısının bağıl dielektrik katsayısına göre değişimi	25
Şekil 2.10 2.4 GHz çalışma frekansında 0.3 m kalınlığa sahip tabaka için yansımaya katsayıısı	26
Şekil 2.11 2.4 GHz çalışma frekansında 0.3 m kalınlığa sahip tabaka için transmisyon katsayıısı	27
Şekil 2.12 İki ışını yerden yansımıya modeli	28
Şekil 2.13 “Görüntü metodu”	30
Şekil 2.14 Doğrudan görüş hattı, yerden yansımıya ve toplam alınan elektrik alan bileşenlerini gösteren fazör diyagramı	31
Şekil 2.15 TE ve TM polarizasyonları için İki-Işın Modeli ($ht=hr=0.5m$)	33
Şekil 2.16 TE ve TM polarizasyonları için İki-Işın Modeli ($ht=hr=5cm$)	34
Şekil 2.17 Bıçak-sırtı kırınım geometrisi diyagramları.....	36
Şekil 2.18 Ardışık Fresnel bölgelerinin sınırlarını tanımlayan eş merkezli çemberler	38
Şekil 2.19 Farklı bıçak-sırtı kırınım durumları için Fresnel bölgelerinin gösterimi	39

Şekil 2.20 Fresnel kırınım parametresi cinsinden bıçak-sırtı kırınım kazancı.....	41
Şekil 2.21 Propagasyon mekanizmaları (1) Yansıma (2) Saçılma (3) Kırınım (4) Transmisyon (5)Bina içine penetrasyon.....	43
Şekil 3.1 Keenan-Motley Modeli	45
Şekil 3.2 Keenan-Motley Modeli ile Yol kaybı Analizi	46
Şekil 3.3 Logaritmik-Uzaklık Modeli ile Yol kaybı Analizi	48
Şekil 3.4 Işın optik modelinin prensibi	49
Şekil 3.5 İşaretin Kırınım ve Saçılma Durumlarındaki Davranışı	51
Şekil 4.1 Biyolojik sinir sisteminin blok gösterimi.....	53
Şekil 4.2 Biyolojik Sinir Hücresi ve Bileşenleri	54
Şekil 4.3 Temel yapay sinir ağı hücresi	58
Şekil 4.4a Doyumlu-doğrusal Aktivasyon Fonksiyonu	59
Şekil 4.4b Çift ve Tek Yönlü Sigmoid Aktivasyon Fonksiyonları	60
Şekil 4.4c Eşik aktivasyon fonksiyonu	61
Şekil 4.5 İleri Beslemeli Yapı	61
Şekil 4.6 Geri beslemeli yapı.....	62
Şekil 4.7 İleri beslemeli Çok Katmanlı Algılayıcı	64
Şekil 5.1 YTÜ Yıldız Yerleşkesi	71
Şekil 5.2 T-Blok Genel Görünüm	71
Şekil 5.3 T-Blok Zemin kat (3-boyutlu)	72
Şekil 5.4 T-Blok Zemin kat (2-boyutlu)	72
Şekil 5.5 Cisco Aironet 1100 Serisi Erişim Noktası	73
Şekil 5.6 T10x koridorunda belirlenen noktalar	74
Şekil 5.7 EMR-300 Radyasyon Ölçüm Aygıtı.....	76
Şekil 5.8 Ölçüm Değerlerine Göre Ortamdaki Güç Dağılımı (dB).....	81
Şekil 5.9 Ölçüm Değerlerine Göre Ortamdaki Güç Dağılımı (dB).....	82
Şekil 5.10 Yol Kaybı Hesaplamaları İçin Kullanılan Doğrultular	84
Şekil 5.11 Birinci Doğrultu İçin Yol Kaybı Hesaplamaları	85
Şekil 5.12 İkinci Doğrultu İçin Yol Kaybı Hesaplamaları.....	85
Şekil 6.1 100 cm Yükseklik Seviyesi için Güç Dağılımının ArcGIS ile Görüntülenmesi.....	88

ÇİZELGE LİSTESİ

	Sayfa
Çizelge 1.1 KAA standartları.....	8
Çizelge 2.1 Farklı frekanslarda Çeşitli malzeme parametreleri	21
Çizelge 2.2 Çeşitli Malzemelerin Bağlı Dielektrik katsayıları	21
Çizelge 2.3 Fresnel-Kirchoff kırınım parametresinin değişen değerleri için kırınım kazancının yaklaşık çözümü	40
Çizelge 3.1 KM Modelinde Farklı Binalarda Farklı Frekanslar İçin Ölçülen Yol Zayıflama Katsayıları.....	46
Çizelge 3.2 Farklı Ortamlar İçin Kullanılan Yol Kaybı Katsayıları	48
Çizelge 5.1 Propagasyon Ortamında Elde Edilen Ölçüm Değerleri	75
Çizelge 5.2 YSA Modeli İçin Eğitim ve Test Değerleri	77
Çizelge 5.3 YSA Modelinin İndirgenmiş Giriş ve Çıkış Değerleri	79

ÖNSÖZ

Kablosuz haberleşme sistemlerinde kesintisiz ve etkin bir iletişimin sağlanabilmesi için, radyo propagasyonun özellikle bina içi ortamlardaki analizi büyük önem taşımaktadır. Veri iletiminin kesilmemesi için bina içinde sağlıklı bir yayılım sağlanmalıdır. Hareketli alıcıdaki işaret güç seviyesinin kestirimi için çeşitli amprik ve deterministik modeller geliştirilmiştir. Geliştirilen bu modeller sayesinde verici ve alıcı antenlerin konumları belirlenip verimli bir ağ tasarımlı yapılabilmektedir.

Bu çalışmada binacı ortamlardaki propagasyonunu etkileyen etmenler ele alınıp, radyo işaretine ilişkin güç seviyesindeki değişimini analiz edebilmek ve yol kaybını modelleyebilmek için literatürde yer alan diğer modellere alternatif bir Yapay Sinir Ağrı çözümü geliştirilmiştir. Yapay Sinir Ağrı modeli ile diğer modellerin karşılaştırması yapılarak sistemin işlerliği için kullanım alanı sağlamak amaçlanmıştır.

Tezimin hazırlanması sırasında benden katkı ve yardımlarını esirgemeyen değerli hocam, tez danışmanım Öğretim Görevlisi Dr. Aktül KAVAS'a; yakın arkadaşım ve proje ortağım Y.T.Ü Jeodezi ve Fotogrametri Müh. Yüksek Lisans Öğrencisi Sayın Alper ŞEN'e; hoşgörü ve desteklerinden dolayı NORTEL NETAŞ'taki yönetici ve iş arkadaşlarına ve çalışmanın her aşamasında bana sonsuz destek olan ailem ve "en sevdiğim" sonsuz teşekkür ederim.

ÖZET

Kablosuz haberleşme sistemlerinde kesintisiz ve etkin bir iletişimin sağlanabilmesi için, radyo propagasyonun özellikle bina içi ortamlardaki analizi büyük önem taşımaktadır. Veri iletiminin kesilmemesi için binaçi ortamda sağlıklı bir yayılım sağlanmalıdır. Hareketli alıcıdağı işaret güç seviyesinin uzaklığa bağlı olarak kestirimi için geliştirilen çeşitli modeller sayesinde verici ve alıcı antenlerin konumları belirlenip verimli bir ağ tasarımları yapılabilmektedir.

Sistemin işlerliğini kaybetmeden çalışabildiği maksimum uzaklık menzil olarak tanımlanmakta ve bu değer “yol kaybı” kavramı ile açıklanmaktadır. Yol kaybı hesaplamaları haberleşme sisteminin ve ortamın karakteristik özelliklerine bağlı olarak modellenmekte; böylelikle sistemin kapsama alanına ilişkin sağlıklı bir kestirim yapılabilmektedir.

Bu çalışmada; Yıldız Teknik Üniversitesi Beşiktaş Kampusu T-Blok zemin katında ve 2.4 GHz frekans bandında çalışan kablosuz haberleşme sistemine ilişkin propagasyon yol kaybı modellenmiştir. Öncelikle Kablosuz Alan Ağları'na ilişkin genel özellikler ve standartlar verilmiş; radyo propagasyonunda büyük-ölçekli yol kaybı ve propagasyonu etkileyen etmenler ele alınarak yol kaybı kestiriminde kullanılan çeşitli amprik ve deterministik modeller tanımlanmıştır.

Bununla birlikte bu modellere alternatif bir Yapay Sinir Ağı (YSA) modeli geliştirilerek sonuçları ortaya konmuştur. Modelleme için binaçi ortamda ölçekli bir şekilde Elektrik Alan şiddeti ölçümleri yapılmış; elde edilen ölçüm verileri ve Levenberg-Marquardt öğrenme algoritması ile ağ eğitilerek kestirim modeli oluşturulmuştur. YSA modelinin ölçüm değerleri ve diğer modeller ile karşılaştırılması yapılarak MATLAB bilgisayar programında elde edilen sonuçlar ortaya konmuştur. Yapılan incelemelerin yanı sıra tez çalışması sırasında elde edilen araştırma sonuçları, ayrıca iki ayrı bilimsel makale halinde de derlenerek EKLER kısmında sunulmuştur.

Anahtar Kelimeler: Kablosuz Alan Ağları, Binaiçi yayılım, Propagasyon Yol Kaybı, Yapay Sinir Ağları, Levenberg-Marquardt

ABSTRACT

The analysis of indoor radio propagation is very important for the maintenance of a sustainable and an effective communication link in Wireless systems. A sufficient radio propagation must be maintained to avoid the interruption of the data transmission. The positions of the transmitters and receivers can be determined with the various models predicting the radio signal power level versus the distance between the antennas. With the use of these models, an efficient wireless network can be designed.

The maximum distance, where the communication is still maintained, is called the range of the system and this value is identified by the “propagation path loss” term. The path loss calculations are modelled due to the characteristics of the communication system and the propagation environment and thus, a reliable coverage area prediction can be done

In this assignment, the Wireless Local Area Network (WLAN) system operating at 2.4 GHz frequency band and located in the entrance floor of the Yildiz Technical University Besiktas Campus T-Block have been researched and the related radio propagation path loss calculations have been modelled. Firstly, the general concepts and technical standards of the WLAN system have been introduced. Then, the mechanisms affecting the large-scale path loss have been identified and various empirical and deterministic prediction models have been defined.

Furthermore, an alternative Artificial Neural Network (ANN) approach have been developed and implemented. The Electric Field Strength measurements were performed in the propagation environment and these values were used to train the ANN model with Levenberg-Marquardt training algorithm.. By using MATLAB, the ANN prediction results have been compared with the empirical models and the measurement values. Moreover, the achieved results during this project have been compiled in two articles which are given in the acknowledgement section.

Key words: Wireless Local Area Networks (WLAN), Indoor Propagation, Propagation Path Loss, Artificial Neural Networks, Levenberg-Marquardt.

1. GİRİŞ

Kablosuz Haberleşme, günümüzün teknoloji dünyasının en etkin ve hızlı değişim gösteren alanlarından birisidir. Bu hızlı gelişimin temel nedeni, mevcut iletim ortamında ses bilgisinin yanı sıra video, görüntü ve çeşitli veri transferinin bulunduğu servislerin entegre bir şekilde taşınmasının amaçlanmasıdır. Böylelikle, kablolu haberleşme sistemlerine benzer şekilde kablosuz haberleşme sistemlerinde de kapasite ve hız bakımından iyileştirme çabaları büyük bir hızla artmıştır.

Kablolu sistemler için, iletim hatlarında fiber optik kabloların; şebeke ağ mimarisinde de çok yönlü yönlendirici (router) ve anahtar (switch) gibi güçlü donanımlar ve yeni işaret işleme tekniklerinin kullanımıyla beraber büyük bir aşama kaydedilmiştir. Öte yandan kablosuz haberleşme için tasarımcıların önünde hala iki büyük kısıtlama vardır. Bu kısıtlamalar; hava arayüzünde kullanıma elverişli “*kısıtlı frekans bandı*” ve bina içi ve/veya bina dışı ortamlarda yayınlanabilecek “*kısıtlı verici gücü*” şeklindedir. Verici güçlerindeki sınırlamalar, haberleşme ortamındaki farklı kaynaklara ilişkin işaretlerin girişimi ve sonucunda insan sağlığını tehdit edebilecek “elektromanyetik kirlilik” ve ayrıca hareketli abone (alıcı) donanımının sahip olduğu kısıtlı güçten kaynaklanmaktadır.

Kablosuz haberleşmede en önemli uygulamalar, askeri amaçlı mikrodalga radar savunma sistemleri ve elbetteki günümüz cep telefonu dünyasının temelini oluşturan hareketli hücresel haberleşme sistemleridir. Bununla birlikte ev, okul ve ofis gibi binaiçi ortamlarda geniş-bant Internet erişimi ve yüksek hızlı çoklu-ortam (multi-media) veri transferi olanağını sunan Kablosuz Alan Ağları (KAA, Wireless Local Area Networks, WLAN) ve Bluetooth gibi kısa menzilli haberleşme sistemleri de bulunmaktadır.

Tüm bu binaiçi/binadışı uygulamalarda tasarımcıların odak noktası, sınırlı frekans bandını etkin bir şekilde kullanmakla beraber verici ve alıcı arasındaki haberleşme sağlayan elektromanyetik dalgaya ilişkin “*propagasyon yol kaybı*” dır. Etkin bir veri iletim hızının ortamda nereye kadar sağlanabildiği; bir başka deyişle sistemin menzilinin belirlenmesi, yol kaybının analizi ile mümkün olmaktadır. Yol kaybı analizinde ise propagasyon ortamındaki verici kaynağın çalıştığı frekans bandında ve bulunduğu hücre tipine bağlı olarak hangi güç seviyelerinde yayın yaptığı araştırılmalıdır.

Bu çalışmada Yıldız Teknik Üniversitesi Beşiktaş Kampüsü içindeki T-Blok zemin kat koridorunda çalışmakta olan KAA sistemine ilişkin yol kaybı modellemesi yapılmıştır. Bu çalışmada KAA kapsama alanı araştırılmıştır. Bunun için bu bölümde sırasıyla KAA

Sisteminin çalıştığı frekans bandı belirtilmiş ve KAA sistemlerine ilişkin genel özellikler ve standartlar tanımlanmıştır.

1.1 Radyo Frekansı: Endüstriyel Bilimsel ve Medikal (ISM) Frekans Bandı

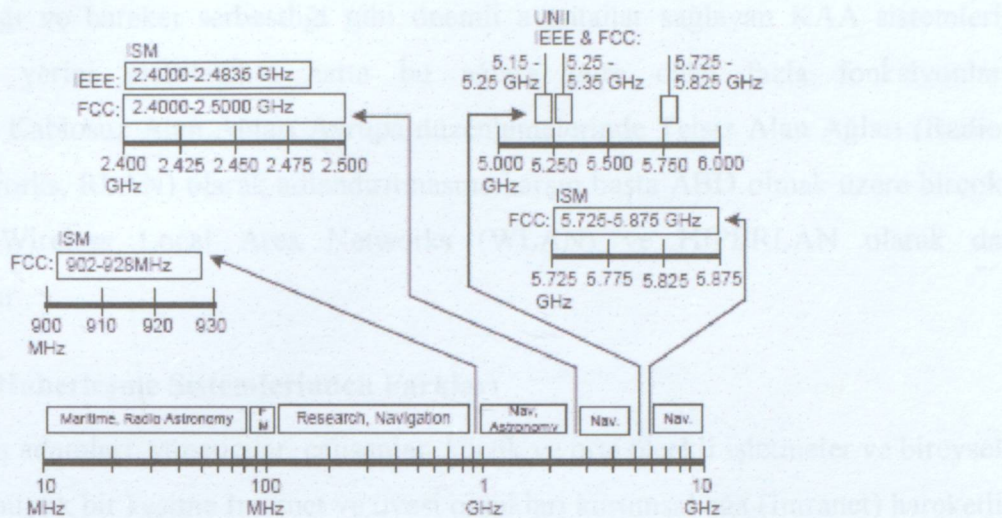
Frekans bandı kablosuz haberleşme sistemlerinin etkisini göstermek için kullanılan temel özelliklerden biridir. Propagasyon kanalı için optimum frekans bandı, haberleşme sisteminin teknik gereksinimleriyle ve haberleşme ortamındaki radyo dalga propagasyonun koşullarıyla belirlenmekte ve sınırlandırılmaktadır.

Kablosuz haberleşme sistemleri elektromanyetik spektrumunda kızıl ötesi ışınlar ile birlikte radyo frekans bandını (30 Hz-300 GHz) kullanmaktadır. Bu sistemler, büyük ölçüde Kuzey Amerika'da geliştirilen teknolojilerdir ve bu nedenle Amerika kıtasındaki yerel kısıtlamalar bu teknolojilerin gelişiminde, özellikle frekans bantlarının belirlenmesinde büyük rol oynamıştır. Bu bağlamda standartların şekillenmesinde iki kuruluş; FCC (Federal Communications Group) ve IEEE (The Institute of Electrical and Electronics Engineers) belirleyici olmaktadır.

Kablosuz yerel alan ağlarının kullanabileceği frekans aralıklarını ve bu frekans bantlarındaki güç çıkışlarının sınırlarını FCC belirlemektedir. Bu paralelde FCC tarafından KAA için lisanssız kullanılabilen ISM (Industrial, Scientific and Medical) bandına izin vermiştir. ISM bantları genel olarak; 900 MHz, 2.4 GHz, ve 5.8 GHz frekans banları şeklindedir ve 26 MHz ile 150 MHz arasında değişen bant genişliklerine sahiptir. ISM bantlarına ek olarak FCC, üç adet UNII (Unlicensed National Information Infrastructure) frekans bandı daha belirlemiştir. (Şekil 1.1). Her bir UNII bandı 5 GHz frekans seviyesindedir ve 100 MHz bant genişliğine sahiptir. (Şen, 2005)

1.1.1 900 MHz ISM Bandı

900 MHz ISM Bandı 902 MHz ile 928 MHz aralığındaki frekans bandıdır. Bu bant bir dönem KAA için kullanılmış olsa da daha sonraları daha üst frekans bantlarının daha yüksek bant genişliği ve daha yüksek çıkış vermeleri sebebi ile kullanımı azalmıştır. Ev tipi telsiz telefonlarda ve kablosuz kamera sistemlerinde halen yaygın olarak kullanılmaktadır. 900 MHz ISM bandında maksimum güç çıkışlı FCC tarafından 1 Watt olarak, maksimum belirlenmiştir.



Şekil 1.1 ISM ve UNII Frekans Bantları

1.1.2 2.4 GHz ISM Bandı

Tüm IEEE 802.11 uyumlu ürünlerin kullandığı ve KAA için en yaygın olarak kullanılan ISM bandıdır. Bu frekans bandı 2.4 GHZ ile 2.5 GHz arasındaki frekans aralığını kapsar. Ancak KAA bu bandın sadece 2.4 ile 2.4835 GHz arasındaki 83.5 MHz'lik bir aralığı kullanır çünkü FCC, sadece bu kısma ilişkin maksimum güç çıkış limitlerini belirlemiştir. 2.4 GHz ISM bandında maksimum güç çıkışı FCC tarafından 1 Watt olarak belirlenmiştir.

1.1.3 5.8 GHz ISM Bandı

5 GHz ISM bandı olasılıkla bilinse de 5.725 GHz ile 5.875 GHz aralığında uzanan frekans bandıdır ve toplam bant genişliği 150 MHz'dir. 5 GHz seviyesinde kullanılan KaAA bandı, üst UNII olarak da bilinen bir başka lisans gerektirmeyen frekans bandıdır ve ISM bandından farklıdır. 5.8 GHz ISM bandında maksimum güç çıkışı FCC tarafından 1 Watt olarak belirlenmiştir.

1.2 Kablosuz Alan Ağları (KAA)

1.2.1 Genel Özellikler

Kablosuz Alan Ağları (Wireless Local Area Networks, WLAN), iki yönlü geniş bant veri iletişimini sağlayan, iletim ortamı olarak fiber optik veya bakır kablo yerine 2.4 GHz ve 5 GHz telsiz frekansı (Radio Frequency, RF) bandını kullanan ve salon, bina veya kampus gibi sınırlı bir alanda çalışan iletişim ağlarıdır. (Nichols, 2002)

Kurulum kolaylığı ve hareket serbestliği gibi önemli avantajlar sağlayan KAA sistemleri kablolu ağların yerini alabilmekte hatta bu ağlara göre daha fazla fonksiyonlar içerebilmektedir. Kablosuz Alan Ağları Avrupa düzenlemelerinde Telsiz Alan Ağları (Radio Local Area Networks, RLAN) olarak adlandırılmasına karşın başta ABD olmak üzere birçok ülkede Wi-Fi, Wireless Local Area Networks (WLAN) ve HIPERLAN olarak da adlandırılmaktadır.

1.2.2 Kablolu Haberleşme Sistemlerinden Farkları

KAA sistemleri iş adamları, yöneticiler, çalışanlar, küçük ve orta ölçekli işletmeler ve bireysel kullanıcılar gibi büyük bir kesime Internet ve üyesi oldukları kurumsal ağa (İntranet) hareketli olarak bağlanma imkânı sağlamaktadır. Ayrıca, KAA sistemleri kullanıcılarla mekandan bağımsız olarak kolay bir kablosuz ağ kurulumu ve geniş bant veri iletim imkanı sunmaktadır. Bu sistemlerin kablolu sistemlerden farkları aşağıdaki parametreler göre özetlenebilir:

Hareketlilik: KAA yapısının en önemli avantajı hareketlilik olarak öne çıkmaktadır. Bir KAA kapsama alanı içindeki kullanıcı, uygun bir istemci (client) ile mekândan bağımsız olarak ağa erişebilir ve ağ kaynaklarını klasik LAN içindeymiş gibi kullanabilir. Hareketlilik sadece istemciye değil, ağın tamamı için de mümkündür, kablosuz olarak konfigüre edilmiş bir ağ çok kolayca taşınabilir.

Maliyet: Günümüzde bir LAN kurulum ve işletim maliyetinin büyük bir bölümü kablolama giderleridir. Fakat KAA dahilinde bu maliyetler büyük oranda azaltılmaktadır.

Zaman: Klasik bir LAN için her bir istemciye fiziksel bir kablo ulaştırılması zorunludur; bu kablolama işlemi bitmeden verimli bir LAN çalışması düşünülemez. Ancak KAA dahilinde genel bir kapsama alanı söz konusu olduğu için her bir istemcinin teker teker ele alınması gerekmektedir. Bu nedenle KAA çok daha kısa sürede kurulup işletilebilir.

Esneklik: Klasik bir LAN çok iyi planlanmalı ve olası büyümeler önceden kestirilmelidir. Aksi takdirde kullanımındaki bir LAN için genişleme çok zor ve yüksek maliyetlidir. Özellikler kablolamanın gizli yapıldığı (duvar içi, zemin altı vs.) ortamlarda yeni kablolama son derece zor olacaktır. Ancak bir KAA dahilinde genişleme sadece erişim noktalarındaki değişikliklerle yapılabilir.

Bu ve benzeri üstünlükleri KAA yapılarının endüstride giderek yaygınlaşmasına sebep olmaktadır. Özellikle büyük alanlarda ve kampus ortamlarında kurulan ağlar için KAA çok cazip bir seçenek halini almaktadır.

1.2.3 Genel Elemanlar

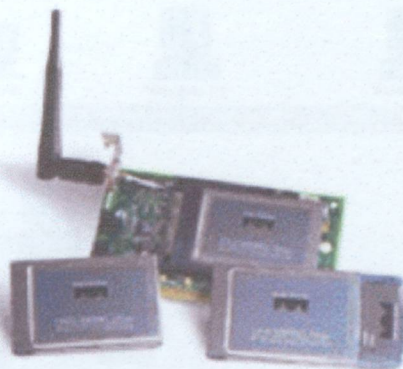
Erişim Noktası: Erişim Noktası (Access Point, AP) KAA içerisindeki birimlerin bir kablolu ağa bağlanmasıını sağlayan ve diğer kablosuz birimlerin yönetiminden sorumlu olan birimdir. Bir başka deyişle KAA, ağ şebekesindeki son kullanıcılara (istemcilere) Erişim Noktası arayüzü üzerinden oluşturduğu elektromanyetik yayılım ile ulaşır.

Sektörde binacı ve binadışı ortamlar için çeşitli erişim noktaları üretilmektedir. Erişim noktaları, üretim özelliklerine bağlı olarak güvenlik, ağ yönlendirmesi (routing), dinamik IP (Internet Protokolü) yönetimi (Dynamic Host Control Protocol, DHCP) ve ağ adres çözümlemesi (Network Address Translation, NAT) konularında çözümler sağlayabilir. Aralarında elektromanyetik kapsama alanı araştırılan Cisco Aironet 1100 erişim noktasının (yukarıda soldan sağa üçüncü) da bulunduğu örnek modeller Şekil 1.2'de görülmektedir.



Şekil 1.2 Çeşitli Erişim Noktası Modelleri (Cisco Aironet Serisi)

Ağ Adaptörü: NIC (Network Interface Card) herhangi bir istemci ile kablosuz ağ arasında ara yüz oluşturan elemanlardır. Masaüstü bilgisayarlar (Personal Computer, PC) ve diz üstü bilgisayarlar için (PCMCIA) dahili ve farklı arabirimleri (USB, FireWire vs) kullanan harici adaptörler olarak üretilir.



Şekil 1.3 PC ve PCMCIA Dahili Ağ Adaptörü Örnekleri (Cisco)

1.2.4 Temel Mimariler

1.2.4.1 Ad – Hoc KAA Yapısı

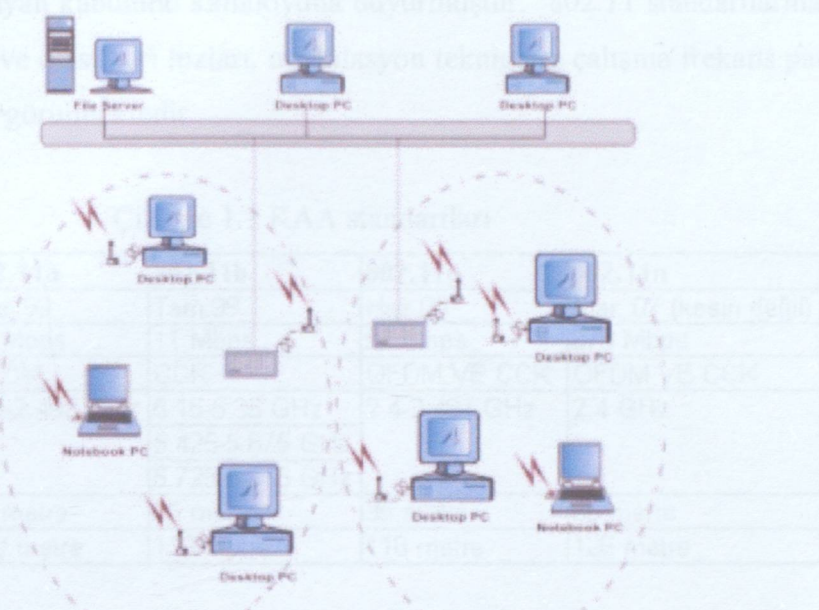
Geleneksel LAN modelindeki Noktadan Noktaya (Peer-to-Peer) bağlantı şekline karşılık gelen bu yapıda tüm KAA cihazları doğrudan KAA adaptörler ile bağlantı kurar. Bu tip yapı en kolay kurulacak olan KAA yapısıdır. Kurulumu son derece kolaydır ve hiçbir ön hazırlık gerektirmez. Bu yapı Bağımsız Temel Servis Birimi Seti (Independent Basic Service Set, IBSS) olarak da anılır.



Şekil 1.4 Ad – Hoc KAA Mimarisi

1.2.4.2 Yapılandırılmış KAA Mimarisi

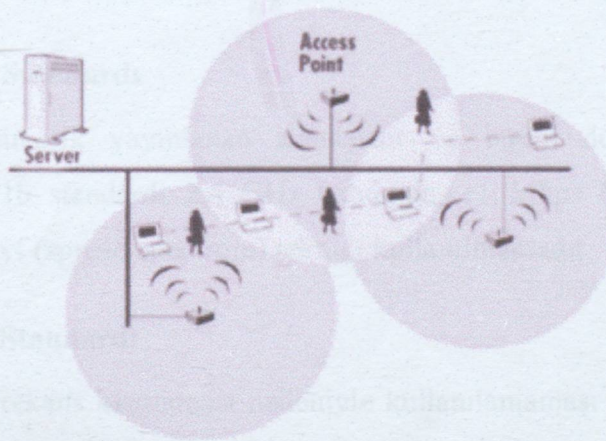
Geleneksel LAN modelinde bir veya birkaç dağıtıçı (hub) elemanına bağlı olarak gerçekleştirilen ağ yapısına benzeyen bu yapıda, istemciler Erişim Noktaları üzerinden kablolu ağa veya birbirlerine bağlanır. Bir bina yada kampus alanının tamamı kapsamak istendiğinde uygulanan bir çözümdür. Genişletilmesi geleneksel LAN yapılarından daha hızlı ve kolay olmaktadır.



Şekil 1.5 Yapılandırılmış KAA Konfigürasyonu

1.2.4.2 Mikro Hücre KAA Konfigürasyonu

Bu konfigürasyon Yapılandırılmış KAA konfigürasyonu ile benzerdir. Ancak burada hücreler örtüşerek kullanıcıya hareketlilikte süreklilik kazandırır. Her bir hücreye mikro hücre (microcell) denir. Bu işleme de dolaşım (roaming) denir.



Şekil 1.6 Mikro hücre KAA konfigürasyonu

1.3 Kablosuz Alan Ağları (KAA) Standartları

KAA standartları IEEE 802 çalışma grubu tarafından belirlenmektedir. Günümüzde kullanılan teknolojiler, 802.11a, 802.11b ve 802.11g standartlarıdır. Öte yandan ileri standartlar için de çalışmalarını devam ettiren IEEE organizasyonu, Mart 2007 itibarıyle en son sürüm 802.11n

standardının kesin olmayan kabulünü kamuoyuna duyurmuştur. 802.11 standartlarına ilişkin onay tarihi, maksimum ve olası veri hızları, modülasyon tekniği ve çalışma frekans parametre değerleri Çizelge 1.1'de görülmektedir.

Çizelge 1.1 KAA standartları

Standartlar	802.11a	802.11b	802.11g	802.11n
Onay tarihi	Tem.99	Tem.99	Haz.03	Mar. 07 (kesin değil)
Maksimum Veri Hızı	54 Mbps	11 Mbps	54 Mbps	270 Mbps
Modülasyon	OFDM	CCK	OFDM VE CCK	OFDM VE CCK
Frekans	2.4-2.497 GHz	5.15-5.35 GHz 5.425-5.875 GHz 5.725-5.875 GHz	2.4-2.497 GHz	2.4 GHz
Menzil (Binacı)	30 metre	35 metre	35 metre	50 metre
Menzil (Binadışı)	100 metre	110 metre	110 metre	126 metre

1.3.1 IEEE 802.11a Standardı

5 GHz bandında 54 Mbps bant genişliği sunan KAA teknolojisidir. 802.11a Ortogonal Frekans Bölmeli Çoğullama (Orthogonal Frequency Division Multiplexing, OFDM) prensibini kullanır. OFDM ile 48'i veri iletimi için 4'ü hata denetimi için kullanılan toplam 52 kanal tanımlanır. Örtüşmeyen kanal sayısı 802.11b'deki 3'e karşılık burada 8'dir. Ancak komşu kanallar arası girişim etkisi nedeniyle bu kanalların tümü kullanılamaz. 802.11a teknolojisi, ülkemizin de aralarında bulunduğu birçok ülkede sivil amaçlar için kullanımı kısıtlanan 5 GHz bandında çalışması nedeniyle kullanılamaz durumdadır.

1.3.2 IEEE 802.11b Standardı

KAA teknolojileri için ilk yayınlanan standarttır ve bütün dünyada kullanımı hızla yaygınlaşmıştır. 802.11b standarı 2.4 GHz bandında, 11 Mbps bant genişliği sunan bir teknolojidir. Dağıtık tayf (spread spectrum) tekniği kullanılmaktadır.

1.3.3 IEEE 802.11g Standardı

802.11a standardının frekans kısıtlaması nedeniyle kullanılamaması ve 802.11b'nin sunduğu 11 Mbps hızının yetersiz kalması nedeniyle bant genişliği ihtiyacını karşılamak üzere her iki teknolojinin elverişli yönlerinin birleştirilmesiyle oluşturulmuş yeni bir teknolojidir. Teknolojik olarak 2.4 GHz bandında çalıştığı için 802.11b'nin özelliklerini taşımakta ancak toplam 54 Mbps bant genişliği sunmaktadır. 802.11b ile 802.11g geriye dönük uyuma sahip olduklarıdan aynı ortamlarda çalışabilmektedirler.

Yol kaybı modellemesinde incelenen verici kaynak, IEEE 802.11g standardında çalışan Cisco Aironet 1100 Serisi Erişim Noktasıdır. Vericiye ilişkin detaylı özellikler ileriki bölümlerde

verilecektir.

1.3.4 IEEE 802.11n Standardı

Tamamlanmamış sürümü Mart 2007' de IEEE organizasyonunda oy çokluğuyla kabul edilen bu standart, mevcut standartlara Çoklu Giriş-Çoklu Çıkış (MIMO, Multiple Input Multiple Output) özelliğini katmaktadır. Bu özellik 2x2 modelini yani iki alıcı ve iki verici formatını kullanarak aynı anda çok sayıda veri dizisini işleyerek maksimum iletim hızını 270 Mbps seviyesini çıkarmayı amaçlamaktadır.

2. RADYO PROPAGASYONU: BÜYÜK-ÖLÇEKLİ YOL KAYBI

2.1 Yol Kaybı Kavramı

Günümüz kablosuz haberleşme sistemlerinde herhangi bir uygulama için yapılan tasarımda karşılaşılan en büyük sorunlar sistemin kapsama alanı ile ilgilidir. Bu sorulara cevap verebilmek için sistemin iki önemli özelliği karşılaştırmalıdır. Bunlar sırasıyla sistemin dinamik menzili ve elektromanyetik dalganın propagasyon kaybıdır.

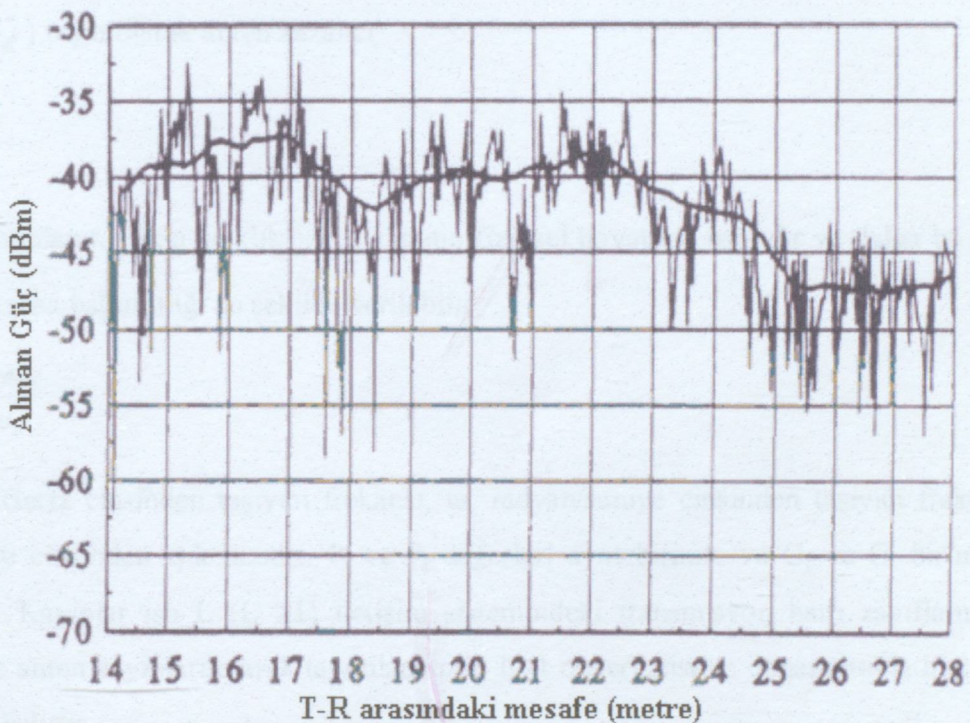
Sistemin dinamik menzili tasarımcı tarafından bilinen bir özelliktir. Bu özellik verici ile alıcı arasındaki haberleşme kanalında, sistem işlerliğini kaybetmeden sinyalin uğrayabileceği maksimum kaybın dB cinsinden ifadesidir (Shamir,2002). Dinamik menzili belirleyen en önemli kriterler iletim gücü ve alıcı hassasiyetidir. Örneğin, bir sistem için 80 dB dinamik menzile sahip deniliyor ise alıcı, iletim gücünün 80 dB aşağısına kadar sinyalleri algılayabiliyor demektir. Buna göre 10 dBm'lik bir iletim gücüne sahip bir verici varsa, sistemdeki alıcı -70 dBm güç seviyesinden daha düşük sinyalleri algılayamaz.

Propagasyon kaybı ise, sinyalin alıcıya giderken izlediği yolda uğradığı enerji kaybıdır. Bu yüzden propagasyon kaybına “yol kaybı” da denmektedir. Örneğin sitemde 50 dB'lik yol kaybı var ise 10 dBm iletim gücü için alıcıda -40 dBm lik bir güç seviyesi beklenir.

Elektromanyetik dalga propagasyonunu etkileyen faktörler, yansımıma, kırınım ve saçılma olarak adlandırılmaktadır. Hücresel sistemler, yoğunlukla, verici ile alıcı arasında doğrudan görüş hattının olmadığı ve yüksek binaların varlığı nedeniyle şiddetli saçılma ve yansımıma kaybının olduğu kentsel bölgelerde kullanılır. Farklı nesnelerden kaynaklanan çok yolu yansimalardan dolayı, elektromanyetik dalgalar değişen uzaklıklara bağlı olarak farklı yollar izleyerek ilerler. Bu dalgalar arasındaki etkileşim belirli bir noktada çok yolu zayıflamaya neden olur ve verici ile alıcı arasındaki mesafe arttıkça dalgaların genlik şiddeti azalır

Geliştirilen fiziksel teorilere karşı yol kaybını kestirebilmek oldukça güçtür. Bunun için çeşitli propagasyon modelleri geliştirilmiştir. Propagasyon modelleri genel olarak vericiden uzak belli bir noktada alınan ortalama işaret seviyesini tahmin etmeye dayalıdır. Rasgele seçilen verici-alıcı arasındaki mesafe için ortalama işaret şiddetini tahmin etmeye dayalı propagasyon modelleri, bir vericinin kapsama alanının hesaplanmasında çok önemlidir. Bu modellere *büyük-öçek*

propagasyon modelleri denmektedir ve birkaç yüz veya bin metre gibi büyük T-R (Verici-Alıcı, Transmitter-Receiver) aralıkları üzerinden işaret şiddetini karakterize ederler. Diğer bir yandan, birkaç dalga boyu çok kısa mesafeler veya saniyeler mertebesindeki kısa zaman aralıkları üzerinden hızlı değişimi karakterize eden propagasyon modelleri de vardır ve bunlara *küçük-ölçek zayıflama* modelleri denilmektedir (Rappaport,2002).



Şekil 2.1 Küçük-ölçek ve büyük-ölçek zayıflama

Şekil 2.1, bir bina içi haberleşme sistemi için küçük-ölçek zayıflamayı ve daha yavaş büyük-ölçek değişim miktarlarını göstermektedir.

2.2 Serbest Uzay Propagasyonu

Serbest uzay propagasyon modeli, alıcı ve verici arasında net, engellerin olmadığı doğrudan görüş hattı olduğunda alınan sinyal kuvvetinikestirmede kullanılmaktadır. İşıma yapan verici bir antenden d mesafe uzaklıkta olan alıcı anten tarafından alınan serbest uzay gücü, aşağıdaki Friis serbest uzay denklemiyle verilir;

$$P_r(d) = \frac{P_t G_t G_r \lambda^2}{(4\pi)^2 d^2 L} \quad (2.1)$$

Burada; P_t verilen güç, $P_r(d)$ T-R arasındaki uzaklığın fonksiyonu alınan güç, G_t verici anten kazancı, G_r alıcı anten kazancı, d metre cinsinden verici-alıcı arasındaki mesafe, L propagasyondan bağımsız sistem kaybı ($L \geq 1$) ve λ metre cinsinden dalga boyudur ve, etkin açıklığa (A_{eff}) bağlı olarak anten kazancı,

$$G_r = \frac{4\pi A_{eff}}{\lambda^2} \quad (2.2)$$

şeklinde tanımlanır. Etkin açıklık, A_{eff} , antenin fiziksel boyutuna bağlıdır ve dalga boyunun (λ) taşıyıcı frekansa bağımlılığı şu şekilde verilebilir:

$$\lambda = \frac{c}{f} = \frac{2\pi c}{\omega_c} \quad (2.3)$$

Burada, f , Hertz cinsinden taşıyıcı frekansı, ω_c radyan/saniye cinsinden taşıyıcı frekansı ve c metre/saniye cinsinden ışık hızıdır. P_t ve P_r değerleri aynı birimle ve G_t ve G_r birimsiz ifade edilmelidir. Kayıplar ise L ($L \geq 1$) iletişim sistemindeki transmisyon hattı zayıflaması, filtre kayıpları ve anten kayıpları olarak tanımlanabilir. $L=1$ değeri, sistem donanımında hiçbir kaybın olmadığını belirtir.

(2.1)'de belirtilen Friis serbest uzay denklemi alınan gücün verici ile alıcı arasındaki mesafenin karesiyle orantılı olarak azalmaktadır. Bu değişim, alınan gücün uzaklığa 20 dB/dekat orANIyla azaldığını göstermektedir.

İzotropik anten, tüm yönlerde aynı birim kazançla ışima yapan antendir ve genellikle kablosuz sistemlerde anten kazançlarına referans oluşturmak için kullanılır. *Etkin izotropik radyasyon gücü* (Effective Isotropic Radiated Power, EIRP) şu şekilde tanımlanır:

$$EIRP = P_t G_t \quad (2.4)$$

ve maksimum anten kazancı yönünde vericiden gönderilen maksimum gücü tanımlar.

Pratikte, *etkin radyasyon gücü* terimi (ERP) izotropik anten yerine kullanılan yarımdalga dipol antene kıyasla maksimum yayılan gücün belirtmek için EIRP yerine kullanılır. Bir dipol antenin

kazancı 1,64 olduğundan, ERP değeri aynı transmisyon sistemi için EIRP'den 2,15 dB daha az olacaktır. Pratikte, anten kazançları dBi (izotropik kaynak için dB kazanç) veya dBd (yarım-dalga dipol anten için) birimleriyle ifade edilmektedir.

Yol kaybı, dB cinsinden ölçülen pozitif değerde ölçülen işaret zayıflamasını belirtir ve etkin verici gücü ile alıcı güç arasındaki fark dB cinsinden tanımlanır. Anten kazançlarının etkisini içerebilir ya da içermeyebilir. Serbest uzay modeli için anten kazançlarını içeren yol kaybı formülü;

$$PL(dB) = 10 \log \frac{P_t}{P_r} = -10 \log \left[\frac{G_t G_r \lambda^2}{(4\pi)^2 d^2} \right] \quad (2.5)$$

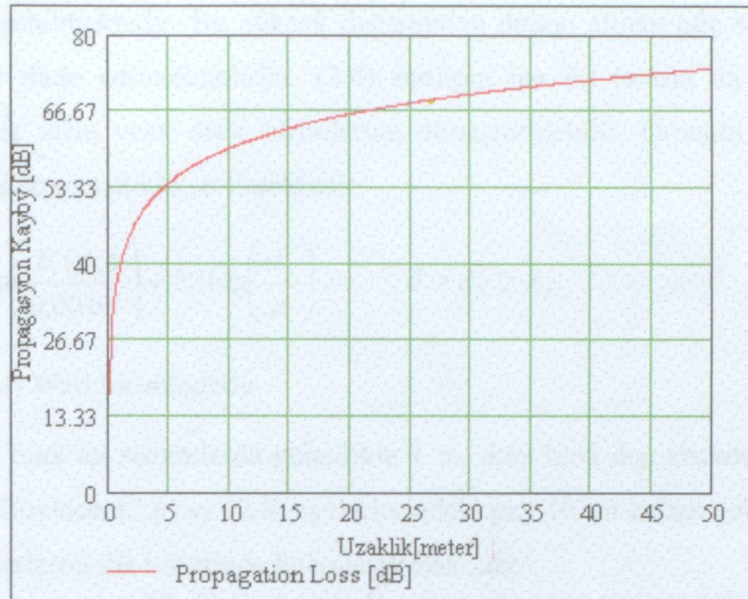
olarak tanımlanır. Antenlerin birim kazanca sahip olduğu farz edildiğinde, yol kayıp analizi anten kazançlarından bağımsız hale gelir ve yol kaybı şu şekilde tanımlanabilir:

$$PL(dB) = 10 \log \frac{P_t}{P_r} = -10 \log \left[\frac{\lambda^2}{(4\pi)^2 d^2} \right] \quad (2.6)$$

Çalışma frekansı 2.4 GHz olan KYA haberleşme sistemine ait serbest uzay yol kaybının mesafeye bağlı olarak değişimi Şekil 2.2 'de verilmiştir. Buna göre bu sistemin 80 dB' lik bir dinamik menzile sahip olduğu söylenebilir.

Friis uzay modeli, verici antenin uzak alandaki d uzaklık değerleri için güvenilir bir tahmin etme modelidir. Uzak alan veya *Fraunhofer bölgesi*, verici anten için, d_f uzak alan mesafesinin ötesindeki bölge olarak tanımlanır. d_f Taşıyıcı dalga boyu ile verici anten açıklığının en büyük lineer boyutunun fonksiyonudur. *Fraunhofer* uzaklıği, şu şekilde verilmektedir:

$$d_f = \frac{2D^2}{\lambda} \quad (2.7a)$$



Şekil 2.2 2.4 GHz çalışma frekansı için serbest uzay yol kaybının mesafeyle değişimi

Burada D antenin en büyük fiziksel lineer boyutudur. Ayrıca, uzak alan bölgesinde, d_f şu şartları sağlamalıdır:

$$d_f \gg D \quad (2.7b)$$

ve

$$d_f \gg \lambda \quad (2.7c)$$

Ancak (2.1) denkleminin $d=0$ için sağlanmadığı görülmektedir. Bu nedenle, büyük-ölçek propagasyon modelleri alınan gücün referans noktası olarak d_0 gibi bir mesafe kullanmaktadır. $d > d_0$ olan herhangi bir mesafede alınan güç $P_r(d)$, d_0 uzaklığındaki P_r bağıdaştırılabilir. $P_r(d_0)$ değeri (2.1) bağıntısından tahmin edilerek, veya vericiden d_0 radyal mesafesindeki birçok noktada alınan gücün ortalaması alınarak bulunmaktadır. Referans uzaklık uzak-alan bölgede seçilmelidir. Bu uzaklık $d_0 \geq d_f$ olarak tanımlanabilir, ve d_0 mesafesi hareketli haberleşme sistemlerinde kullanılan herhangi bir uzaklıktan daha küçük seçilmelidir.

$$P_r(d) = P_r(d_0) \left(\frac{d_0}{d} \right)^{-2} \quad d \geq d_0 \geq d_f \quad (2.8)$$

Birkaç kilometrekare kapsama alanında, P_r değerleri çıkış güç genliğinin üstel katları

mertebesinde değişebilmektedir. Bu yüksek değişimden dolayı alınan güç seviyeleri dBm veya dBW birimlerinde ifade edilmektedirler. (2.8) eşitliğin her iki tarafın da basit bir yöntemle logaritması alınarak dBm veya dBw birimlerine dönüştürülebilir. Örneğin, P_r dBm biriminde olduğunda, alınan güç şu şekilde verilmektedir:

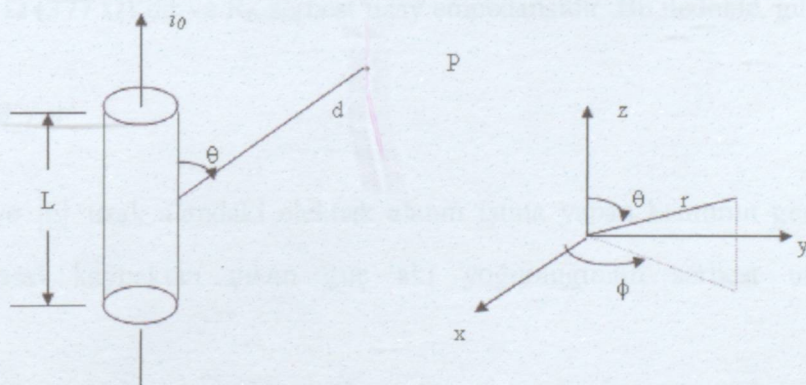
$$P_r(d).dBm = 10 \log \left[\frac{P_r(d_0)}{0,001W} \right] + 20 \log \left(\frac{d_0}{d} \right) \quad d \geq d_0 \geq d_f \quad (2.9)$$

Burada $P_r(d_0)$ değeri Watt birimindedir.

Referans mesafesi bina içi sistemlerde genellikle 1 m. iken bina dışı sistemlerde 100m. yada 1 km. alınmaktadır. Böylece, (2.8) ve (2.9) eşitliklerindeki pay 10'un katları şeklindedir. Bu durum yol kaybı hesaplamalarını dB biriminde kolaylaştırmaktadır.

2.3 Elektrik Alan-Güç İlişkisi

Şekil 2.3'deki gibi merkezi orijinde olan z-eksenine rasgele yerleştirilmiş L uzunluğunda bir lineer ışıcı gösterilmektedir:



Şekil 2.3 P noktasından "d" uzaklıkta ve ışıcı ile θ açısı yapan, üzerinde i_0 akımını taşıyan, L ($L \ll \lambda$) uzunluğunda doğrusal bir ışıcının gösterimi

Böyle bir antenden akım aktığında, aşağıdaki belirtildiği gibi ifade edilen elektrik ve manyetik alanlar oluşmaktadır:

$$E_r = \frac{i_0 L \cos \theta}{2\pi \epsilon_0 c} \left\{ \frac{1}{d^2} + \frac{c}{j\omega_c d^3} \right\} e^{j\omega_c(t-d/c)} \quad (2.10)$$

$$E_\theta = \frac{i_0 L \sin \theta}{4\pi \epsilon_0 c^2} \left\{ \frac{j\omega_c}{d} + \frac{c}{d^2} + \frac{c^2}{j\omega_c d^3} \right\} e^{-j\omega_c(t-d/c)} \quad (2.11)$$

$$H_\phi = \frac{i_0 L \sin \theta}{4\pi c} \left\{ \frac{j\omega_c}{d} + \frac{c}{d^2} \right\} e^{j\omega_c(t-d/c)} \quad (2.12)$$

Burada $E_r = E_\theta = H_\phi = 0$. Yukarıdaki denklemlerde $1/d$ içeren terimler ışma alanı bileşenini, $1/d^2$ içeren tüm terimler endüksiyon alanı bileşenini, $1/d^3$ içeren terimler ise elektrostatik alan bileşenini temsil eder. (2.10) ve (2.11) denklemlerinde görüldüğü üzere elektrostatik ve endüktif alanlar ışma alanlarına oranla uzaklıkla daha hızlı bir şekilde azalır. Vericiden uzak bölgelerde (uzak alan bölgesi), elektrostatik ve endüktif alanların etkisi önemsiz hale gelir ve sadece $E_\theta = H_\phi$ eşitliğinin ışma alanı bileşenleri dikkate alınır.

Serbest uzayda, güç akı yoğunluğu P_d (birimi W/m^2) aşağıdaki gibi tanımlanır:

$$P_d = \frac{\text{EIRP}}{4\pi d^2} = \frac{P_t G_t}{4\pi d^2} = \frac{E^2}{R_{fs}} = \frac{E^2}{\eta} \quad \text{W/m}^2 \quad (2.13)$$

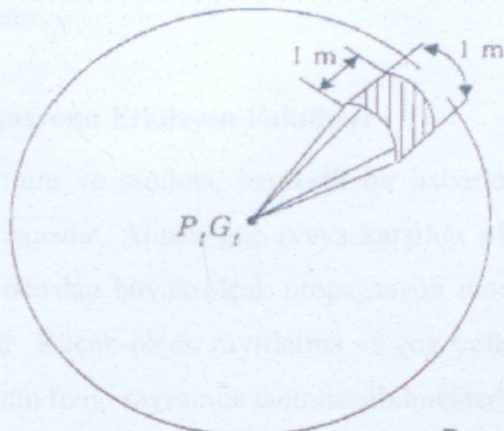
Burada $\eta = 120\pi \Omega$ (377Ω)'dır ve R_{fs} serbest uzay empedansıdır. Bu nedenle, güç akı yoğunluğu

$$P_d = \frac{|E|^2}{377\Omega} \quad \text{W/m}^2 \quad (2.14)$$

olarak verilir, ve $|E|$ uzak alandaki elektrik alanın ışma yapan kısmının genliğidir. Şekil 2.4 izotropik noktasal kaynaktan çıkan güç akı yoğunluğunun serbest uzayda dağılımını göstermektedir.

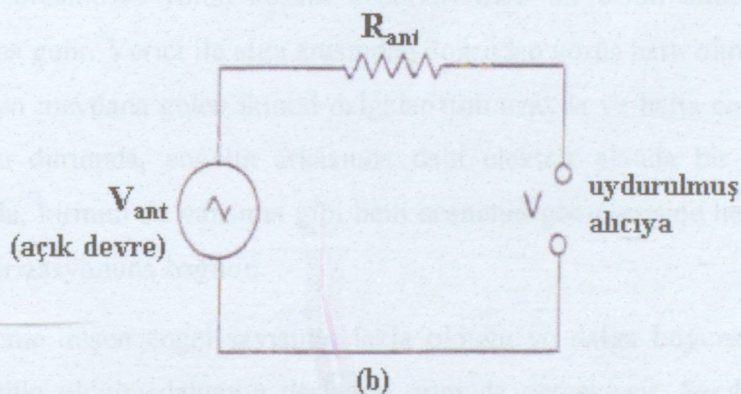
P_d , d yarıçaplı bir kürenin birim yüzeyine düşen EIRP olarak düşünülebilir. d mesafesinde alınan güç, $P_r(d)$, alıcı antenin etkin açılığı ile güç akı yoğunluğunun çarpımı olarak verilmekte ve (2.1), (2.2), (2.13), (2.14) denklemlerinde verilen elektrik alanla ilişkilidir:

$$P_r(d) = P_d A_e = \frac{|E|^2}{120\pi} A_e = \frac{P_t G_t G_r \lambda^2}{(4\pi)^2 d^2} \quad \text{Watt} \quad (2.15)$$



$$P_d = \frac{P_t G_t}{4\pi d^2} = \frac{EIRP}{4\pi d^2} = \frac{|E|^2}{120\pi} \text{ W/m}^2$$

(a)



Şekil 2.4 (a) Noktasal bir kaynaktan d uzaklıkta güç akı yoğunluğu (b) Alıcının girişine uygulanan gerilim modeli

Eğer alıcı anten, alıcıya uydurulmuş rezistif yük olarak modellenmişse, alıcı anten alıcının içinde antenin açık devre geriliminin yarısı değerde bir rms gerilime neden olur. Bu yüzden, V alıcı girişindeki rms gerilimi ve R_{ant} alıcı anteni direnci kabul edilirse, güç şu bağıntıyla verilebilir:

$$P_r(d) = \frac{(V/2)^2}{R_{ant}} = \frac{V^2}{4R_{ant}} \quad (2.16)$$

(2.14) ve (2.16) aracılığıyla alınan gücü alınan elektrik alanla veya alıcı anten terminalindeki RMS gerilimiyle ilişkilendirmek mümkündür. Şekil 2.4b eşdeğer devre modelini

örneklemektedir.

2.4 Propagasyonu Etkileyen Faktörler

Yansıma, kırınım ve saçılma, hareketli bir haberleşme sisteminde propagasyonu etkileyen üç temel mekanizmadır. Alınan güç (veya karşılığı olan yol kaybı) yansıtma, saçılma ve kırınım fiziğine dayandırılan büyük-ölçek propagasyon modellerinin kestiriminde genellikle en önemli parametresidir. Küçük-ölçek zayıflatma ve çok yollu propagasyon da bu üç temel propagasyon mekanizmasının fiziği sayesinde tanımlanabilmektedir.

Yansıtma, yayılan bir elektromanyetik dalganın dalga boyuna kıyasla çok büyük boyutları olan bir nesneye çarpması durumunda gerçekleşir. Yansıtma Dünya'nın yüzeyinden ve binalardan ve duvarlardan meydana gelir.

Kırınım, verici ile arasındaki yolun keskin kenarları olan bir cisim tarafından engellenmesi durumunda meydana gelir. Verici ile alıcı arasından doğrudan görüş hattı olmadığında halde bile, engelleyen yüzeyden meydana gelen ikincil dalgalar tüm uzayda ve hatta engelin arkasında bile yer almaktadır. Bu durumda, engelin arkasında dahi elektrik alanda bir artış sağlanacaktır. Yüksek freksnlarda, kırınım da yansıtma gibi hem nesnenin geometrisine hem de genlik, faz ve gelen dalganın polarizasyonuna bağlıdır.

Saçılma, birim hacme düşen engel sayısının fazla olduğu ve dalga boyuna kıyasla nesnelerin küçük boyutlara sahip olduğu dalganın ilerlediği ortamda gerçekleşir. Saçılan dalgalar pütrelli yüzeyler, küçük veya kanaldaki diğer düz olmayan nesneler tarafından meydana getirilir. Pratikte; hareketli hücresel haberleşme sistemlerde saçılmaya yeşillikler, sokak sinyalleri ve lamba direkleri neden olur.

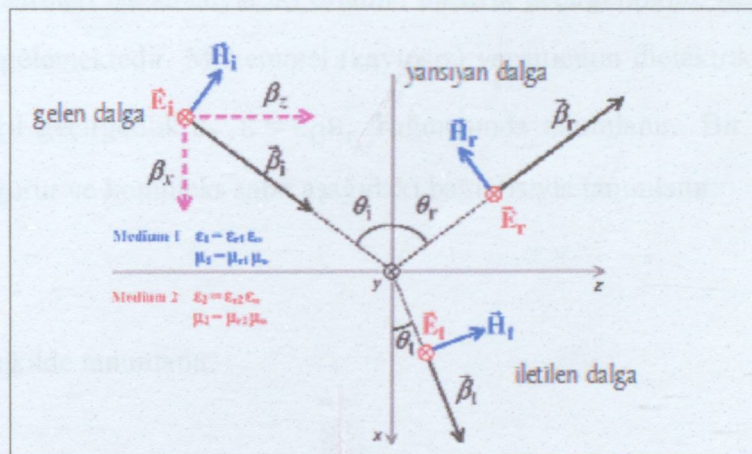
2.5 Yansıtma

Herhangi bir ortamda elektromanyetik dalga farklı elektriksel özelliklerini olan diğer bir ortama geçtiğinde; kısmen yansımaya uğrar, kısmen de diğer ortama geçer. Düzlem dalga mükemmel iletken üzerine geldiğinde, enerjinin bir kısmı ikinci ortama geçer; bir kısmı ise birinci ortama yansır; ve soğurulmada herhangi bir enerji kaybı olmaz. Eğer ikinci ortam mükemmel iletken ise, gelen enerjinin tümü enerji kaybı olmaksızın birinci ortama geri yansır. Yansıyan ve geçen dalgaların elektrik alan yoğunluğu Fresnel yansıtma katsayıısı (Γ) boyunca orijindeki ortamda

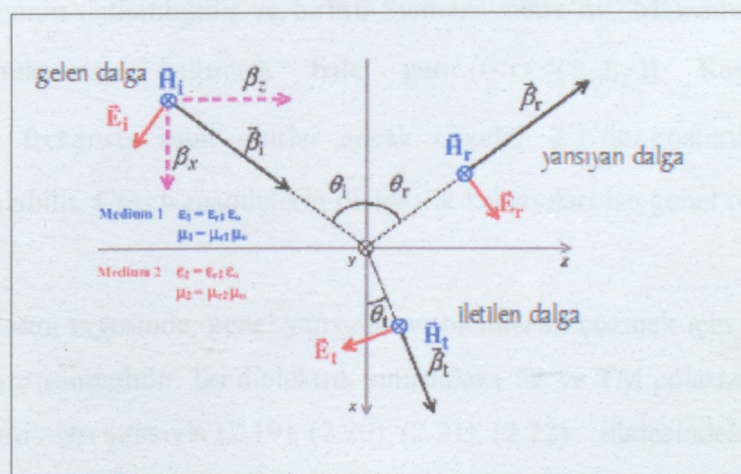
gelen dalga ile ilişkili olabilir. Yansıma katsayısı malzemelerin özelliklerinin fonksiyonudur ve genellikle dalga polarizasyonuna, geliş açısına ve yayılan dalganın frekansına bağlıdır. (Rappaport,2002)

2.5.1 Dielektrikten Yansıma

İki dielektrik ortam arasındaki sınır düzleminin normaliyle θ_i açısı yapacak şekilde gelen dalganın Enine Elektrik (TE, Transverse Electric) ve Enine Manyetik (TM,Transverse Magnetic) polarizasyon durumları için oluşturacağı geometriler sırasıyla Şekil 2.5a ve Şekil 2.5b ‘de gösterilmiştir. (Orfanidis,2002)



(a) TE polarizasyon modundaki dalganın yansımıası



(b) TM polarizasyon modundaki dalganın yansımıası

Şekil 2.5 İki dielektrik arasında Dalganın TE ve TM modu için yansımaları

Polarizasyonun rasgele yönlerdeki davranışları Şekil 2.5'te gösterildiği gibi iki ayrı durum için incelenmektedir. Şekil 2.5a'da TE Polarizasyonun tanımı gereği dalgada elektrik alan gelen düzlemine dik bir şekilde gelmiştir. Bu yüzden TE polarizasyonuna "Dik Polarizasyon" denmektedir. Benzer şekilde Şekil 2.5b'de görüleceği üzere bu sefer elektrik alan gelen düzlemine paralel şekilde yayılmaktadır. Buna göre de TM polarizasyonuna "Paralel Polarizasyon" ismi verilmektedir.

Bu geometrilerde i, r, t alt indisleri sırasıyla gelen, yansıyan ve iletilen alanları ifade eder. $\epsilon_1, \sigma_1, \mu_1$ ve $\epsilon_2, \sigma_2, \mu_2$ parametreleri ise sırasıyla iki ortamın elektrik geçirgenliğini, iletkenliğini, manyetik geçirgenliğini simgelemektedir. Mükemmel (kayıpsız) yansıtıcının dielektrik sabiti $\epsilon_0 = 8,85 \cdot 10^{-12}$ F/m iken; bağıl geçirgenlik, $\epsilon_r, \epsilon = \epsilon_0 \epsilon_r$ bağıntısında tanımlanır.. Bir dielektrik malzeme kayıplı ise güç soğurur ve kompleks sabit aşağıdaki bağıntısıyla tanımlanır:

$$\epsilon = \epsilon_0 \epsilon_r - j\epsilon' \quad (2.17)$$

Ve burada ϵ' şu şekilde tanımlanır:

$$\epsilon' = \frac{\sigma}{2\pi f} \quad (2.18)$$

Burada σ malzemenin iletkenliğidir ve birimi Siemens/metre'dir. Malzeme iyi iletken ise σ ve ϵ_r çalışılan frekanstan bağımsız hale gelir. ($f < \sigma < (\epsilon_0 \epsilon_r)$) Kayıpsız dielektrikte, ϵ_0 ve ϵ_r genellikle frekansta sabit olurlar ancak Çizelge 2.1'de gösterildiği gibi σ çalışılan frekansa bağımlı olabilir. Çeşitli maddelerin dielektrik katsayıları ise genel olarak Çizelge 2.2'de verilmiştir.

Süperpozisyon teoremi sayesinde, genel yansımaya problemlerini çözmek için sadece iki ortogonal polarizasyon dikkate alınmalıdır. İki dielektrik sınırlardaki TE ve TM polarizasyonu için yansımaya ve transmisyon katsayıları sırasıyla (2.19), (2.20), (2.21), (2.22) ifadesindeki gibi verilebilir:

Çizelge 2.1 Farklı frekanslarda Çeşitli malzeme parametreleri

Malzeme	Bağıl Geçirgenlik ϵ_r	İletkenlik σ (s/m)	Frekans (MHz)
Kuru Toprak	4	0,001	100
Tipik Toprak	15	0,005	100
İyi Toprak	25	0,02	100
Deniz suyu	81	5	100
Tatlı Su	81	0,001	100
Tuğla	4,44	0,001	4000
Kireçtaşı	7,51	0,028	4000
Cam,Corning 707	4	0,00000018	1
Cam,Corning 707	4	0,000027	100
Cam,Corning 707	4	0,005	10000

Çizelge 2.2 Çeşitli Malzemelerin Bağıl Dielektrik katsayıları

Cam	4-10	Mermel	12
Beton	4-6	Alçıtaşı	3
Ahşap	1.5-2	Formika	4
Su	80	Zemin	5-30

$$\Gamma_{TE} = \frac{E_r}{E_i} = \frac{\eta_2 \cos \theta_i - \eta_1 \cos \theta_t}{\eta_2 \cos \theta_i + \eta_1 \cos \theta_t} \quad (2.19)$$

$$\Gamma_{TM} = \frac{E_r}{E_i} = \frac{\eta_1 \cos \theta_i - \eta_2 \cos \theta_t}{\eta_1 \cos \theta_i + \eta_2 \cos \theta_t} \quad (2.20)$$

$$\tau_{TE} = \frac{E_t}{E_i} = \frac{2\eta_2 \cos \theta_i}{\eta_2 \cos \theta_i + \eta_1 \cos \theta_t} \quad (2.21)$$

$$\tau_{TM} = \frac{E_r}{E_i} = \frac{2\eta_2 \cos \theta_i}{\eta_1 \cos \theta_i + \eta_2 \cos \theta_t} \quad (2.22)$$

Burada η_i , $i.$ ortamın ($i=1,2$) gerçek empedansını işaret etmektedir. Ve $\sqrt{\mu_i / \epsilon_i}$ olarak verilmektedir. Özel ortamda, üniform düzlem dalga için tanımlanan elektrik alanın manyetik alana oranıdır. Bir elektromanyetik dalganın hızı $1/\sqrt{\mu\epsilon}$ bağıntısıyla verilmekte ve gelen düzlemindeki sınır koşulları “Snell” kanunlarına uymaktadır. Şekil 2.4’te bahsedilen “Snell” kanunları şu şekilde verilebilmektedir:

$$\sqrt{\mu_1 \epsilon_1} \sin(\theta_i) = \sqrt{\mu_2 \epsilon_2} \sin(\theta_t) \quad (2.23)$$

Maxwell denklemlerinden çıkarılan sınır koşulları hem (2.19) ve (2.20) denklemlerinin hem de (2.24) ve (2.25) denklemlerinin çıkarılmasında kullanılmaktadır:

$$\theta_i = \theta_r \quad (2.24)$$

ve

$$E_r = \Gamma E_i \quad (2.25)$$

Burada Γ polarizasyona bağlı olarak Γ_{TE} veya Γ_{TM} olarak alınmaktadır. İlk ortamın serbest uzay olması ve $\mu_1=\mu_2$ olması durumunda, düşey ve yatay polarizasyon durumlarının her ikisinde de yansımıma katsayıları aşağıda verildiği gibi basit şekilde ifade edilebilmektedir:

$$\Gamma_{TE} = \frac{\cos \theta_i - \sqrt{\epsilon_r - \sin^2 \theta_i}}{\cos \theta_i + \sqrt{\epsilon_r - \sin^2 \theta_i}} \quad (2.26)$$

$$\Gamma_{TM} = \frac{-\epsilon_r \cos \theta_i + \sqrt{\epsilon_r - \sin^2 \theta_i}}{\epsilon_r \cos \theta_i + \sqrt{\epsilon_r - \sin^2 \theta_i}} \quad (2.27)$$

Ayrıca yansıyan ve iletilen güçleri gelen işaretin gücüyle olan ilişkisi de (2.28) ve (2.29) denklemleriyle verilebilir.

$$P_r = |\Gamma|^2 P_i \quad (2.28)$$

$$P_r = \left[1 - |\Gamma|^2 \right] P_i = \frac{\eta_1}{\eta_2} |\tau|^2 P_i \quad (2.29)$$

2.5.2 Brewster Açısı

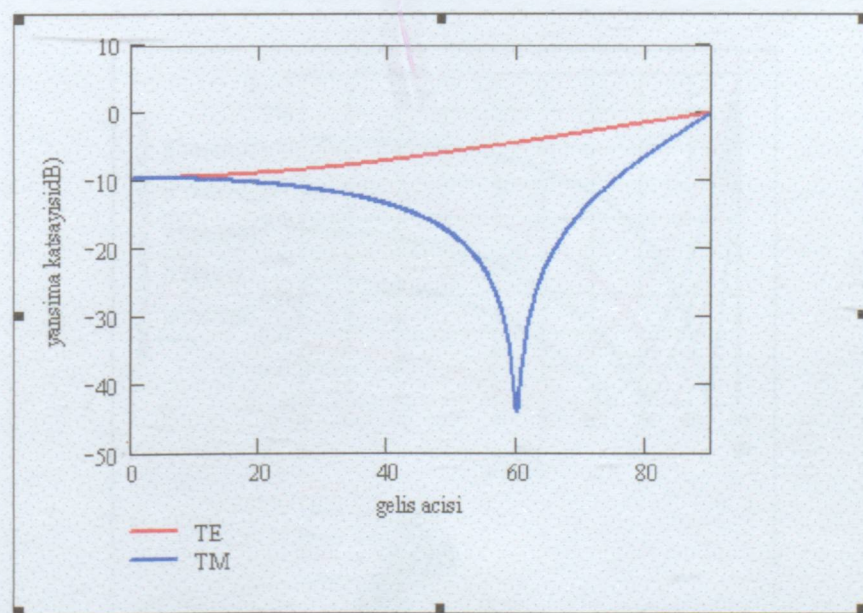
Brewster açısı, orijindeki ortamda hiçbir yansımmanın olmadığı açıdır. Gelen açının θ_B olduğu düşünülürse, yansımaya katsayı Γ sıfıra eşit olur. Bu açı şu şekilde verilmektedir:

$$\theta_B = \cos^{-1} \sqrt{\frac{1 - \left(\frac{n_1}{n_2}\right)^2}{\left(\frac{n_2}{n_1}\right)^2 - \left(\frac{n_1}{n_2}\right)^2}} \quad (2.30)$$

Birinci ortamın serbest uzay ve ikinci ortamın ε_r bağıl geçirgenlik sabitine sahip olduğunu düşünürsek, (2.30) denklemi şu şekilde verilebilir:

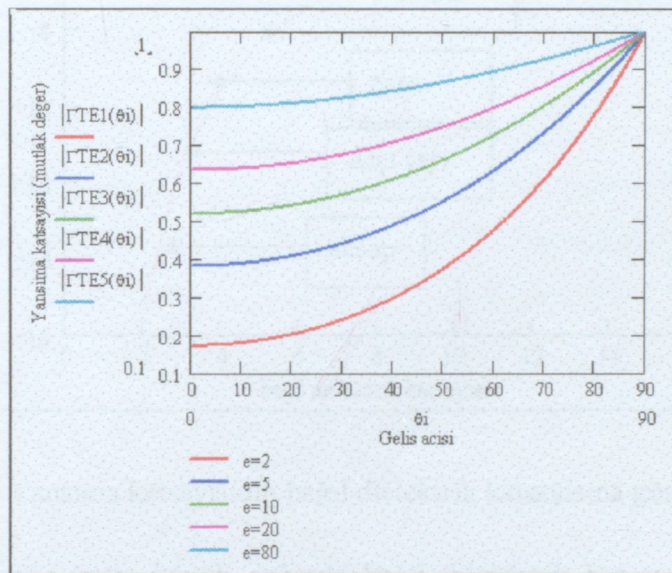
$$\cos(\theta_B) = \sqrt{\frac{\varepsilon_r - 1}{\varepsilon_r^2 - 1}} \quad (2.31)$$

Brewster açısı sadece TM polarizasyonda meydana gelmektedir. Bu durum bağıl dielektrik katsayısı $4-j0.1$ olan blok için Şekil 2.6'da gösterilmiştir.

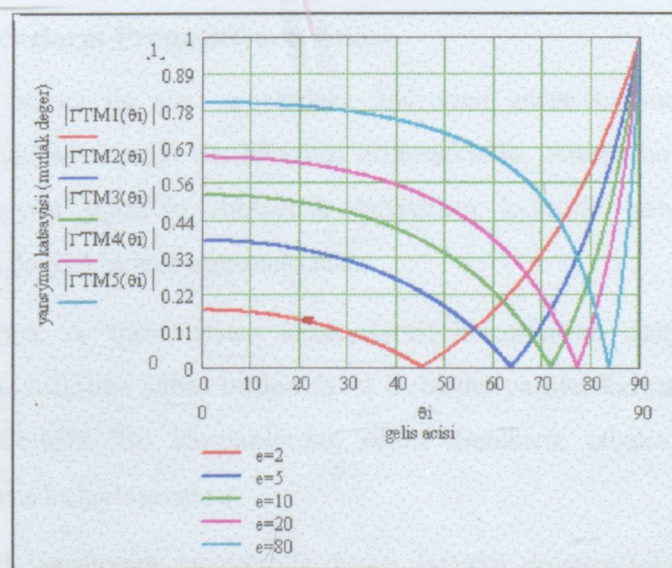


Sekil 2.6 Brewster A  sinin sadece TM polarizasyonda olma durumu

Verilen tüm bu bilgiler ışığında yansımaya katsayısunın TE ve TM polarizasyon durumlarındaki farklı malzemelerle (farklı bağlı dielektrik katsayıısı) geliş açısına göre değişimi Şekil 2.7 ve Şekil 2.8 de gösterildiği gibidir.

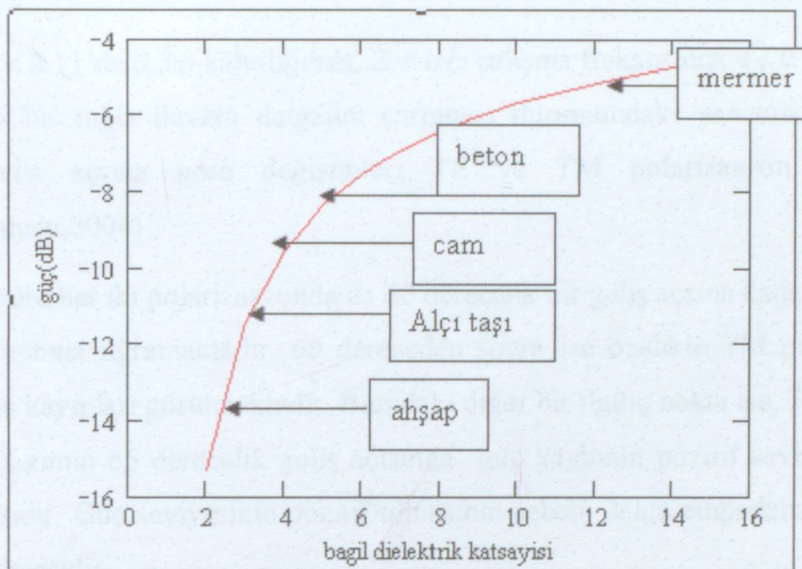


Şekil 2.7 TE polarizasyonunda yansımaya katsayısunın farklı malzemeler için geliş açısına göre değişimi



Şekil 2.8 TM polarizasyonunda yansımaya katsayısunın farklı malzemeler için geliş açısına göre değişimi

Yansıma katsayısının bağıl dielektrik katsayısına göre değişimi ise Şekil 2.9 'da gösterilmiştir.



Şekil 2.9 Yansıma katsayısının bağıl dielektrik katsayısına göre değişimi

Şekil 2.9' da görüleceği üzere büyük değerde bağıl dielektrik kat sayısına sahip mermerin yansıtma katsayısi diğer elemanlara göre daha fazladır. Buna göre TE polarizasyonu için yansıtma katsayısi bağıl dielektrik katsayıyla doğru orantılı olacaktır.

2.5.3 Zemin ve Duvarların Propagasyona Etkisi

Bina içi ortamlarda, verici ile alıcı arasındaki doğrudan görüş hattına ek olarak zemin ve duvarlardan da yansıarak sinyalin iletilebildiği bilinmektedir. Ancak bu yansımalarda sinyalin yansıtma ve transmisyon uğradığı dielektrik tabakanın kalınlığı yansıtma ve transmisyon katsayılarında önemli değişikliklere uğramaktadır.

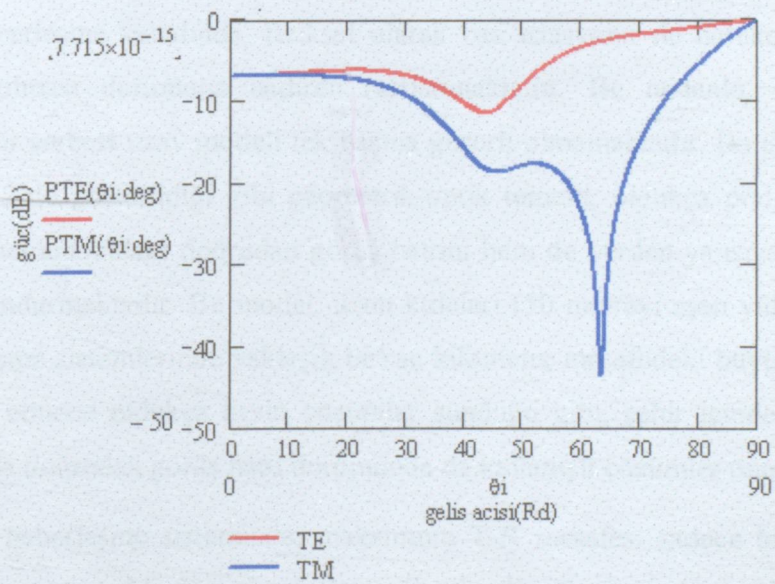
Teorik olarak, yansıtma ve transmisyon katsayılarını hesaplarken dalgaın belirli bir bağıl dielektrik katsayısi ve kalınlığa sahip birden fazla birbirine paralel katmandan yansıtıldığını veya iletilebildiğini düşünebiliriz. Bu katmanlardan ilkini dielektrik tabaka diğerini hava olarak düşünürsek işlemlerimiz kolaylaşacaktır.

Bir elektromagnetik dalga duvara çarptığında duran dalgalar duvarın içinde işlenecek ve duvar bir transmisyon hattı gibi davranışını, tabaka içinde belirli bir empedansa sahip olan dalgalar, sadece duvarın yüzeyinden yansıyan dalga bileşenleriyle girişime uğrayacaktır. Böylece bir

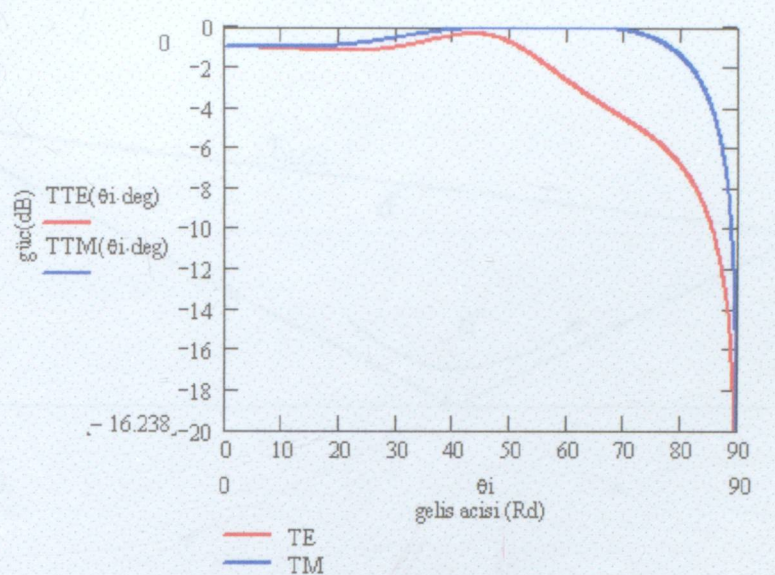
önceki bölümde elde edilen geliş açısına bağlı yansırma ve transmisyon katsayıları bir değişime uğrayacaktır.

Şekil 2.10 ve Şekil 2.11'de $0.3m$ kalınlığında, $2.4GHz$ çalışma frekansında $4-j.0.1$ bağılı dielektrik katsayısına sahip bir tuğla duvara dalganın çarpması durumundaki yansırma ve transmisyon katsayılarının geliş açısına göre değişimleri TE ve TM polarizasyon durumları için gösterilmiştir.(Bulucu,2004)

Bu özel duruma göre her iki polarizasyonda da 60 derecelik bir geliş açısına kadar dalga en fazla 2 dB'lik bir güç kaybına uğramaktadır. 60 dereceden sonra ise özellikle TM polarizasyonu için işarette büyük güç kayıpları görülmektedir. Buradaki diğer bir ilginç nokta ise, TM polarizasyonu için mükemmel iletimin 65 derecelik geliş açısında güç kaybının pozitif seviyede bulunduğu durum için olmasıdır. Güç seviyesinin pozitif olmasının sebebi dalga empedansının o geliş açısı için rezonansta olmasıdır.



Şekil 2.10 2.4 GHz çalışma frekansında 0.3 m kalınlığa sahip tabaka için yansırma katsayısı

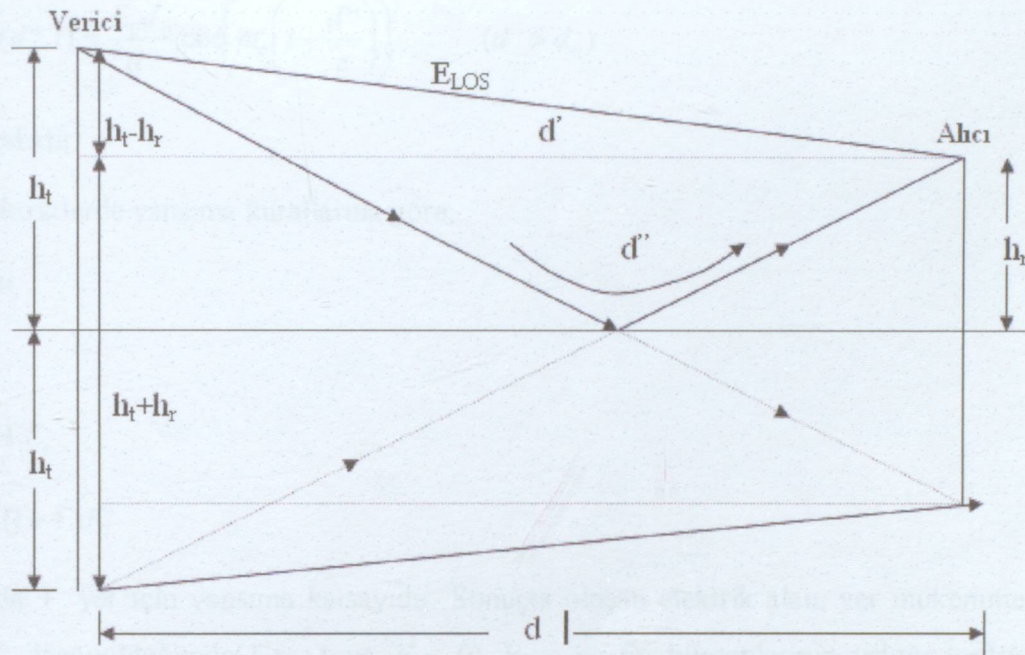


Şekil 2.11 2.4 GHz çalışma frekansında 0.3 m kalınlığa sahip tabaka için transmisyon katsayısı

2.5.4 Anten Yüksekliğinin Etkisi: İki-Işın Modeli

Hareketli bir haberleşme kanalında, fiziksel olarak baz istasyonu ile hareketli alıcı arasındaki direkt bir yol olması durumuna nadiren rastlanmaktadır. Bu nedenle, (2.5) denkleminde belirtildiği gibi bir serbest uzay modeli tek başına geçerli olmamaktadır. İki işin yerden yansımıma modeli Şekil 2.12'de gösterildiği gibi geometrik-optik temelli, oldukça pratik bir modeldir ve hem verici ile alıcı arasındaki doğrudan görüş hattını hem de yerden yansyan işinların etkisini göz önünde bulundurmaktadır. Bu model, uzun kuleleri (50 metreyi aşan yükseklikte) kullanan hareketli haberleşme sistemlerinde yaklaşık birkaç kilometre mesafedeki büyük-ölçek sinyallerin şiddetini tahmin etmede oldukça kesin çözümler sunduğu gibi, şehir içinde kullanılan mikro-hücre kanallarında doğrudan görüş hattı durumunda da kullanışlı çözümler önermektedir.

Birçok hareketli haberleşme sisteminde, maksimum T-R mesafesi sadece birkaç on kilometre civarındadır ve yeryüzü şekli düz olarak düşünülmektedir. Toplam alınan elektrik alan, E_{TOT} , doğrudan görüş hattı bileşeni (E_{LOS}) ve yerden yansımıma bileşenlerinin (E_g) sonucu şeklinde dir.



Şekil 2.12 İki ışınılı yerden yansımıza modeli

Şekil 2.12'de görüldüğü gibi h_t vericinin yüksekliği, h_r ise alıcının yüksekliğidir. E_0 serbest uzay elektrik alanı ise, vericiden d_0 uzaklıkta referans uzaklık olarak alındığında, $d > d_0$ için serbest uzay elektrik alanı şu şekilde verilmektedir:

$$E(d, t) = \frac{E_0 d_0}{d} \cos\left(\omega_c \left(t - \frac{d}{c}\right)\right) \quad (d > d_0) \quad (2.32)$$

Burada $|E(d, t)| = E_0 d_0 / d$ vericiden d uzaklıkta elektrik alanın zarfını belirtmektedir. İki yayılan dalganın alıcıya ulaştığı düşünüldüğünde; doğrudan dalganın kat ettiği yol d' , yansıyan dalganın kat ettiği yol ise d'' olarak verilmektedir. Alıcıdaki doğrudan görüş hattı bileşenine göre elektrik alan şu şekilde ifade edilmektedir:

$$E_{LOS}(d', t) = \frac{E_0 d_0}{d'} \cos\left(\omega_c \left(t - \frac{d'}{c}\right)\right) \quad (d' > d_0) \quad (2.33)$$

ve d'' propagasyon mesafesine sahip yerden yansıyan dalga için elektrik alan,

$$E_{LOS}(d'', t) = \frac{E_0 d_0}{d''} \cos\left(\omega_c \left(t - \frac{d''}{c}\right)\right) \quad (d'' > d_0) \quad (2.34)$$

şeklindedir.

Dielektriklerde yansımıma kurallarına göre;

$$\theta_i = \theta_r \quad (2.35)$$

ve

$$E_g = \Gamma E_i \quad (2.36a)$$

$$E_t = (1 + \Gamma) E_i \quad (2.36b)$$

Burada Γ yer için yansımıma katsayıdır. Sonuçta oluşan elektrik alan, yer mükemmel dielektrik olarak düşünüldüğünde ($\Gamma = -1$ ve $E_t = 0$), E_{LOS} ve E_g bileşenlerinin vektör toplamıdır ve bu elektrik alanın zarfı şu şekilde verilebilmektedir:

$$|E_{TOT}| = |E_{LOS} + E_g| \quad (2.37)$$

$E_{TOT}(d, t)$ elektrik alan ifadesi (2.33) ve (2.34) denklemlerinin toplamı olarak;

$$E_{TOT}(d, t) = \frac{E_0 d_0}{d'} \cos\left(\omega_c \left(t - \frac{d'}{c}\right)\right) + (-1) \frac{E_0 d_0}{d''} \cos\left(\omega_c \left(t - \frac{d''}{c}\right)\right) \quad (2.38)$$

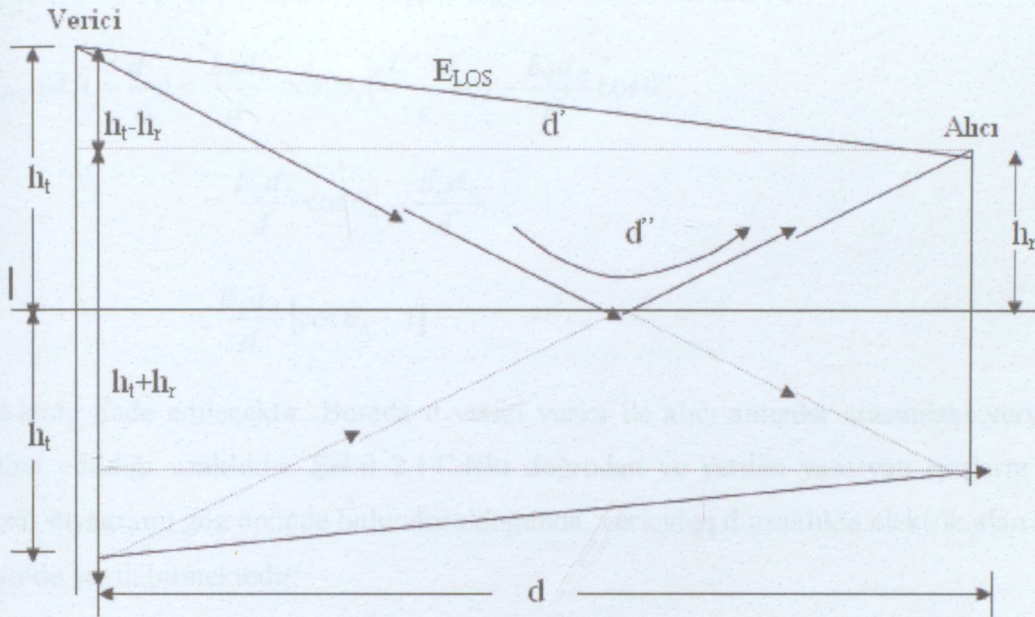
şeklinde gösterilmektedir.

“Görüntü metodu”nu kullanarak Şekil 2.13’deki geometri, doğrudan görüş hattı ile yerden yansımıma arasındaki, yol farkı (Δ) şu şekilde ifade edilebilir:

$$\Delta = d'' - d' = \sqrt{(h_t + h_r)^2 + d^2} - \sqrt{(h_t - h_r)^2 + d^2} \quad (2.39)$$

T-R arasındaki yol farkı $h_t + h_r$ toplamına oranla çok büyük olduğu için (2.40) denklemi Taylor seri yaklaşımı kullanılarak şu şekilde indirgenebilmektedir:

$$\Delta = d'' - d' = \frac{2h_t h_r}{d} \quad (2.40)$$



Şekil 2.13 “Görüntü metodu”

Bilinen yol farkından yola çıkışlarak, iki elektrik alan bileşeni arasındaki faz farkı θ_Δ ve bu iki bileşenin ulaşması arasında geçen gecikme süresi τ_d aşağıdaki bağıntılar yardımıyla kolaylıkla hesaplanmaktadır:

$$\theta_\Delta = \frac{2\pi\Delta}{\lambda} = \frac{\Delta\omega_c}{c} \quad (2.41)$$

ve

$$\tau_d = \frac{\Delta}{c} = \frac{\theta_\Delta}{2\pi f_c} \quad (2.42)$$

d mesafesi büyükçe, d'' ve d' uzaklıklarları arasındaki fark çok küçük hale gelir ve E_{LOS} ve E_g genlikleri neredeyse birbirinin aynı haline gelir ve sadece fazları farklı olur. Bu fark şu şekilde ifade edilmektedir:

$$\left| \frac{E_0 d_0}{d} \right| \approx \left| \frac{E_0 d_0}{d'} \right| \approx \left| \frac{E_0 d_0}{d''} \right| \quad (2.43)$$

$t = d''/c$ anı için elektrik alan hesaplandığında, (2.38) denklemi;

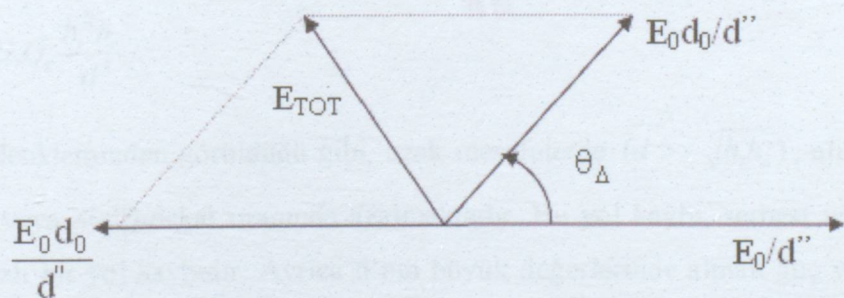
$$\begin{aligned} E_{TOT}(d, t = \frac{d''}{c}) &= \frac{E_0 d_0}{d'} \cos(\omega_c (\frac{d'' - d'}{c})) - \frac{E_0 d_0}{d''} \cos 0^\circ \\ &= \frac{E_0 d_0}{d'} \cos \theta_\Delta - \frac{E_0 d_0}{d''} \\ &= \frac{E_0 d_0}{d} [\cos \theta_\Delta - 1] \end{aligned} \quad (2.44)$$

şeklinde ifade edilecektir. Burada d verici verici ile alıcı antenler arasındaki yeryüzeyinin düz kabul edildiği uzaklığıdır. Şekil 2.14'deki doğrudan ve yerden yansyan ışınların birleştirildiği fazör diyagramı göz önünde bulundurulduğunda, vericiden d uzaklıkta elektrik alan (alıcısındaki) şu şekilde yazılabilmektedir:

$$|E_{TOT}(d)| = \sqrt{\left(\frac{E_0 d_0}{d}\right)^2 (\cos \theta_\Delta - 1)^2 + \left(\frac{E_0 d_0}{d''}\right)^2 \sin^2 \theta_\Delta} \quad (2.45)$$

veya

$$|E_{TOT}(d)| = \frac{E_0 d_0}{d} \sqrt{2 - 2 \cos \theta_\Delta} \quad (2.46)$$



Şekil 2.14 Doğrudan görüş hattı, yerden yansımıma ve toplam alınan elektrik alan bileşenlerini gösteren fazör diyagramı

Trigonometrik özdeşlikler kullanılarak, (2.46) denklemi aşağıdaki gibi ifade edilebilmektedir:

$$|E_{TOT}(d)| = 2 \frac{E_0 d_0}{d} \sin\left(\frac{\theta_\Delta}{2}\right) \quad (2.47)$$

Yukarıdaki $\theta_\Delta / 2$ açısı 0,3 radyandan daha küçük olduğu sürece $\sin(\theta_\Delta / 2) \approx \theta_\Delta / 2$ yazılabilir ve (2.47) denklemi basitleştirilebilir. (2.40) ve (2.41) eşitlikleri kullanılarak

$$\frac{\theta_\Delta}{2} \approx \frac{2h_t h_r}{\lambda d} < 0,3 \text{ radyan} \quad (2.48)$$

bağıntısı yazılabilir. Bu bağıntı aşağıdaki eşitsizliği gerektirir:

$$d > \frac{20\pi h_t h_r}{3\lambda} \approx \frac{20h_t h_r}{\lambda} \quad (2.49)$$

d mesafesi (2.49) bağıntısını sağladığında, alınan elektrik alan aşağıdaki yaklaşıklılıkla ifade edilebilmektedir:

$$E_{TOT}(d) = \frac{2E_0 d_0}{d} \frac{2\pi h_t h_r}{\lambda d} \approx \frac{k}{d^2} \quad V/m \quad (2.50)$$

Burada k , E_0 'a, anten yüksekliklerine ve dalga boyuna bağlı bir sabittir. (2.15) denklemi vasıtasıyla, d uzaklığında alınan gücün elektrik alanın karesiyle orantılı olduğu görülmektedir. (2.2), (2.15) ve (2.50) denklemleri birleştirilerek, vericiden d uzaklıkta alınan güç şu şekilde ifade edilmektedir:

$$P_r = P_t G_r G_t \frac{h_t^2 h_r^2}{d^4} \quad (2.51)$$

(2.51) denkleminden görüldüğü gibi, uzak mesafelerde ($d \gg \sqrt{h_t h_r}$), alınan güç uzaklığın dört katıyla veya 40dB/dekat oranında azalmaktadır. Bu yol kaybı, serbest uzay yol kaybından çok daha hızlı bir yol kaybıdır. Ayrıca d 'nin büyük değerlerinde alınan güç ve yol kaybı frekanstan bağımsız hale gelmektedir. 2-ışıklı yerden yansıtma modeli için (anten kayıpları ile beraber) yol kaybı şu şekilde ifade edilmektedir:

$$PL(dB) = 40 \log d - (10 \log G_t + 10 \log G_r + 20 \log h_t + 20 \log h_r) \quad (2.52)$$

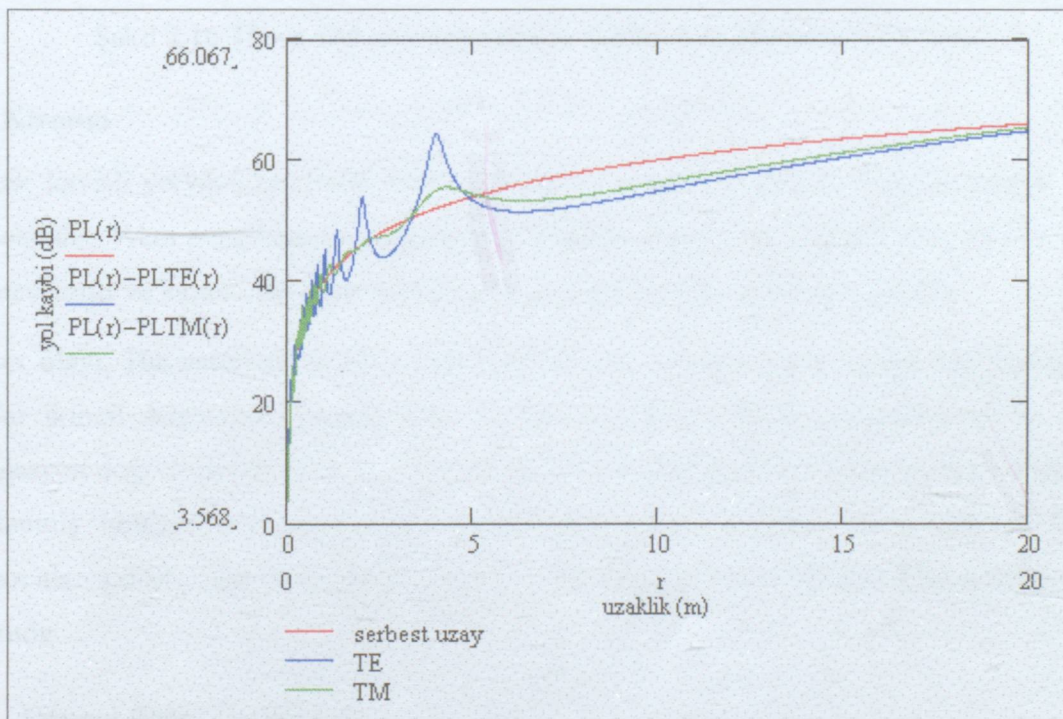
Kısa mesafelerde toplam elektrik alanı hesaplamak için (2.38) eşitliği kullanılmalıdır. (2.42) denkleminde $\theta_\Delta = \pi$ değeri yerine koymduğunda, verici ile alıcı arasındaki ilk Fresnel

bölgelerinde yerin belirdiği mesafe $d = (4h_t h_r) / \lambda$ olarak yazılabilir. İlk Fresnel bölgesi uzaklığı, mikro-hücre yol kayıp modelleri için kullanışlı bir parametredir.

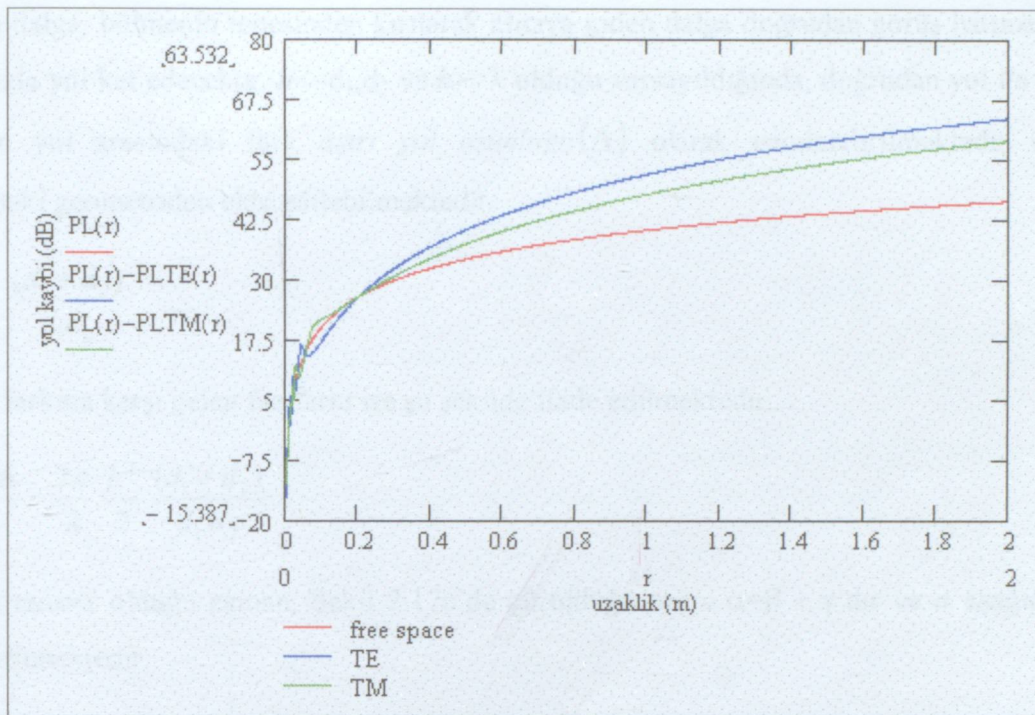
TE ve TM polarizasyonları için İki işin modeli:

Şekil 2.15'den görüleceği üzere TE polarizasyonunda yayılan dalganın TM polarizasyonunda yayılan ve yerden yansiyan dalgaya göre yol kaybı üzerindeki yardımcı ve yıkıcı etkileri daha fazladır. Bu örnekteki kırılma noktası yani Frensel Bölgesi'nde yerin belirdiği mesafe $d = (4h_t h_r) / \lambda$ formülü gereğince 8m'dir.

Bu örnek için alcı ve vericinin boyalarını 5cm'ye düşürdüğümüzdeki yansımaların etkileri Şekil 2.16 'da gösterilmiştir. Şekil 2.16'dan görüleceği üzere, anten boyaları yere yaklaştıkça kırılma noktası da küçülecek ve hem TE polarizasyonu hem de TM polarizasyonu için yerden yansımamanın propagasyona yani yol kaybının azalmasına bir katkısı olmayacağındır.



Şekil 2.15 TE ve TM polarizasyonları için İki-Işin Modeli ($ht=hr=0.5m$)



Şekil 2.16 TE ve TM polarizasyonları için İki-Işın Modeli ($ht=hr=5\text{cm}$)

2.6 Kırınım

Kırınım; kavisli yeryüzü etrafında, ufuk ötesinde ve engellerin arkasında propagasyonu devam ettirmektedir.. Alıcı engellenmiş (gölgelenmiş) bölgeye doğru hızlı ilerlediğinde, kırınım bölgesi hala mevcuttur ve kaliteli bir işaret üretebilmek için yeterli alan şiddetine sahiptir.

Kırınım olayı, Huygenin prensibiyle açıklanabilir. Bu prensibe göre, dalga cephesindeki tüm noktalar ikincil dalgaların oluşumu için noktasal kaynaklar olarak sayılmakta ve bu dalgalar propagasyon doğrultusunda yeni bir dalga cephesi oluşturmaktadırlar. Kırınım, ikincil dalgaların gölgelenmiş bölgeye propagasyonıyla gerçekleşmektedir. Gölgede kalan bölgede kırınımı uğrayan alan şiddeti, uzayda engel etrafında ikincil dalgaların elektrik alan bileşenlerinin vektör toplamıdır.

2.6.1 Fresnel Bölge Geometrisi

Şekil 2.17a'da uzayda birbirlerine belli uzaklıkta bir verici ve bir alıcı gösterilmektedir. Aradaki engel bölge, sayfa düzleminden içeri ve dışarı doğru sonsuz genişlikte ve efektif olarak h uzunluğunda, vericiden d_1 uzaklıkta ve alıcıdan d_2 uzaklıkta yerleşmiş konumdadır. Vericiden

yayılan dalga, bölmenin tepesinden kırılarak alıcıya giden dalga doğrudan görüş hattına nazaran daha fazla yol kat edecektir. $h < d_1, d_2$ ve $h > \lambda$ olduğu varsayılığında, doğrudan yol ile kırınımı uğrayan yol arasındaki fark *AŞIRI YOL UZUNLUĞU* (Δ) olarak isimlendirilmektedir ve Şekil 2.17b'deki geometriden elde edilebilmektedir.

$$\Delta = \frac{h^2}{2} \frac{(d_1 + d_2)}{d_1 d_2} \quad (2.53)$$

Bu yol farkına karşı gelen faz farkı ise şu şekilde ifade edilmektedir:

$$\phi = \frac{2\pi\Delta}{\lambda} = \frac{2\pi}{\lambda} \cdot \frac{h^2}{2} \cdot \frac{(d_1 + d_2)}{d_1 d_2} \quad (2.54)$$

Burada $\tan x \approx x$ olduğu zaman, Şekil 2.17c'de görüldüğü üzere $\alpha = \beta + \gamma$ dir ve α aşağıdaki gibi ifade edilmektedir:

$$\alpha = h \left(\frac{d_1 + d_2}{d_1 d_2} \right)$$

(2.54) denklemi birimsiz Fresnel-Kirchoff kırınım parametresini (v) kullanılarak aşağıdaki bağıntıyla normalize edilebilmektedir.

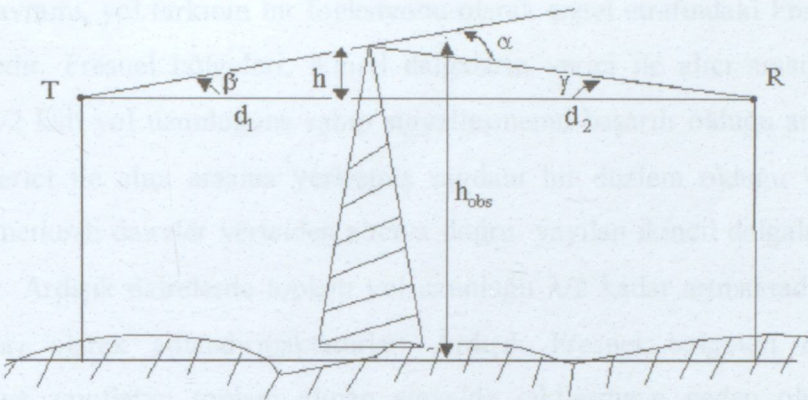
$$v = h \sqrt{\frac{2(d_1 + d_2)}{\lambda d_1 d_2}} = \alpha \sqrt{\frac{2d_1 d_2}{\lambda(d_1 + d_2)}} \quad (2.55)$$

Burada α 'nın birimi radyan cinsindendir ve Şekil 2.17b ve Şekil 2.17c'de gösterilmektedir.

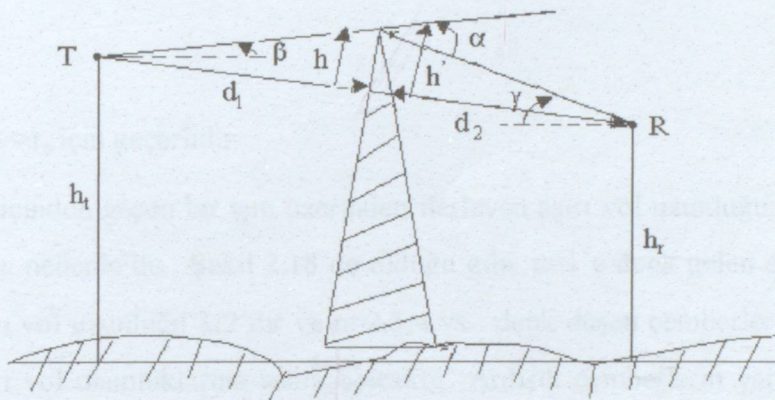
(2.55) bağıntısından, ϕ şu şekilde ifade edilmektedir:

$$\phi = \frac{\pi}{2} v^2 \quad (2.56)$$

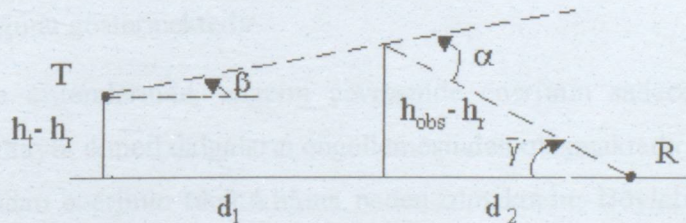
Yukarıdaki bağıntılarda; doğrudan görüş hattı ile kırınımı uğrayan yol arasındaki faz farkının, hem yüksekliğin ve engelin konumunun hem de verici ile alıcının konumunun fonksiyonu olduğu açıkça görülmektedir.



(a) Bıçak-sırtı kırınım geometrisi. T noktası vericiyi ve R noktası alıcıyı işaret etmektedir. T-R arası bıçak-sırtı bir engelle doğrudan görüş hattı tıkanmıştır.



(b) Verici ile alıcı aynı yükseklikte olmadığı durumda bıçak-sırtı kırınım geometrisi. α ve β küçük ve $h \ll d_1$ ve d_2 olduğunda, h ve h' hemen hemen aynı duruma gelir ve geometri aşağıda Şekil 2.8c'de gösterildiği gibi tekrar çizilebilir.



(c) En küçük yükseklik (bu durumda h_r) diğer yüksekliklerden çıkarıldığında eşdeğer bıçak-sırtı geometrisi.

Şekil 2.17 Bıçak-sırtı kırınım geometrisi diyagramları.

Pratikteki kırınım problemlerinde, açıların değerlerini değiştirmeksızın tüm yükseklikler bir sabitle azaltılarak geometri basite indirgenebilir. Bu yöntem Şekil 2.17c'de gösterilmektedir.

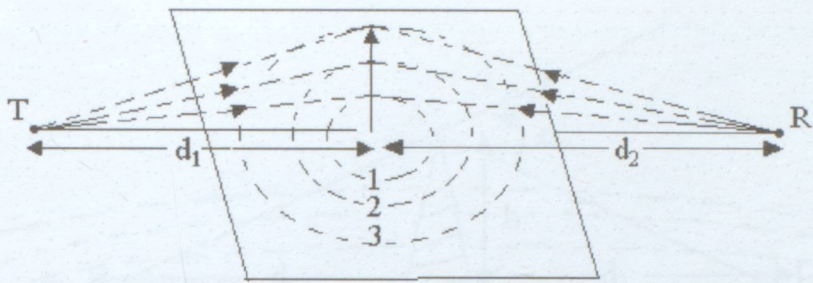
Kırınım kaybı kavramı, yol farkının bir fonksiyonu olarak engel etrafındaki Fresnel bölgeleriyle açıklanabilmektedir. Fresnel bölgeleri, ikincil dalgaların verici ile alıcı arasındaki direkt yol uzunluğunun $n\lambda/2$ katı yol uzunluğuna sahip sinyalleşmenin başarılı olduğu ardışık bölgelerdir. Şekil 2.18'de verici ile alıcı arasına yerleşmiş saydam bir düzlem olduğu varsayılmaktadır. Düzlemdeki eş merkezli daireler vericiden alıcıya doğru yayılan ikincil dalgaların merkezlerini ifade etmektedir. Ardışık dairelerde toplam yol uzunluğu $\lambda/2$ kadar artmaktadır. Bu çemberler Fresnel Bölgeleri olarak adlandırılmaktadır. Ardışık Fresnel bölgeleri değişimli olarak kuvvetlendirici ve zayıflatıcı toplam alınan sinyalde etkileşmeye neden olurlar. n . Fresnel bölgesinin yarıçapı r_n olarak gösterilir ve n, λ, d_1, d_2 terimleriyle şu şekilde ifade edilir:

$$r_n = \sqrt{\frac{n\lambda d_1 d_2}{d_1 + d_2}} \quad (2.57)$$

Bu yaklaşım $d_1, d_2 \gg r_n$ için geçerlidir.

Her bir çemberin içinden geçen bir ışın üzerinden ilerleyen aşırı yol uzunluğu; n tamsayı olmak üzere; $n\lambda/2$ 'dir. Bu nedenle de, Şekil 2.18'de olduğu gibi, $n=1$ 'e denk gelen en küçük dalga'nın içinden geçen aşırı yol uzunluğu $\lambda/2$ 'dir ve $n=2, 3, 4$ vs. denk düşen çemberler sırasıyla $\lambda, 3\lambda/2, 2\lambda, \dots$ şeklinde aşırı yol uzunluklarına sahip olacaktır. Ardışık çemberlerin yarıçapları düzlemin konumuna bağlıdır. Şekil 2.18'deki Fresnel bölgeleri, düzlem verici ile alıcı arasındaki tam orta noktada olduğunda en büyük yarıçap sahip olmakta ve düzlem vericiye yada alıcıya yaklaştırıldığında yarıçap küçülmektedir. Bu etki gölgelenmenin hem frekansa hem de engellerin konumuna bağlı olduğunu göstermektedir.

Hareketli haberleşme sistemlerinde, engelin çevresinde enerjinin sadece bir kısmı kırinma uğradığından kırinım kaybı ikincil dalgaların engellemesinden oluşmaktadır. Engellenme, Fresnel bölgelerinin bazlarından enerjinin tıkanıklığına neden olmaktadır. Böylelikle, verilen enerjinin sadece ufak bir kısmının alıcıya ulaşmasına izin verilmektedir. Engellenmenin geometrisine bağlı olarak, alınan enerji engellenmeyen Fresnel bölgelerden katkılarının vektörel toplamıdır.



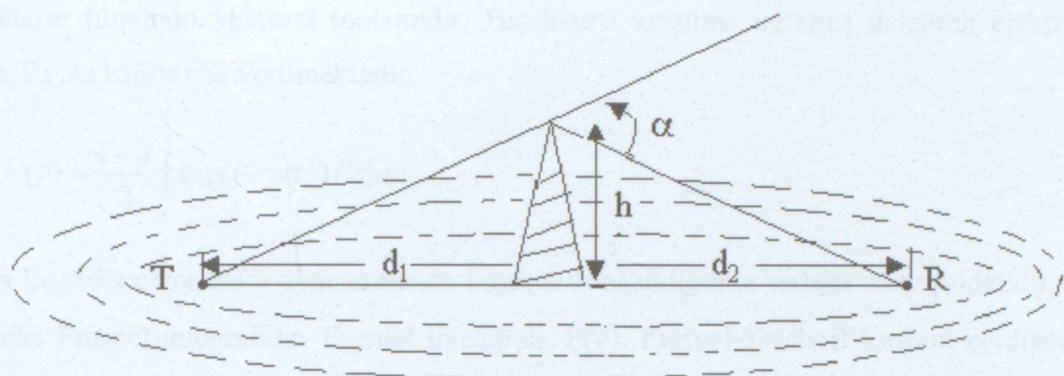
Şekil 2.18 Ardişik Fresnel bölgelerinin sınırlarını tanımlayan eş merkezli çemberler

Şekil 2.19'da gösterildiği gibi bir engel transmisyon yolunu tıkayabilir ve verici ile alıcı arasında aşırı yol gecikmesinin tamsayı katı olduğu durum için tüm noktalar birleştirilerek yarımdalgaboylarının şeklinde elipsoidler meydana getirilebilir. Bu elipsoidler Fresnel bölgelerini ifade etmektedir. Fresnel bölgeleri verici ve alıcı anteni odak noktalarında olan eliptik şeke sahiptir. Şekil 2.19'da farklı bıçak-sırtı kırınım senaryoları gösterilmektedir. Genellikle, bir engel ilk Fresnel bölgesinde kapsanan hacmi bloke etmediğinde, kırınım kaybı en aza indirgenir ve bu durumda da kırınım etkileri ihmali edilebilir.

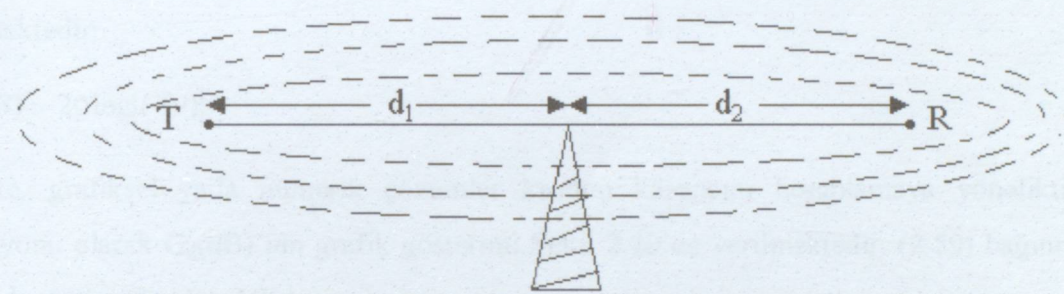
2.6.2 Bıçak-sırtı Kırınım Modeli

Radyo frekansına sahip dalgaların yüksek tepeler ve binalar üzerinden kırınımı uğramasından kaynaklanan işaret zayıflamasının hesaplanması, bir hizmet alanındaki alan şiddetini hesaplamada temel alınmaktadır. Kırınım kayıplarının kesin kestirimlerinin hesaplanması genellikle imkansızdır ve pratikte tahmin, zorunlu amprik düzeltmelerle değiştirilen teorik kestirim yöntemidir. Kompleks ve engebeli arazilerde kırınım kayıplarını hesaplamak matematiksel olarak zor olmasına rağmen, birçok basit durum için kırınım kayıpları ifadeleri elde edilmiştir.

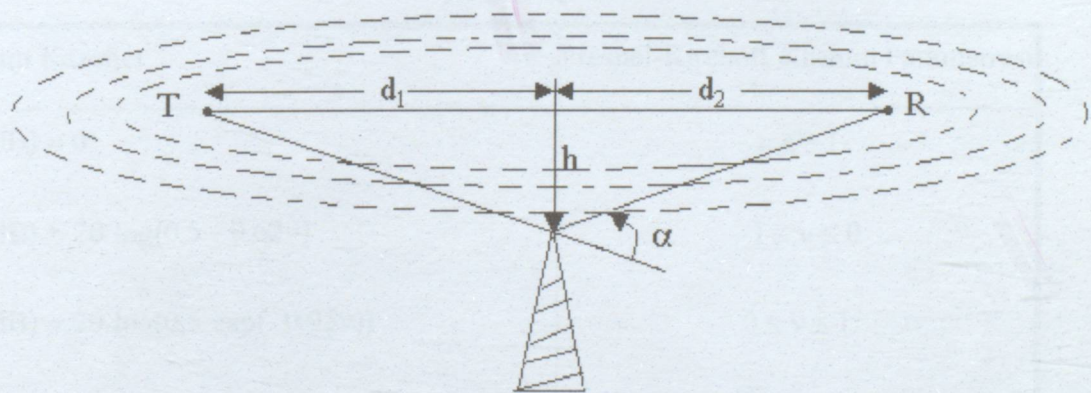
Gölgelenme bir tepe veya dağ gibi tek bir nesne tarafından sağlanırsa kırınımından kaynaklanan zayıflama, engel bıçak-sırtı kırınımı neden olduğu varsayılarak hesaplanabilir. Bu yöntem kırınım modellerinin en basitidir ve bu durumda kırınım kaybı bıçak-sırtı (ayrıca yarı-düzlem olarak da adlandırılabilir) arkasındaki alan için klasik Fresnel çözümü kullanılarak kolayca hesaplanabilir.



(a) "h" pozitif olduğu için " α " ve " v " de pozitiftir.



(b) "h" sıfır olduğu için " α " ve " v " de sıfıra eşittir.



(c) "h" negatif olduğu için " α " ve " v " de negatiftir.

Şekil 2.19 Farklı bıçak-sırtı kırınım durumları için Fresnel bölgelerinin gösterimi

R noktasında, gölgelenen bölgeye (yada kırınım bölgesi) yerleştirilmiş bir alıcı düşünüldüğünde, Şekil 2.19'da R noktasındaki alan şiddetli bıçak sırtı engel üzerindeki düzlemede bulunan ikincil

kaynaklarının tümünün vektörel toplamıdır. Bıçak-sırtı kırınımı ugramış dalganın elektrik alan şiddeti, E_d , şu bağıntıyla verilmektedir:

$$\frac{E_d}{E_0} = F(v) = \frac{1+j}{2} \int_v^{\infty} \exp((-j\pi t^2)/2) dt \quad (2.58)$$

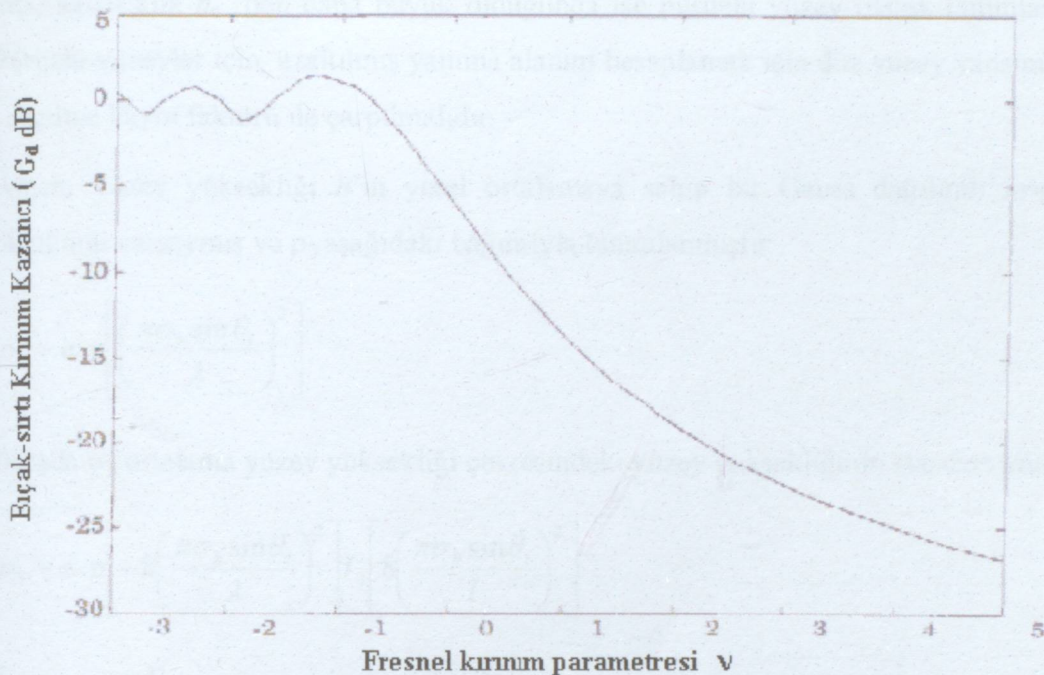
Burada E_0 sadece yer değil aynı zamanda bıçak sırtı eksikliğinde serbest uzay şiddettidir ve $F(v)$ kompleks Fresnel integralidir. Fresnel integrali, $F(v)$, Fresnel-Kirchoff kırınım parametresinin (v) fonksiyonudur ve (2.55) bağıntısıyla tanımlanmıştır. Ve genel olarak verilen “ v ” değerleri için tablo yada grafik kullanılarak hesaplama yapılmaktadır. Kırınım kaybı, serbest uzay elektrik alanıyla karşılaşıldığında bıçak-sırtının var olması durumunda aşağıdaki bağıntıyla verilmektedir:

$$G_d(dB) = 20 \log |F(v)| \quad (2.59)$$

Pratikte, grafiksel yada nümerik çözümler kırınım kazancını hesaplamaya yönelikir. “ v ” fonksiyonu olarak $G_d(dB)$ ’nin grafik gösterimi Şekil 2.20’de verilmektedir. (2.59) bağıntısı için yaklaşık çözüm Çizelge 2.3’de verilmiştir.

Çizelge 2.3 Fresnel-Kirchoff kırınım parametresinin değişen değerleri için kırınım kazancının yaklaşık çözümü

Kırınım Kazancı	Fresnel-Kirchoff Kırınım Parametresi
$G_d(dB) = 0$	$v \leq -1$
$G_d(dB) = 20 \cdot \log(0,5 - 0,62v)$	$-1 \leq v \leq 0$
$G_d(dB) = 20 \cdot \log(0,5 \cdot \exp(-0,95v))$	$0 \leq v \leq 1$
$G_d(dB) = 20 \cdot \log(0,4 - \sqrt{0,1184 - (0,38 - 0,1v)^2})$	$1 \leq v \leq 2,4$
$G_d(dB) = 20 \cdot \log\left(\frac{0,0025}{v}\right)$	$v > 2,4$



Şekil 2.20 Fresnel kırınım parametresi cinsinden bıçak-sırtı kırınım kazancı

2.7 Saçılma

Hareketli radyo haberleşmesi ortamında, alınan gerçek sinyal yansımı ve kırınım modellerinde alınan sinyale göre daha güçlündür. Bunun nedeni, bir radyo dalgasının pürüzlü bir yüzeye çarpması durumunda yansıyan enerji saçılma yüzünden tüm yönlerde etrafaya (difüzyon) yayılmasıdır. Ağaçlar ve lamba direkleri gibi nesneler enerjiyi tüm yönlerde saçmaya eğilimli olduklarından, alıcıda elde edilen enerjide artış sağlanmaktadır.

Bir dalga boyundan daha geniş boyuta sahip düz yüzeyler yansıtıcı yüzeyler olarak modellenebilmektedirler. Ancak bu tür yüzeylerin pürüzlülüğü, yansımadan farklı propagasyon etkilerine neden olmaktadır. Yüzeyin pürüzlülüğü çoğunlukla verilen bir θ_i açısı için yüzey kabarıklığının kritik yüksekliğinin (h_c) tanımlandığı Rayleigh kriterinin kullanılarak test edilmektedir.

$$h_c = \frac{\lambda}{8 \sin \theta_i} \quad (2.60)$$

Bir yüzeyin kabarıklığı minimumdan maksimuma kadar h yüksekliği h_0 'den daha az olduğunda düz, kabarıklık h_0 'den daha büyük olduğunda ise pürüzlü yüzey olarak tanımlanabilmektedir. Pürüzlü yüzeyler için, azaltılmış yanına alanını hesaplamak için düz yüzey yansımaya katsayısı, ρ_s , saçılma kaybı faktörü ile çarpılmalıdır.

Ament yüzey yüksekliği h 'ın yerel ortalamaya sahip bir Gauss dağılımlı rasgele değişken olduğunu varsayıp ve ρ_s aşağıdaki bağıntıyla tanımlanmıştır:

$$\rho_s = \exp\left[\left(\frac{\pi\sigma_h \sin\theta_i}{\lambda}\right)^2\right] \quad (2.61)$$

Burada σ_h ortalama yüzey yüksekliği çevresindeki yüzey yüksekliğinin standart sapmasıdır.

$$\rho_s = \exp\left[-8\left(\frac{\pi\sigma_h \sin\theta_i}{\lambda}\right)^2\right] I_0\left[8\left(\frac{\pi\sigma_h \sin\theta_i}{l}\right)^2\right] \quad (2.62)$$

$$\Gamma_{engebeli} = \rho_s \Gamma \quad (2.63)$$

2.7.1 Radar Çapraz Kesit (RCS) Modeli

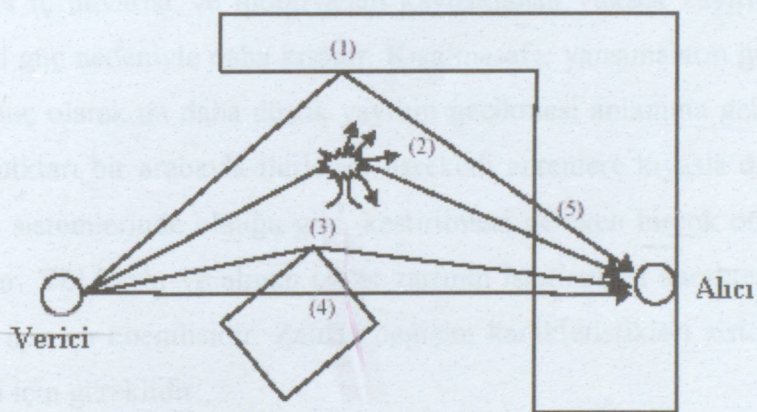
Büyük nesnelerin saçılmasına neden olduğu radyo frekanslı kanallarda, bu tür nesnelerin konumunun bilinmesi saçılan sinyal şiddetini tahmin etmede büyük kesinlik kazandırabilmektedir. Bir cisim RCS'i alıcı yönündeki saçılan güç yoğunluğunun saçıcı nesne üzerine gelen radyo frekanslı dalganın güç yoğunluğuna oranıdır, ve birimi metre karedir. Kırınım ve fizik-optik geometrisine dayanan analiz yöntemi saçılan alan şiddetinin saptanmasında kullanılmaktadır.

Şehir içi hareketli haberleşme sistemlerinde, bistatik (bistatic) radar eşitliğine dayanan modeller uzak alandaki saçılmadan kaynaklanan alınan gücün hesaplamak için kullanılmaktadır. Bistatik radar eşitliği, saçıcı nesne üzerinde etkisi olan serbest uzayda ilerleyen dalganın propagasyonunu tanımlamaktadır ve alıcı yönünde tekrar ışma yapmaktadır. Bu güç bağıntısı şu şekilde verilmektedir:

$$P_R(dBm) = P_T(dBm) + G_T(dBi) + 20 \cdot \log(\lambda) + RCS[dBm^2] - 30 \cdot \log(4\pi) - 20 \cdot \log d_T - 20 \cdot \log d_R \quad (2.64)$$

Burada d_T ve d_R saçıcı nesnelerden, sırasıyla, vericiye ve alıcıya olan uzaklıklardır. (2.64) denkleminde saçıcı nesnenin hem alıcının hem de vericinin uzak bölgesinde yani Fraunhofer bölgesinde olduğu varsayılmaktadır. RCS değişkeninin birimi ($dB \cdot m^2$) dir. Bir metre kare referans alınarak dB biriminde saçıcı nesnenin yüzey alaniyla metre kare cinsinden ölçülmektedir. (2.64) denklemi hem alıcının hem de vericinin uzak alanındaki saçıcı nesnelere uygulanabilmektedir ve binalar gibi büyük nesnelerden saçılma gerçekleştiği için alıcı gücü tahmin etmek için oldukça yararlıdır.

Farklı birkaç Avrupa şehirlerinin çevreleri ölçülmüş ve farklı binalar için RCS değerleri, ölçülen güç gecikme profillerine bakılarak saptanmıştır. 5-10 km uzaklıkta yerleştirilen orta ve büyük boyutlardaki binalarda, RCS değerlerinin $14,1 \text{ dB} \cdot m^2$ ile $55,7 \text{ dB} \cdot m^2$ arasında değişikleri görülmüştür.



Şekil 2.21 Propagasyon mekanizmaları (1) Yansıma (2) Saçılma (3) Kırınım (4) Transmisyon (5) Bina içine penetrasyon

3. BİNAİÇİ PROPAGASYON YOL KAYIP MODELLERİ

3.1 Giriş

Kablosuz haberleşme sistemlerindeki bina içi uygulamalar son yıllarda hızla artmaktadır. Bu uygulamalarda karşılaşılan en önemli sorun verici ile alıcı arasındaki ilerleyen dalgaya ait propagasyon kaybıdır. Bu kaybın kestirilebilmesi, özellikle hücresel haberleşme sistemleri ve KAA gibi kişisel bilgisayarları antenler aracılığıyla haberleşirmeye yönelik ağ çalışmalarında büyük önem kazanmaktadır.

Bina-içi radyo propagasyonu hava koşullarından etkilenmez ancak binanın yapı malzemelerinin çeşitli özellikleri, mobilyalar ve insanlardan olumlu veya olumsuz bir şekilde değişimle uğrar.

Bina-içi propagasyon kanalı bina dışı propagasyon kanalından çok farklıdır. Verici ile alıcı arasındaki mesafe iç duvarlar ve mobilyadan kaynaklanan yüksek zayıflama ve genellikle daha düşük verici güç nedeniyle daha kısadır. Kısa mesafe, yansımaların gecikme sürelerinin kısalması, ve sonuç olarak da daha düşük yayılım gecikmesi anlamına gelmektedir. Kanalın geçici değişme miktarı bir arabayla ilerleyen hareketli antenlere kıyasla daha yavaştır. Bina dışı propagasyon sistemlerinde olduğu gibi, kestirilmesi gereken birçok önemli propagasyon parametresi vardır. Yol kaybı ve alınan işaret zarfının istatistiksel karakteristikleri kapsanan alan uygulaması için en önemlididir. Zaman değişim karakteristikleri sistem performansının değerlendirilmesi için gereklidir.

Dikkate alınan propagasyon modelleri üç gruba ayrılmaktadır: Amprik dar-bant modelleri, amprik geniş-bant modelleri ve deterministik modeller. Amprik dar-bant modelleri yol kaybını çıkış olarak veren basit bir matematiksel modelle ifade edilebilmektedir. Eşitlikler, modelin ölçüm sonuçlarına uydurulmasıyla elde edilmektedir. Amprik geniş-bant modelleri (dominant-yol) kanalın (yayılım gecikmesi vs. gibi) geniş-bant karakteristiklerinin kestirimine de izin vermektedir. Deterministik modeller ise radyo dalgaların yayılımının fiziksel olarak gerçekleşip hesaplandığı yöntemlerdir. Bu modeller bina içindeki hareketli alıcı kanalın hem dar-band hem de geniş-band bilgilerinin elde edilmesini sağlamaktadır.

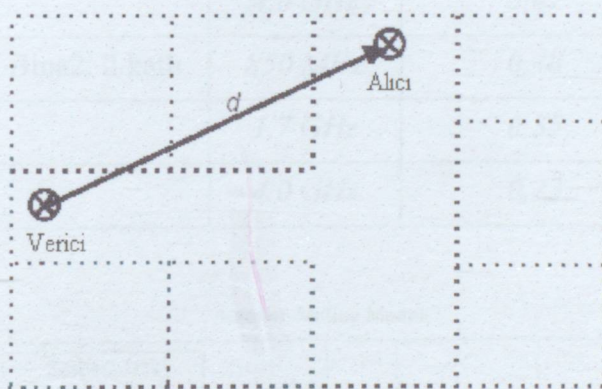
Bu bölümde doğrudan alıcı-verici arasında görüş hattının bulunduğu ortamlarda yol kaybı hesaplamaları için Keenan-Motley ile Logaritmik-Uzaklık dar-bant amprik modellerinin sonuçları verilmiş; “Işın-izleme” deterministik modelinin ise tanıtımı yapılmıştır. Bununla birlikte, ortamındaki yol kaybı analizini deneysel veriler üzerinden modelleyen ve diğer amprik

modellere alternatif bir çözüm sunan Yapay sinir Ağrı yaklaşımı ortaya konmuştur. Yapay Sinir Ağrı bu çalışmanın temelini oluşturmaktadır ve ilerideki bölümlerde ayrıntılı olarak incelenecektir.

3.2 Amprik Modeller

3.2.1 Keenan-Motley Modeli

Bir bina içi ortamda kablosuz bir şebekenin kapsama alanının net bir bina dışında veya serbest uzay ortamında tahmin edilebilmesi çok daha zordur. Bina içi kapsama alanının belirlenmesi yayılan gücün yapı içerisindeki odalardan, tavanlardan, duvarlardan, insanlardan ve karşılaşılan diğer engellerden soğurulması esasına dayanmaktadır. Bu tür kayıpların genliği veya zayıflamanın birçok durum için ölçülmüş ve serbest uzay yol kaybı modellerinin bina içi yol kayıplarının ve bu sayede de kablosuz bir şebekenin bina içi kapsama alanının tahmin edilebilmesi için daha kesin sonuçlar verebilmesi sağlanmıştır.



Şekil 3.1 Keenan-Motley Modeli

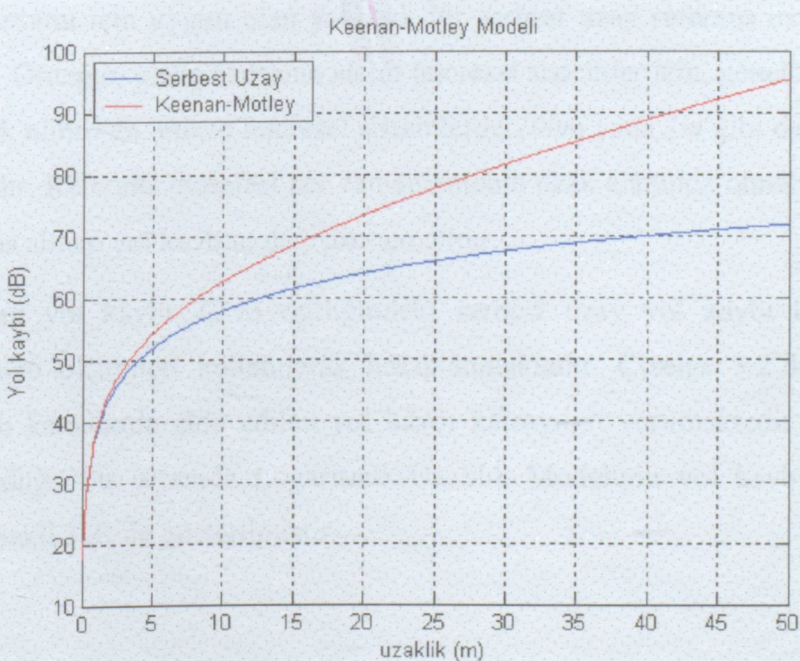
Literatürde, bina içi yol kayıplarının analizinde ve etkilerinin anlaşılmasında değişik bakış açıları ve yaklaşımlar tanımlanmaktadır Keenan-Motley (KM) Modeli, Lineer Yol Zayıflama Modeli veya Devasirvatham Modeli olarak da anılmaktadır ve verici ile alıcı aynı katta yer almaktadır. Bu modele göre, bina içi yol kaybı (yayılan güç), dB cinsinden, serbest uzay yol kaybına kapsanan alanla doğrusal bir faktörün eklenmesiyle bulunmaktadır. Bu faktör, deneysel olarak saptanmaktadır veya yapılan çalışmalarдан çekilerek bulunmaktadır. Bina içinde sıkça karşılaşılan engeller tarafından radyo dalgalarının soğurulmasıyla hesaplamak için kullanılmaktadır. Sonuçta ortalama yol kaybı aşağıdaki denklemle verilmektedir:

$$PL(d, f)[dB] = PL_{f_s}(d, f) + a.d \quad (3.1)$$

Burada d uzaklık, f çalışılan frekans, PL_{fs} serbest uzay yol kaybı ve a lineer zayıflatma katsayısıdır ve birimi $dB/metre$ 'dir. Çizelge 3.1 frekansın fonksiyonu olarak ölçülen farklı a değerleri içermektedir. Örneğin IEEE 802.11a ve IEEE 802.11b standartlarına göre hem $5 GHz$ hem de $2,4 GHz$ frekans bantları için, bir ofis ortamında yol kaybının modellenmesinde $a = 0,47 [dB/m]$ alınmıştır. Bu değer için $2,4 GHz$ frekansında yol kaybı değişimi $G_t(dB) = 2.2 dB_i$ verici kazancı ve $G_r(dB) = 0 dB_i$ alıcı kazancı için değişimi Şekil 3.2' de görülmektedir.

Çizelge 3.1 KM Modelinde Farklı Binalarda Farklı Frekanslar İçin Ölçülen Yol Zayıflama Katsayıları

Konum	Frekans	Zayıflama (dB/m)
Bina1: 4 katlı	$850 MHz$	$0,62$
	$1,7 GHz$	$0,57$
	$4,0 GHz$	$0,47$
Bina2: 2 katlı	$850 MHz$	$0,48$
	$1,7 GHz$	$0,35$
	$4,0 GHz$	$0,23$



Şekil 3.2 Keenan-Motley Modeli ile Yol kaybı Analizi

3.2.2 Logaritmik-Uzaklık Modeli

Hem bina dışı hem de bina içi radyo kanallarında, gerek teorik gerekse ölçüme dayalı propagasyon modelleri alınan ortalama işaretin uzaklığa azaldığını göstermektedir. Bu tür modeller literatürde yaygın olarak kullanılmaktadır. Belirli bir verici-alıcı uzaklığı için ortalama büyük-ölçek yol kaybı yol kaybı katsayısının fonksiyonu olarak belirtilebilmektedir:

$$\overline{PL}(d) \propto \left(\frac{d}{d_0} \right)^n \quad (3.2)$$

veya

$$\overline{PL}(d) = \overline{PL}(d_0) + 10.n.\log\left(\frac{d}{d_0}\right) \quad (3.3)$$

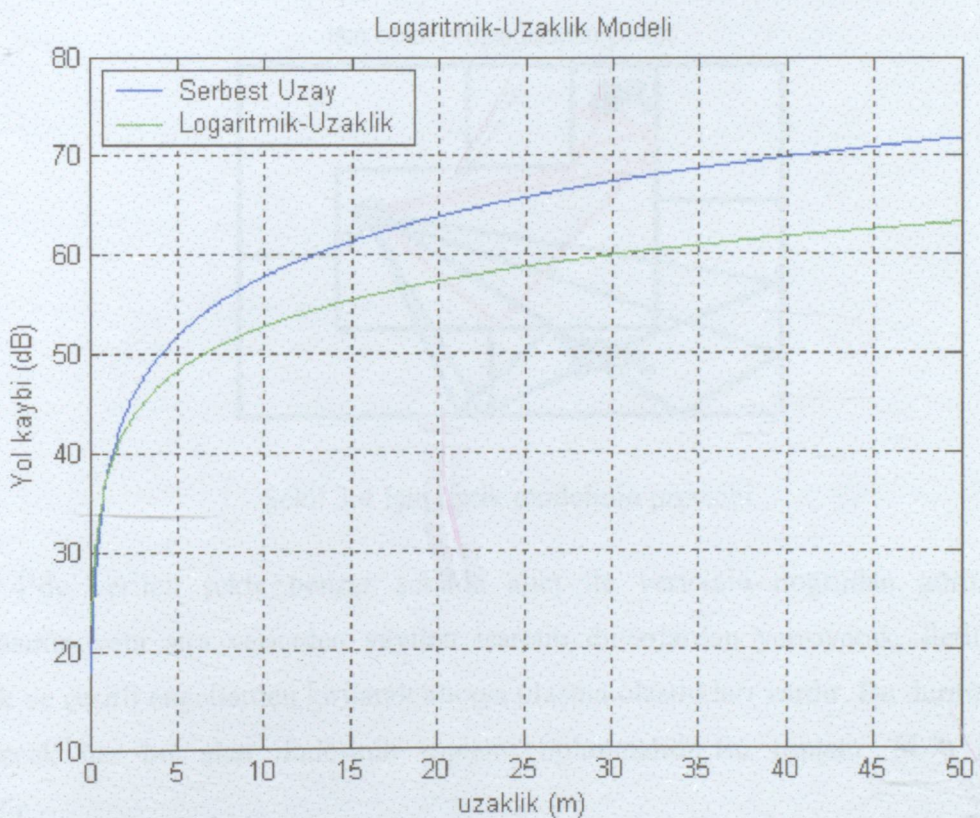
Burada “ n ” yol kaybının uzaklığa arttığı oranı belirten yol kaybı katsayısıdır. d_0 vericiye yakın alanda ölçümlerin yapıldığı referans uzaklıktır, ve d verici ile alıcı arasındaki uzaklıktır. (3.2) ve (3.3) denklemlerindeki üst-çizgiler, d 'nin belli bir değeri için verilen mümkün olan tüm yol kayıplarının ortalamalarını belirtmektedir. Logaritmik ölçekte çizildiğinde, modellenen yol kaybı $10.n \text{ dB/dekat}$ eğimli düz bir çizgidir. n değeri propagasyon ortamına bağlıdır. Örneğin, serbest uzay için $n=2$ iken, engellerin var olması durumunda n değeri artacaktır.

Propagasyon ortamı için uygun olan yaklaşık bir serbest uzay referans uzaklığını seçebilmek çok önemlidir. Örneğin, geniş kapsama alanlı hücresel sistemler için, genellikle 1km . referans mesafesi olarak alınırken, mikro hücresel sistemlerde 100m yada 1m gibi daha kısa mesafeler kullanılmaktadır. Referans mesafesi her zaman antenin uzak alanında olmalıdır ki, yakın alan etkileri referans alınan yol kaybını değiştirmemelidir.

Referans alınan yol kaybı, (2.5) eşitliğindeki serbest uzay yol kaybı bağıntısı veya d_0 mesafesinde alan ölçümleri kullanılarak hesaplanmaktadır. Çizelge 3.2'de farklı hareketli radyo frekanslı kanallarda elde edilen yol kaybı katsayıları verilmektedir. Doğrudan görüş hattının bulunduğu bir ortamda Logaritmik-Uzaklık Modelinin yol kaybı değişimi $n=1.5$ katsayısı için Şekil 3.3' de gösterilmiştir.

Çizelge 3.2 Farklı Ortamlar İçin Kullanılan Yol Kaybı Katsayıları

Ortam	Yol Kaybı Katsayısı(n)
Serbest uzay	2
Hücresel radyo frekanslı haberleşme şehir dışı	2,7 ile 3,5 arası
Hücresel radyo frekanslı haberleşme şehir dışı	3 ile 5 arası
Bina-içi doğrudan görüş hattı olması durumu	1,6 ile 1,8 arası
Bina-içinde engellenme durumu	4 ile 6 arası
Fabrikalarda engellenme durumu	2 ila 3 arası



Şekil 3.3 Logaritmik-Uzaklık Modeli ile Yol kaybı Analizi

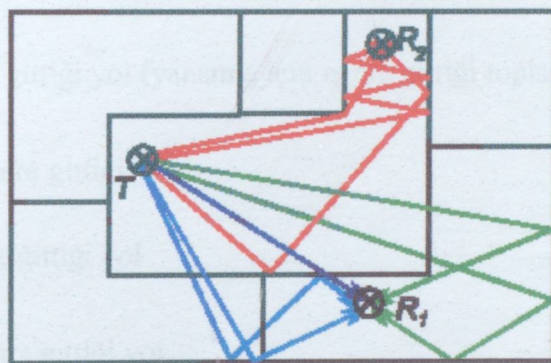
3.3 İşin İzleme Yöntemi

Deterministik modeller telsiz dalgaların yayılımının fiziksel olarak simülé edilmesinde kullanılmaktadır. Bu nedenle ortamın yayılım parametrelerindeki etkisi daha büyük bir kesinlikle hesaba katılabilmektedir. Diğer bir avantaj ise, deterministik modellerin birçok propagasyon parametresinin tahminini mümkün kılmıştır. Örneğin, yol kaybı, impuls yanıtı

ve geliş açısı aynı anda tahmin edilebilmektedir.

Küçük dalga boyları, yani yüksek frekanslar, düşünüldükçe dalganın yayılması ışının yayılmasına benzemektedir. Bu nedenle, bir telsiz ışının düz bir çizgi boyunca sadece kırılma, yansımı, kırınım ve saçılımadan etkilenerken yayıldığı varsayılmaktadır. (Şekil 3.4) Bu yayılım Geometrik Optik (GO) tarzının genel kavramıdır. Bu modelleme yaklaşımı için hesaba katılan kriter, dalga boyunun dikkate alınan engellerle yani, binanın duvarlarıyla karşılaşıldığında çok daha küçük olması gerektidir. Hareketli iletişim ağlarında kullanılan frekanslarda bu kriter yanı zamanda bina içlerinde de yeterince uygulanmaktadır.

Işın optik propagasyon yolları



Şekil 3.4 İşin optik modelinin prensibi

Şekil 3.4'de verilen şekle benzer şekilde alıcı ile vericinin doğrudan görüş hattında bulunmasının yanı sıra vericiden yayılan işaretin duvarlardan yansıyarak, iletilerek veya saçılıarak ve çeşitli engellerden kırılarak alıcıya ulaşma olasılıkları vardır. Bu durumda alıcıya ulaşabilecek her bir alan ifadesinin toplamı bulunmalıdır. Bu toplam, (4.7) ifadesi ile verilebilir.

$$E_{total}(t) = \left[\frac{\lambda}{4\pi} \right] \left[\begin{array}{l} \frac{\sqrt{G_{dLOS}} u(t) e^{j(2\pi d_{LOS}/\lambda)}}{d_{LOS}} + \\ \sum_{i=1}^{N_r} \frac{R_i \sqrt{G_{R_i}} u(t - \tau_i) e^{j(2\pi d_i/\lambda)}}{d_i} + \\ \sum_{i=1}^{N_d} \frac{D_i \sqrt{G_{d_i}} u(t - \tau_i) e^{j(2\pi(d_i + d'_i)/\lambda)}}{d'_i} \sqrt{\frac{d'_i}{d_i(d'_i + d_i)}} + \\ \sum_{i=1}^{N_s} \frac{\sigma_i \sqrt{G_{S_i}} u(t - \tau_i) e^{j(2\pi(s_i + s'_i)/\lambda)}}{s_i s'_i} \end{array} \right] \cos(2\pi f_c t + \phi_0) \quad (3.4)$$

Bu ifadelerde N_r , N_d , N_s sırasıyla yansıtma, kırılma ve saçılma yoluyla giden ışınların sayısı;

d_i : işaretin kırılana kadar gittiği yol (yansıtma için ışının gittiği toplam yol)

d'_i : işaretin kırıldıktan sonra gittiği yol

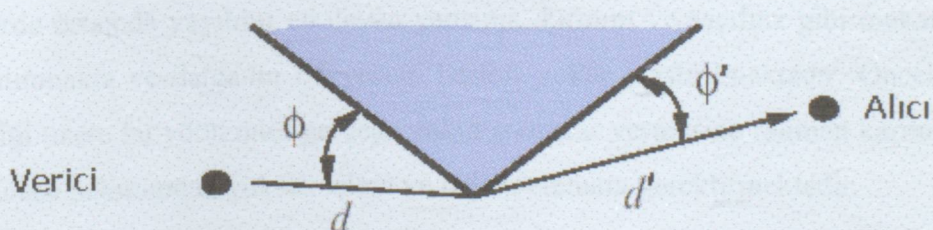
d_s : işaretin saçılına kadar gittiği yol

G_{R_i} , G_{D_i} , G_{S_i} sırasıyla yansıtma, kırılma ve saçılımadaki her durum için alıcı ve verici anten kazançları çarpımı

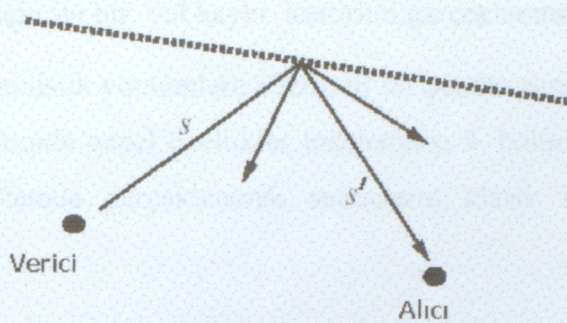
σ_i : her bir saçılma için radar cross section sabiti

f_c : çalışma frekansı (taşıyıcı frekansı)

İşaretin kırınım ve saçılma halindeki davranışına ait durum Şekil 4.5a ve 4.5b'de verilmiştir.



a) Kırınım durumu



b) Saçılma durumu

Şekil 3.5 İşaretin Kırınım ve Saçılma Durumlarındaki Davranışı

(3.4) ifadesindeki verilen yansımalar, saçılmalara bağlı olarak alıcıda elde edilen toplam elektrik alandan hareketle, alıcıdaki toplam güç ifadesi de (4.8) ile verilebilir

$$\Pr_{total} = |E_{total}(t)|^2 \quad (3.5)$$

Yukarıdaki ifadelerden anlaşılabileceği üzere çok sayıda farklı yansıtıcı, keskin ve saçıcı malzemenin bulunduğu ortamlarda propagasyon kaybının modellenmesi oldukça karmaşık bir yapı almakta; hesaplamlardaki işlem sayısını ve gerekli bellek miktarını artırmaktadır.

3.4 Yapay Sinir Ağları Yaklaşımı

Propagasyon yol kaybının hesaplanması sırasında kullanılan amprik ve deterministik modeller, olumlu ve olumsuz özellikleri bir arada bulundurmaktadır. Amprik modeller oldukça basit logaritmik formülasyonlara dayanan hesaplama yöntemleri sunmaktadır. Çoğu durumda sistemin dinamik menzilinin belirlenmesinde iyi bir genelleme yapmalarına rağmen karmaşık ve gürültülü ortamlar için sonuçları yetersiz kalabilmektedir. Deterministik modeller ise, telsiz dalgaların yayılımının fiziksel olarak gerçekleşip hesaplandığı yöntemlerdir. Bu modellerde ortamda yayılımı etkileyen yansımaya, kırınım ve saçılma gibi mekanizmalar göz önüne alınmakta ve dalganın izleyeceği baskın yollar araştırılmaktadır. Önceki kısımda da belirtildiği üzere bu yöntemler gerçeğe yakın sonuçlar vermesine rağmen karmaşık ortamlara uygulanması bakımından yüksek işlem ve bellek elemanı gerektirmektedir.

Yapay Sinir Ağları yaklaşımında ise, propagasyon ortamındaki verici ve alıcı anten konumlarına bağlı olarak elde edilen fiziksel ölçüm değerleri hedef değer kabul edilip, bu veriler çeşitli eğitim algoritmalarıyla işlenerek optimize edilmiş bir modelleme ortaya çıkmaktadır. Ağın eğitim işleminde giriş ve çıkış verileri bilinmekte; bu veriler sayesinde optimum modelleme

yapılarak farklı girişler için iyi bir yol kaybı kestirimi gerçekleştirilmektedir.

Klasik amprik ve deterministik yöntemlere alternatif bir çözüm sunan Yapay Sinir Ağları (YSA) modellemesi için 4. bölümde genel özellikler incelenmiş; 5. bölümde ise YSA modellemesi gerçek bir bina-içi ortamda gerçekleşerek sonuçların klasik modellerle karşılaştırması yapılmıştır.

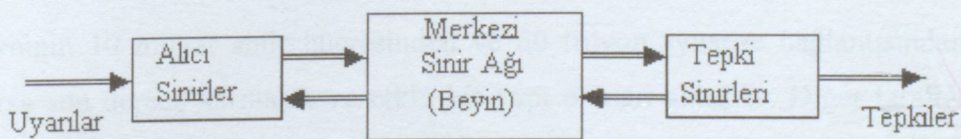
4. YAPAY SİNİR AĞLARI

Çağdaş dünyada bilgisayarlar ve bilgisayar sistemleri yaşamın vazgeçilmez bir parçası haline gelmiştir. (Öztemel,2003) Teknolojinin hızla gelişmesiyle beraber bu sistemler, veri transferi ve karmaşık hesaplama işlemlerini yapabilmelerinin yanı sıra artık günümüzde olaylar hakkında kararlar verip, olaylar arasındaki ilişkileri öğrenebilmektedirler. Bilgisayarları bu özellikleriyle donatan ve yeteneklerin gelişmesini sağlayan çalışmalar sonucu oluşan sistemlere “yapay zeka” veya “Yapay sinir ağları” denmektedir.

Yapay Sinir Ağları (YSA), olaylara ve problemlere çözümler üretirken bilgiye dayalı olarak çalışmakta ve eldeki bilgiler ile olayları öğrenerek sonraki olaylar hakkında kararlar verebilmektedir. Tüm bu işlevlerin sağlanması için YSA kendisine biyolojik sinir sistemlerinin çalışma prensibini örnek almış ve kendi amaçları doğrultusunda basitleştirilmiş bir model meydana getirmiştir.

4.1 Biyolojik Sinir Sistemi

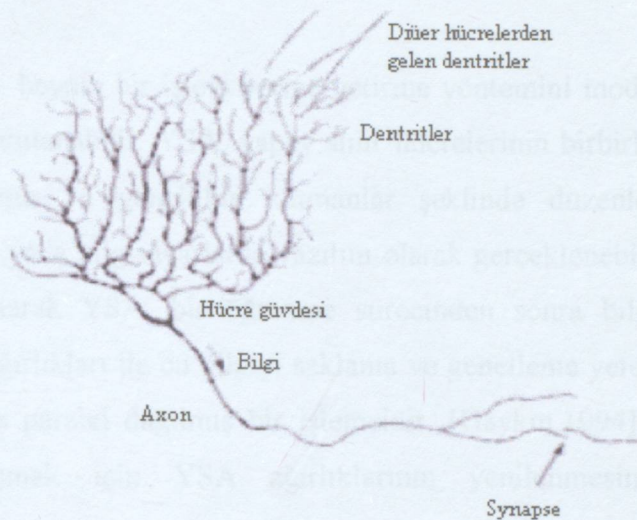
Biyolojik sinir sistemi, merkezinde sürekli olarak bilgiyi alan, yorumlayan ve uygun bir karar üreten beynin (merkezi sinir ağı) bulunduğu 3 katmanlı bir sistem olarak açıklanır. Alıcı sinirler (receptor) organizma içerisinde ya da dış ortamlardan algıladıkları uyarıları, beyine bilgi iletten elektriksel sinyallere dönüştür. Tepki sinirleri (effector) ise, beyinin ürettiği elektriksel darbeleri organizma çıktısı olarak uygun tepkilere dönüştür. Şekil 4.1'de bir sinir sisteminin blok gösterimi verilmiştir.



Şekil 4.1 Biyolojik sinir sisteminin blok gösterimi

Merkezi sinir ağında bilgiler, alıcı ve tepki sinirleri arasında ileri ve geri besleme yönünde değerlendirilerek uygun tepkiler üretilir. Bu yönyle biyolojik sinir sistemi, kapalı çevrim denetim sisteminin karakteristiklerini taşır. Merkezi sinir sisteminin temel işlem elemanı, sinir hücresidir (nöron) ve insan beyninde yaklaşık 10 milyar sinir hücresi olduğu tahmin edilmektedir. Sinir hücresi; hücre gövdesi, dendritler ve aksonlar olmak üzere 3 bileşenden meydana gelir. Dendritler, diğer hücrelerden aldığı bilgileri hücre gövdesine bir ağaç yapısı

şeklinde ince yollarla ileter. Aksonlar ise elektriksel darbeler şeklindeki bilgiyi hücreden dışarı taşıyan daha uzun bir yoldur. Aksonların bitimi, ince yollara ayrılabilir ve bu yollar, diğer hücreler için dendritleri oluşturur. Şekil 4.2 de görüldüğü gibi akson-dendrit bağlantı elemanı synapse olarak söylenir.



Şekil 4.2 Biyolojik Sinir Hücresi ve Bileşenleri

Synapse gelen ve dendritler tarafından alınan bilgiler genellikle elektriksel darbelerdir ancak, synapse'deki kimyasal ileticilerden etkilenir. Belirli bir sürede bir hücreye gelen girişlerin değeri, belirli bir eşik değerine ulaştığında hücre bir tepki üretir. Hücrenin tepkisini artırıcı yöndeki girişler uyarıcı, azaltıcı yöndeki girişler ise önleyici girişler olarak söylenir ve bu etkiyi synapse belirler.

İnsan beyninin 10 milyar sinir hücresinden ve 60 trilyon synapse bağlantısından olduğu düşünülürse son derece karmaşık ve etkin bir yapı olduğu anlaşılmıştır. Diğer taraftan bir sinir hücresinin tepki hızı, günümüz bilgisayarlarına göre oldukça yavaş olmakla birlikte duyusal bilgileri son derecede hızlı değerlendirebilmektedir. Bu nedenle insan beyni; öğrenme, birleştirme, uyarlama ve genelleştirme yeteneği nedeniyle son derece karmaşık, doğrusal olmayan ve paralel dağılmış bir bilgi işleme sistemi olarak tanımlanabilir. (Haykin, 1994)

4.2 Yapay Sinir Ağı

Beynin üstün özellikleri, bilim adamlarını üzerinde çalışmaya zorlamış ve beynin nörofiziksel yapısından esinlenerek matematiksel modeli çıkarılmaya çalışılmıştır. Beynin bütün davranışlarını tam olarak modelleyebilmek için fiziksel bileşenlerinin doğru olarak

modellenmesi gerektiği düşüncesi ile çeşitli yapay hücre ve ağ modelleri geliştirilmiştir. Böylece Yapay Sinir Ağları denen yeni ve günümüz bilgisayarlarının algoritmik hesaplama yönteminden farklı bir bilim alanı ortaya çıkmıştır. Yapay sinir ağları; yapısı, bilgi işleme yöntemindeki farklılık ve uygulama alanları nedeniyle çeşitli bilim dallarının da kapsam alanına girmektedir.

Genel anlamda YSA, beynin bir işlevi yerine getirme yöntemini modellemek için tasarlanan bir sistem olarak tanımlanabilir. YSA, yapay sinir hücrelerinin birbirleri ile çeşitli şekillerde bağlanmasıından oluşur ve genellikle katmanlar şeklinde düzenlenir. Donanım olarak elektronik devrelerle yada bilgisayarlarda yazılım olarak gerçekleştirilebilir. Beynin bilgi işleme yöntemine uygun olarak YSA, bir öğrenme sürecinden sonra bilgiyi toplama, hücreler arasındaki bağlantı ağırlıkları ile bu bilgiyi saklama ve genelleme yeteneğine sahip karmaşık, doğrusal olmayan ve paralel dağılmış bir işlemcidir. [Haykin,1994] Öğrenme süreci, arzu edilen amaca ulaşmak için YSA ağırlıklarının yenilenmesini sağlayan öğrenme algoritmalarını içerir.

4.2.1 Yapay Sinir Ağlarının Özellikleri

Yukarıda verilen açıklamalardan, YSA'ının hesaplama ve bilgi işleme gücünü, paralel dağılmış yapısından, öğrenebilme ve genelleme yeteneğinden aldığı söylenebilir. Genelleme, eğitim yada öğrenme sürecinde karşılaşılmayan girişler için de YSA'ının uygun tepkileri üretmesi olarak tanımlanır. Bu üstün özellikleri, YSA'ının karmaşık problemleri çözebilme yeteneğini gösterir. Günümüzde birçok bilim alanında YSA, aşağıdaki özellikleri nedeniyle etkin olmuş ve uygulama yeri bulmuştur.

Doğrusal Olmama: YSA'ının temel işlem elemanı olan hücre doğrusal değildir. Dolayısıyla hücrelerin birleşmesinden meydana gelen YSA da doğrusal değildir ve bu özellik bütün ağa yayılmış durumdadır. Bu özelliği ile YSA, doğrusal olmayan karmaşık problemlerin çözümünde en önemli araç olmuştur.

Öğrenme: YSA'ının arzu edilen davranışını gösterebilmesi için amaca uygun olarak ayarlanması gereklidir. Bu, hücreler arasında doğru bağlantıların yapılması ve bağlantıların uygun ağırlıklara sahip olması gerektiğini ifade eder. YSA'ının karmaşık yapısı nedeniyle bağlantılar ve ağırlıklar önceden ayarlı olarak verilemez yada tasarlanamaz. Bu nedenle YSA, istenen davranışını gösterecek şekilde ilgilendiği problemden aldığı eğitim örneklerini

kullanarak problemi öğrenmelidir.

Genellemeye: YSA, ilgilendiği problemi öğrendikten sonra eğitim sırasında karşılaşmadığı test örnekleri için de arzu edilen tepkiyi üretebilir. Örneğin, karakter tanıma amacıyla eğitilmiş bir YSA, bozuk karakter girişlerinde de doğru karakterleri verebilir yada bir sistemin eğitilmiş YSA modeli, eğitim sürecinde verilmeyen giriş sinyalleri için de sistemle aynı davranışını gösterebilir.

Uyarlanabilirlik: YSA, ilgilendiği problemdeki değişikliklere göre ağırlıklarını ayarlar. Yani, belirli bir problemi çözmek amacıyla eğitilen YSA, problemdeki değişimlere göre tekrar eğitilebilir, değişimler devamlı ise gerçek zamanda da eğitime devam edilebilir. Bu özelliği ile YSA, uyarlamalı örnek tanıma, sinyal işleme, sistem tanılama ve denetim gibi alanlarda etkin olarak kullanılır.

Hata Toleransı: YSA, çok sayıda hücrenin çeşitli şekillerde bağlanmasıından dolayı paralel dağılmış bir yapıya sahiptir ve ağıın sahip olduğu bilgi, ağdaki bütün bağlantılar üzerine dağılmış durumdadır. Bu nedenle, eğitilmiş bir YSA'nın bazı bağlantılarının hatta bazı hücrelerinin etkisiz hale gelmesi, ağıın doğru bilgi üretmesini önemli ölçüde etkilemez. Bu nedenle, geleneksel yöntemlere göre hatayı tolere etme yetenekleri son derece yüksektir.

Donanım ve Hız: YSA, paralel yapısı nedeniyle büyük ölçekli entegre devre (VLSI) teknolojisi ile gerçekleştirilebilir. Bu özellik, YSA'nın hızlı bilgi işleme yeteneğini artırır ve gerçek zamanlı uygulamalarda arzu edilir.

Analiz ve Tasarım Kolaylığı: YSA'nın temel işlem elemanı olan hücrenin (Bölüm 4.3) yapısı ve bütün YSA yapılarında yaklaşık aynıdır. Dolayısıyla, YSA'nın farklı uygulama alanlarındaki yapıları da standart yapıdaki bu hücrelerden oluşacaktır. Bu nedenle, farklı uygulama alanlarında kullanılan YSA'ları benzer öğrenme algoritmalarını ve teorilerini paylaşabilirler. Bu özellik, problemlerin YSA ile çözümünde önemli bir kolaylık getirecektir.

4.2.2 Yapay Sinir Ağlarının Uygulama Alanları

Son yıllarda YSA'ları, özellikle günümüze kadar çözümü güç ve karmaşık olan yada ekonomik olmayan çok farklı alanlardaki problemlerin çözümüne uygulanmış ve genellikle başarılı sonuçlar alınabilmiştir. YSA'ları çok farklı alanlara uygulanabildiğinden bütün

uygulama alanlarını burada sıralamak zor olmakla birlikte genel bir sınıflandırma ile YSA'ın uygulama alanları aşağıdaki gibi 6 grup içerisinde toplanabilir.

Arıza Analizi ve Tespit: Bir sistemin, cihazın yada elemanın düzenli (doğru) çalışma şeklini öğrenen bir YSA yardımıyla bu sistemlerde meydana gelebilecek arızaların tanımlanma olanağı vardır. Bu amaçla YSA; elektrik makinelerinin, uçakların yada bileşenlerinin, entegre devrelerin v.s. arıza analizinde kullanılmıştır.

Tıp Alanında: EEG ve ECG gibi tıbbi sinyallerin analizi, kanserli hücrelerin analizi, protez tasarıımı, transplantasyon zamanlarının optimizasyonu ve hastanelerde giderlerin optimizasyonu v.s gibi uygulama yeri bulmuştur.

Savunma Sanayi: Silahların otomasyonu ve hedef izleme, nesneleri/görüntüleri ayırma ve tanıma, yeni algılayıcı tasarımı ve gürültü önleme v.s gibi alanlara uygulanmıştır.

Haberleşme: Görüntü ve veri sıkıştırma, otomatik bilgi sunma servisleri, konuşmaların gerçek zamanda çevirisini v.s gibi alanlarda uygulama örnekleri vardır.

Üretim: Üretim sistemlerinin optimizasyonu, ürün analizi ve tasarımı, ürünlerin (entegre, kağıt, kaynak v.s.) kalite analizi ve kontrolü, planlama ve yönetim analizi v.s. alanlarına uygulanmıştır.

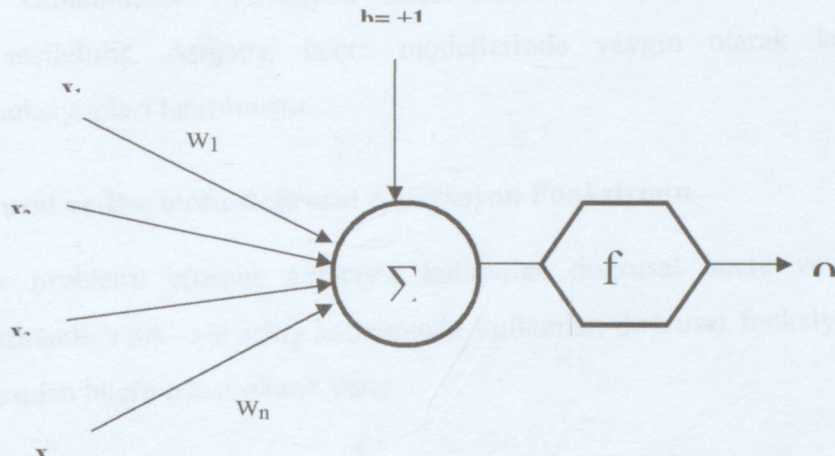
Otomasyon ve Kontrol: Uçaklarda otomatik pilot sistemi otomasyonu, ulaşım araçlarında otomatik yol bulma/gösterme, robot sistemlerin kontrolü, doğrusal olmayan sistem modelleme ve kontrolü, elektrikli sürücü sistemlerin kontrolü v.s. gibi yaygın bir uygulama yeri bulmuştur.

4.3 Yapay Sinir Ağı Hücresi

Temel bir yapay sinir ağı hücresi biyolojik sinir hücrebine göre çok daha basit bir yapıya sahiptir. En temel nöron modeli aşağıdaki şekilde görülmektedir. Yapay sinir ağı hücresinde temel olarak dış ortamdan ya da diğer nöronlardan alınan veriler yani girişler, ağırlıklar, toplama fonksiyonu, aktivasyon fonksiyonu ve çıkışlar bulunmaktadır.

Dış ortamdan alınan veri, ağırlıklar aracılığıyla nörona bağlanır ve bu ağırlıklar ilgili girişin etkisini belirler. Toplam fonksiyonu ise net girişi hesaplar. Net giriş, ağıın girişleriyle ilgili ağırlıkların çarpımının bir sonucudur. Aktivasyon fonksiyonu işlem süresince net çıkışını

hesaplar ve bu işlem aynı zamanda nöron çıkışını verir. Genelde aktivasyon fonksiyonu doğrusal olmayan (nonlinear) bir fonksiyondur. Şekilde görülen b bir sabittir, *bias* veya aktivasyon fonksiyonunun eşik değeri olarak adlandırılır. Genellikle ± 1 değerini alır. Nöronun matematiksel modeli ise şöyle elde edilir.



Şekil 4.3 Temel yapay sinir ağı hücresi

$$o = f(W \cdot X + b) \quad (4.1)$$

şeklinde nöron çıkışı hesaplanır. Buradaki W ağırlıklar matrisi, X ise girişler matrisidir.

n giriş sayısı olmak üzere;

$$W = w_1, w_2, w_3, \dots, w_n$$

$$X = x_1, x_2, x_3, \dots, x_n$$

şeklindedir. Buna göre çıkış fonksiyonu:

$$net = \sum_{i=1}^n w_i x_i + b \quad (4.2)$$

$$o = f(net) \quad (4.3)$$

$$o = f\left(\sum_{i=1}^n w_i x_i + b\right) \quad (4.4)$$

şeklinde de yazılabilir.

Yukarıdaki formülde görülen f aktivasyon fonksiyonudur. Genelde non-lineer olan aktivasyon fonksiyonunun çeşitli tipleri vardır.

4.4 Aktivasyon Fonksiyonları

Hücre modellerinde, hücrenin gerçekleştireceği işlevé göre çeşitli tipte aktivasyon fonksiyonları kullanılabilir. Aktivasyon fonksiyonları sabit parametrelî yada uyarlanabilir parametrelî seçilebilir. Aşağıda, hücre modellerinde yaygın olarak kullanılan çeşitli aktivasyon fonksiyonları tanıtılmıştır

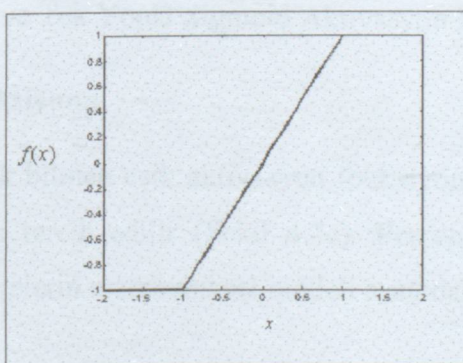
4.4.1 Doğrusal ve Doyumlu-doğrusal Aktivasyon Fonksiyonu

Doğrusal bir problemi çözmek amacıyla kullanılan doğrusal hücre ve YSA' da yada genellikle katmanlı YSA' nın çıkış katmanında kullanılan doğrusal fonksiyon, hücrenin net girdisini doğrudan hücre çıkışı olarak verir.

Doğrusal aktivasyon fonksiyonu matematiksel olarak $f(x)=x$ şeklinde tanımlanabilir. Doyumlu doğrusal aktivasyon fonksiyonu ise aktif çalışma bölgesinde doğrusaldır ve hücrenin net girdisinin belirli bir değerinden sonra hücre çıkışını doyuma götürür. Doyumlu doğrusal aktivasyon fonksiyonunun matematiksel ifadesi:

$$f(x) = \begin{cases} 1 & ; \quad x > 1 \\ x & ; \quad -1 < x > 1 \\ -1 & ; \quad x < -1 \end{cases} \quad (4.5)$$

birimindedir ve grafiği Şekil 4-a' da görülmektedir.



Şekil 4.4a Doyumlu-doğrusal Aktivasyon Fonksiyonu

4.4.2 Sigmoid Aktivasyon Fonksiyonu

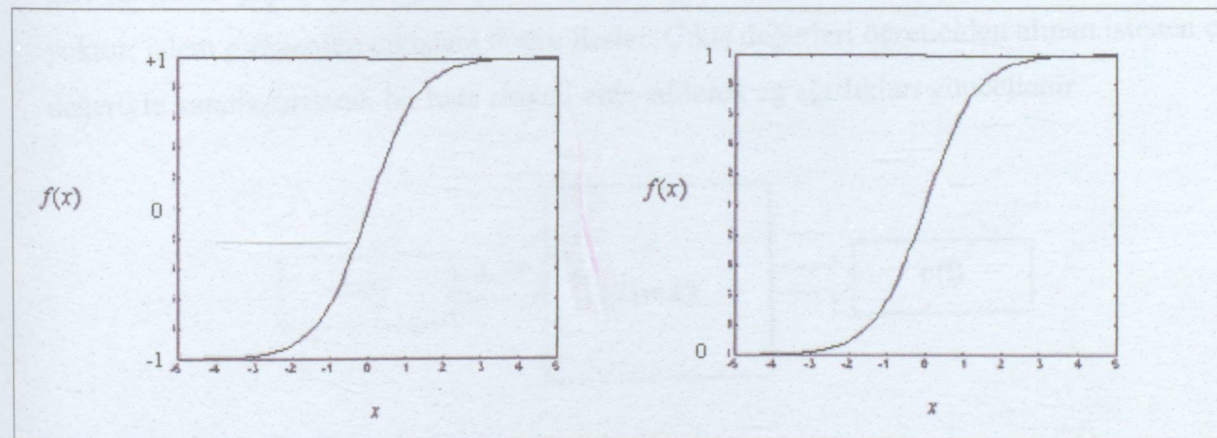
Şekil 4-b' de grafiği verilen çift yönlü *sigmoid (tanh)* fonksiyonu, türevi alınabilir, sürekli ve doğrusal olmayan bir fonksiyon olması nedeniyle doğrusal olmayan problemlerin çözümünde kullanılan YSA' da tercih edilir. Çift yönlü sigmoid fonksiyonun tanımı:

$$f(x) = \tanh(x) = \frac{e^x - e^{-x}}{e^x + e^{-x}} \quad (4.6)$$

şeklinde iken tek yönlü *sigmoid* fonksiyonunun (Şekil 4-b) matematiksel ifadesi ise aşağıdaki gibidir.

$$f(x) = \text{sigmoid}(x) = \frac{1}{1 + \exp(-\beta \cdot x)} \quad (4.7)$$

Burada β eğim sabiti olup genellikle birim olarak seçilmektedir.

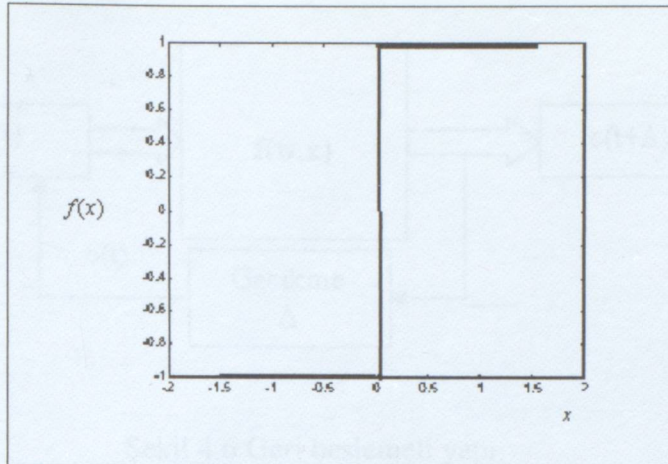


Şekil 4.4b Çift ve Tek Yönlü Sigmoid Aktivasyon Fonksiyonları

4.4.3 Eşik Aktivasyon Fonksiyonu

McCulloch-Pitts modeli olarak bilinen eşik aktivasyon fonksiyonlu hücreler, mantıksal çıkış verir ve sınıflandırıcı ağlarda tercih edilir (Şekil 4.4c). Perceptron (Algılayıcı) olarak da söylenen eşik fonksiyonlu hücrelerin matematiksel modeli aşağıdaki gibi tanımlanabilir.

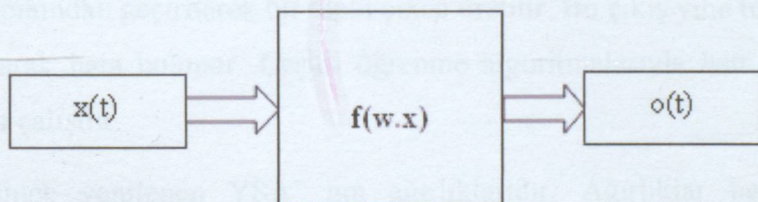
$$f(x) = \begin{cases} 1 & x \geq 0 \\ -1 & x < 0 \end{cases} \quad (4.8)$$



Şekil 4.4c Eşik aktivasyon fonksiyonu

4.5 Yapay Sinir Ağ Modelleri

En basit ve en genel yapay sinir ağları tek yönlü sinyal akışını kullanırlar. Yapay sinir ağ modelleri temel olarak iki grupta toplanmaktadır. Bunlar, İleri beslemeli yapay sinir ağları ve geri beslemeli yapay sinir ağları şeklindedir.. İleri beslemeli yapay sinir ağlarında gecikmeler yoktur; işlem girişlerden çıkışlara doğru ilerler. Çıkış değerleri öğreticiden alınan istenen çıkış değeriyle karşılaştırılarak bir hata sinyali elde edilerek ağ ağırlıkları güncellenir

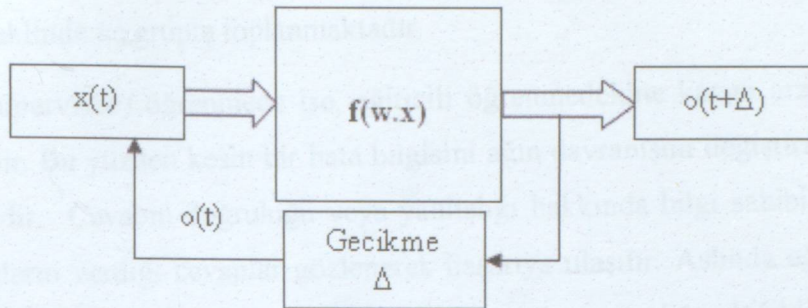


Şekil 4.5 İleri Beslemeli Yapı

Geri beslemeli yapay sinir ağlarında ise tipki kontrol uygulamalarında olduğu gibi gecikmeler söz konusudur. Geri beslemeli nöral ağ, çıkışlar girişlere bağlanarak ileri beslemeli bir ağdan elde edilir. Ağın t anındaki çıkışı $o(t)$ ise, $t + \Delta$ anındaki çıkışı $o(t + \Delta)$ şeklinde ifade edilir. Buradaki Δ sabiti gecikme süresini simgelemektedir. İleri beslemeli YSA notasyonu kullanılarak :

$$o(t + \Delta) = f[W \cdot o(t)] \quad (4.9)$$

şeklinde Geri Beslemeli YSA'ının çıkışı tanımlanır. Dikkat edilmesi gereken nokta başlangıç anında $x(t)$ 'ye ihtiyaç duyulmasıdır. Başlangıç anında $o(0) = x(0)$ olmaktadır.



Şekil 4.6 Geri beslemeli yapı.

4.6 Yapay Sinir Ağlarının Eğitilmesi

İnsan beyni doğumdan sonraki gelişme sürecinde çevresinden duyu organlarıyla algıladığı davranışları yorumlar ve bu bilgileri diğer davranışlarında kullanır. Yaşadıkça beyin gelişir ve tecrübelenir. Artık olaylar karşısında nasıl tepki göstereceğini çoğu zaman bilmektedir. Fakat hiç karşılaşmadığı bir olay karşısında yine tecrübesiz kalabilir.

Yapay sinir ağlarının öğrenme sürecinde de, tipki dış ortamdan gözle veya vücudun diğer organlarıyla uyarıların alınması gibi dış ortamdan girişler alınır, bu girişlerin beyin merkezine iletilerek burada değerlendirilip tepki verilmesi gibi yapay sinir ağında da aktivasyon fonksiyonundan geçirilerek bir tepki çıkışı üretilir. Bu çıkış yine tecrübeyle verilen çıkışla karşılaştırılarak hata bulunur. Çeşitli öğrenme algoritmalarıyla hata azaltılıp gerçek çıkışa yaklaşılmaya çalışılır.

Bu çalışma süresince yenilenen YSA'nın ağırlıklarıdır. Ağırlıklar her bir çevrimde yenilenerek amaca ulaşımaya çalışılır. Amaca ulaşmanın veya yaklaşmanın ölçüsü de yine dışarıdan verilen bir değerdir. Eğer YSA verilen giriş-çıkış çiftleriyle amaca ulaşmış ise ağırlık değerleri saklanır. Ağırlıkların sürekli yenilenip istenilen sonuca ulaşılana kadar geçen zamana öğrenme adı verilir. Yapay sinir ağı öğrendikten sonra daha önce verilmeyen girişler verilip, sinir ağı çıkışıyla gerçek çıkışyı yaklaşımı incelenir. Eğer yeni verilen örneklerde doğru yaklaşıyorsa sinir ağı işi öğrenmiş demektir. Genellikle mevcut örneklerin yüzde sekseni ağa verilip ağ eğitilir, daha sonra geri kalan yüzde yirmilik kısım verilip ağun davranışını incelenir diğer bir deyişle ağ böylece test edilir.

4.7 Yapay Sinir Ağlarında Öğrenme Algoritmaları

1990'lı yillardan bugüne gelinceye kadar birçok öğrenme algoritması geliştirilmiştir.

Öğrenme algoritmaları temelde: Eğiticisiz öğrenme, takviyeli öğrenme ve eğiticili öğrenme algoritmaları şeklinde üç grupta toplanmaktadır.

Eğiticisiz (unsupervised) öğrenmede ise, eğiticili öğrenmedekine karşın arzu edilen çıkışlar bilinmemektedir. Bu yüzden kesin bir hata bilgisini ağıń davranışını değiştirmekte kullanmak mümkün değildir. Cevabın doğruluğu veya yanlışlığı hakkında bilgi sahibi olunmadığı için öğrenme, girişlerin verdiği cevaplar gözlenerek başarıya ulaşılır. Aslında eğiticisiz öğrenme demek doğru değildir, çünkü eğiticisiz öğrenme gerçekte mümkün değildir. Eğiticinin her öğrenme adımında dahil olmamasına rağmen, amaçları ayarlamaktadır.

Takviyeli (reinforcement) öğrenmede, ağıń davranışının uygun olup olmadığını belirten bir öz yetenek bilgisine ihtiyaç duyulur. Bu bilgiye göre ağırlıklar ayarlanır. Gerçek zamanda öğrenme yöntemi olup deneme-yanılma esasına göre sinir ağı eğitilmektedir.

Eğiticili (supervised) öğrenmede ise, her bir örneklemeye zamanında giriş uygulandığında sistemin arzu edilen cevabı y eğitici tarafından sağlanır. Arzu edilen çıkış ile sinir ağı çıkışları arasındaki fark hata ölçüsüdür ve ağı parametrelerini güncellemeye kullanılır. Ağırlıkların güncellenmesi süresince eğitici ödüllendirme-cezalandırma şemasını ağa uygulayarak hatayı azaltır. Bu öğrenme modelinde giriş ve çıkış örnekleri kümesi eğitim kümesi olarak adlandırılır.

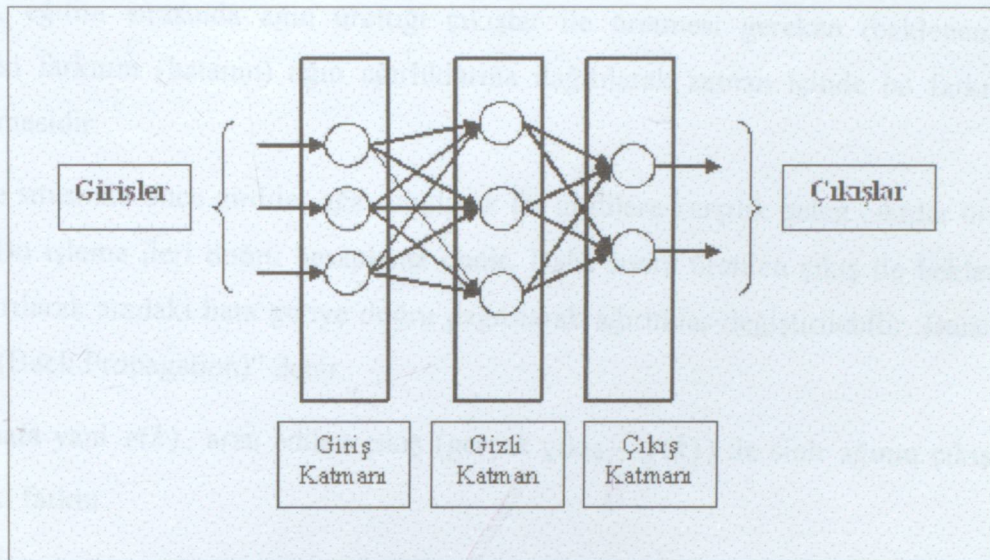
Geriye yayılım (Back Propagation) algoritması, eğiticili öğrenmede kullanılan en genel algoritmadır. Basit olması ve iyi bir öğrenme kapasitesine sahip olması birçok alana uygulanmasını sağlamıştır. Bu özelliği sayesinde farklı türdeki eğiticili öğrenme algoritmalarına göre daha az bellek elemanına ihtiyaç duymaktadır. Öte yandan standart geriye yayılım algoritması sonuca yavaş ulaşmakta ve lokal minimuma yakalanma riski taşımaktadır. Bu yüzden sonuca hızlı bir şekilde ulaşabilen ama hatanın geriye yayıldıkları ağırlıkların güncellendiği algoritmala gereksinim vardır.

Bu çalışmada propagasyon ortamındaki yol kaybının YSA kullanarak modellenmesinde (5. Bölüm) sonuca hızlı ve verimli bir şekilde ulaşabilen Lavenberg-Marquardt algoritması kullanılmaktadır. Bu algoritmanın tanıtımından önce Çok Katmanlı Algılayıcı (ÇKA) modeli ve standart geriye yayılım algoritması anlatılacaktır.

4.7.1 Çok Katmanlı Algılayıcı (ÇKA)

Yapay Sinir Ağlarının ilk modelleri doğrusal olan olayları çözebilme yeteneğine sahiplerdir.

Bu ağlar ile doğrusal olmayan ilişkiler öğrenilememektedir. Bu sorunu çözmek için Çok Katmanlı Algılayıcılar (ÇKA) geliştirilmiştir. Bu ağlar Şekil 4.7' de görüleceği üzere genellikle 3 katmandan oluşurlar.



Şekil 4.7 İleri beslemeli Çok Katmanlı Algılayıcı

Giriş katmanı: Dış dünyadan bilgileri alır. Bu katmanda herhangi bir bilgi işleme olmaz.

Gizli (Ara) katmanlar: Giriş katmanından gelen bilgileri işlerler. Bir adet ara (gizli) katman ile bir çok problemi çözmek mümkündür. Eğer ağın öğrenmesi istenen problemin giriş/çıkış arasındaki ilişkisi doğrusal olmaz ve karmaşıklık artarsa birden fazla gizli katman da kullanılabilir.

Çıktı katmanı: Ara katmandan gelen bilgileri işleyerek ağa girdi katmanından sunulan giriş için ağın ürettiği çıkışı bulur. Bu çıkış dış dünyaya iletılır.

Giriş ve çıkış katmanlarında kaç tane işlem elemanın olması gerekiğine probleme bakılarak karar verilir. Ara katman sayısı ve her ara katmandaki proses elemanının kaç tane olması gerektiğini gösteren bir yöntem yoktur. Bu parametre değerleri deneme-yanılma yoluyla belirlenmektedir. Giriş katmanındaki işlem elemanlarının her birisi ara katmandaki işlem elemanlarının hepsine bağlıdır. Onlar da çıkış katmanındaki işlem elemanlarının hepsine bağlıdır. Bilgi akışı giriş katmanından gizli katmana; oradan da çıkış katmanına ileri doğrudur.

4.7.2 Geriye Yayılım Algoritması

ÇKA ağları eğiticili öğrenme stratejileri kullandıklarından eğitim sırasında hem girdiler hem de o girdilere karşı ağıın üretmesi gereken çıktılar ağa gösterilirler. Kullanılan eğitim ağıının felsefesi, eğitim sırasında ağıın ürettiği çıkışlar ile üretmesi gereken (beklenen) çıkışlar arasındaki farkının (hatanın) ağıın ağırlıklarına dağıtılarak zaman içinde bu farkın en aza indirgenmesidir.

Öğrenme sırasında önce girdiler ağa sunularak bu girdilere karşılık gelen çıktılar üretilir.(4.4 ifadesi) Bu işleme ileri doğru hesaplama denir. Daha sonra üretilen çıkış ile beklenen çıkış karşılaştırılarak aradaki hata geriye doğru dağıtılarak ağırlıklar değiştirilebilir. Buna “Geriye Yayılım (Back Propagation)” denir.

Burada hata yani $e(k)$, arzu edilen çıkış (gerçek çıkış - $y(k)$) ile sinir ağıının çıkışı ($o(k)$) arasındaki farktır.

$$e(k) = y(k) - o(k) \quad (4.10)$$

Şekil 4.7'deki ÇKA ağ yapısı düşünüldüğünde:

$k+1$. katmanda i . birime net giriş;

$$n^{k+1}(i) = \sum_{j=1}^{Sk} w^{k+1}(i, j)o^k(j) + b^{k+1}(i) \quad (4.11)$$

Birim i 'nin çıkışı şöyle olacaktır.

$$o^{k+1}(i) = f^{k+1}(n^{k+1}(i)) \quad (4.12)$$

M katmanlı bir ağ matris biçiminde ifade edilirse;

$$o^0 = x \quad (4.13)$$

$$o^{k+1} = f^{k+1}(W^{k+1}o^k + b^{k+1})$$

$k = 0, 1, \dots, M-1 \quad (4.14)$

Ağıın temel görevi giriş-çıkış çiftleri arasındaki ilişkiyi öğrenmektedir.

$$\{(x_1, y_1), (x_2, y_2), \dots, (x_Q, y_Q)\}$$

Ağıın performansı şöyledir;

$$E = \frac{1}{2} \sum_{q=1}^Q (y_q - o_q^M)^T (y_q - o_q^M) = \frac{1}{2} \sum_{q=1}^Q e_q^T e_q \quad (4.15)$$

Buradaki o_q^M , q. giriş x_q olduğunda ağıın çıkışıdır, $e_q = y_q - o_q^M$ ise q. girişin hatasıdır. Standart geri yayının algoritması için yaklaşık adım düşümü algoritmasını kullanır. Performans indeksiyle şöyle yaklaşılır;

$$E = \frac{1}{2} e_q^T e_q \quad (4.16)$$

burada toplam karelerin toplamı tek giriş-çıkış çifti için karesel hatayla yer değiştirilir. Yaklaşık adım (eğim) düşümü algoritması bundan sonra şöyle olur;

$$\Delta w^k(i, j) = -\alpha \frac{\partial E}{\partial w^k(i, j)} \quad (4.17)$$

$$\Delta b^k(i) = -\alpha \frac{\partial E}{\partial b^k(i)} \quad (4.18)$$

burada α öğrenme oranıdır, şöyle tanımlanır;

$$\delta^k(i) \equiv \frac{\partial E}{\partial n^k(i)} \quad (4.19)$$

performans indeksinin duyarlılığı k.katmanda i. birimin net girişinde değiştirilir. Şimdi (4.11),(4.16) ve (4.19) kullanılarak,

$$\frac{\partial E}{\partial w^k(i, j)} = \frac{\partial E}{\partial n^k(i)} \frac{\partial n^k(i)}{\partial w^k(i, j)} = \delta^k(i) o^{k-1}(j) \quad (4.20)$$

$$\frac{\partial E}{\partial b^k(i)} = \frac{\partial E}{\partial n^k(i)} \frac{\partial n^k(i)}{\partial b^k(i)} = \delta^k(i) \quad (4.21)$$

Hassaslık yeterliği aşağıdaki yinelemeli ilişkiye de gösterilebilir.

$$\delta^k = F^k(n^k) W^{k+1} \delta^{k+1} \quad (4.22)$$

burada;

$$\bar{F}^k(n^k) = \begin{bmatrix} f^k(n^k(1)) & 0 & \dots & 0 \\ 0 & f^k(n^k(2)) & \dots & 0 \\ \vdots & \ddots & \ddots & \ddots \\ 0 & 0 & \dots & f^k(n^k(Sk)) \end{bmatrix} \quad (4.23)$$

ve

$$f^k(n) = \frac{df^k(n)}{dn} \quad (4.24)$$

$$\delta^M = -\bar{F}^M(n^M)(y_q - o_q) \quad (4.25)$$

Tüm öğrenme algoritmalarında şu adımlar izlenir. İlk önce (4.13) ve (4.14) kullanılarak giriş ileri yönde yayılır, sonra (4.25) ve (4.22) kullanılarak geri yayılır ve son olarak ağırlıklar ve denge (4.17), (4.18), (4.20) ve (4.21) kullanılarak güncellenir.

Momentum katsayısı:

Standart Geriye Yayılım Algoritmasının yerel minimum noktalara takılıp performansının etkilenme olasılığı bulunmaktadır. Bu olumsuzluğu engelleyebilmek için hatanın geriye yayılması sırasında ağırlık değişimine bir önceki ağırlık değerinin etkisini gösteren “Momentum katsayı” adı verilen bir parametre daha eklenir. mc momentum katsayısı olmak üzere k . ağırlık matrisinin *yeni durumu*:

$$W^k_{\text{yeni}} = mcW^{k-1} + (1 - mc)W^k \quad (4.26)$$

şeklini alacaktır.

4.7.3 Levenberg- Marquardt Algoritması

Geri yayınım algoritması (GYA) çok kullanılmasına rağmen bazı dezavantajları bulunmaktadır. GYA sonuca çok yavaş olarak yaklaşmaktadır. Ayrıca yerel minimuma yakalanma riski de vardır. Geri yayınım, bir adım düşme algoritmasıken, Levenberg - Marquardt (LM) algoritması Newton metoduna bir yaklaşımındır. LM algoritması, Newton metodunun hızıyla, adım düşme metodunun sağlamlığını bileşkesidir. (Lourakis, 2005)

LM öğrenme algoritması minimumu araştırma metodlarının ikincisidir. Her bir iterasyon adımda hata yüzeyine parabolik yaklaşımla yaklaşılır ve parabolün minimumu o adım için çözümü oluşturur. $E(x)$ fonksiyonuna sahip olduğumuzu ve x parametresine göre minimize etmek istediğimizi düşünelim. Newton metodunda şöyle olacaktır.

$$\Delta x = -[\nabla^2 E(x)]^{-1} \nabla E(x) \quad (4.27)$$

burada $\nabla^2 E(x)$ ifadesi Hessian matrisidir ve $\nabla E(x)$ ise eğimdir. $E(x)$ 'in karelerin toplamı fonksiyonu olduğunu farz edelim.

$$E(x) = \sum_{i=1}^N e_i^2(x) \quad (4.28)$$

bundan sonra şöyle gösterilebilir.

$$\nabla E(x) = J^T(x)e(x) \quad (4.29)$$

$$\nabla^2 E(x) = J^T(x)J(x) + S(x) \quad (4.30)$$

burada $J(x)$ Jacobian matrisidir.

$$J(x) = \begin{bmatrix} \frac{\partial e_1(x)}{\partial x_1} & \frac{\partial e_1(x)}{\partial x_2} & \dots & \frac{\partial e_1(x)}{\partial x_n} \\ \frac{\partial e_2(x)}{\partial x_1} & \frac{\partial e_2(x)}{\partial x_2} & \dots & \frac{\partial e_2(x)}{\partial x_n} \\ \dots & \dots & \dots & \dots \\ \frac{\partial e_N(x)}{\partial x_1} & \frac{\partial e_N(x)}{\partial x_2} & \dots & \frac{\partial e_N(x)}{\partial x_n} \end{bmatrix} \quad (4.31)$$

ve

$$S(x) = \sum_{i=1}^N e_i(x) \nabla^2 e_i(x) \quad (4.32)$$

Gauss-Newton metodu için $S(x) \approx 0$ kabul edilir ve (4.27) güncellenenerek şu hale gelir.

$$\Delta x = [J^T(x)J(x)]^{-1} J^T(x)e(x) \quad (4.33)$$

Levenberg-Marquardt modifikasyonuyla Gauss-Newton metodu şöyle olur.

$$\Delta x = [J^T(x)J(x) + \mu I]^{-1} J^T(x)e(x) \quad (4.34)$$

μ parametresi bir adımda $E(x)$ artımı sonucunda bir faktörle (β) ile çarpılır, bir adım $E(x)$ azaltışında β 'ya bölünür. μ büyükse algoritma adım düşümü ($1/\mu$ adımı ile) olur, küçük μ parametresi için algoritma Gauss-Newton adını alır.

Bu algoritmadaki anahtar adım Jacobian matrisinin hesaplanmasıdır. Yapay sinir ağı tasarım probleminde Jacobian matristeki terimler geri yayılım algoritmasının basitçe değiştirilmesiyle hesaplanabilir. Tasarım problemi için performans indeksi (4.15)'te verilmiştir. Bu, (4.28)'deki eşitlikte kolayca görülebilir.

Burada $x = [w^1(1,1)w^1(1,2)\dots w^1(S1,R)b^1(S1)w^2(1,1)\dots b^M(SM)]^T$ ve $N = Q \times SM$ şeklindedir.

Standart geri yayınım algoritması terimleri şöyle hesaplanır;

$$\frac{\partial E}{\partial w^k(i,j)} = \frac{\partial \sum_{m=1}^{SM} e_q^2(m)}{\partial w^k(i,j)} \quad (4.35)$$

Levenberg-Marquardt algoritması için Jacobian matrisin elemanları şöyle hesaplanabilir.

$$\frac{\partial e_q(m)}{\partial w^k(i,j)} \quad (4.36)$$

bu terimler standart geri yayınım algoritması kullanılarak son katmanda bir değişiklikle hesaplanabilir.

$$\Delta^M = -F^M(n^M) \quad (4.37)$$

(4.37)'deki matrisin her bir kolonu bir vektördür, Jacobianın bir satırını üretmek için ağ geri yayınılmalıdır.

Sonuç olarak Levenberg-Marquardt algoritması çok hızlı olarak optimum çözüme ulaşmasına rağmen çok fazla bellek gerektirmektedir. Geri yayılım algoritması ise sonuca yavaş ulaşmakta ve daha az bellek gerektirmektedir.

5. BİNAİÇİ PROPAGASYONUN YAPAY SİNİR AĞLARI KULLANILARAK MODELLENMESİ

Kablosuz haberleşme sistemlerinde bina içi propagasyon yol kayıplarının modellenmesi, sistemin işlerliği ve kapsama alanının (menzilinin) belirlenmesi açısından çok önemlidir. Bina içi ortamlarda yol kaybı kestirimi için geliştirilen çeşitli amprik ve deterministik modeller üçüncü bölümde tanıtılmıştır. Bu modellere alternatif bir çözüm sunması; çok sayıda gerçek ölçüm verisini hızla işleyebilmesi; karmaşık ve farklı sistemlere uyarlanıp çözümleme yapabilmesi nedeniyle yol kaybı modellemelerinde Yapay Sinir Ağları (YSA) da kullanılabilir olmuştur. (Popescu,2002)

Bu bölümde gerçek bir bina içi ortamda çalışan Kablosuz Yerel Alan Ağrı'na ilişkin propagasyon yol kaybının YSA ile kestiriminde izlenen adımlar ortaya konmuştur. Öncelikle propagasyon ortamı tanıtılarak YSA uygulamasının giriş ve çıkış verilerini oluşturan konum bilgisi ve Elektrik Alan Şiddeti ölçüm değerlerinin elde edilme yöntemleri açıklanmıştır. Daha sonra YSA modelinin eğitim ve test kümlesi ile tasarım parametreleri belirlenerek Lavenberg-Marquardt öğrenme algoritmasının sonuçları, genel KAA alıcılarının yükseklik seviyesi olan 100 cm değeri için Elektrik Alan şiddetinin ve güç dağılımı haritaları şeklinde verilmiştir. Güç dağılımlarından yararlanılarak yol kayıp değerleri ve modellemenin 3. bölümde verilen yöntemlerle karşılaştırmaları ortaya konmuştur.

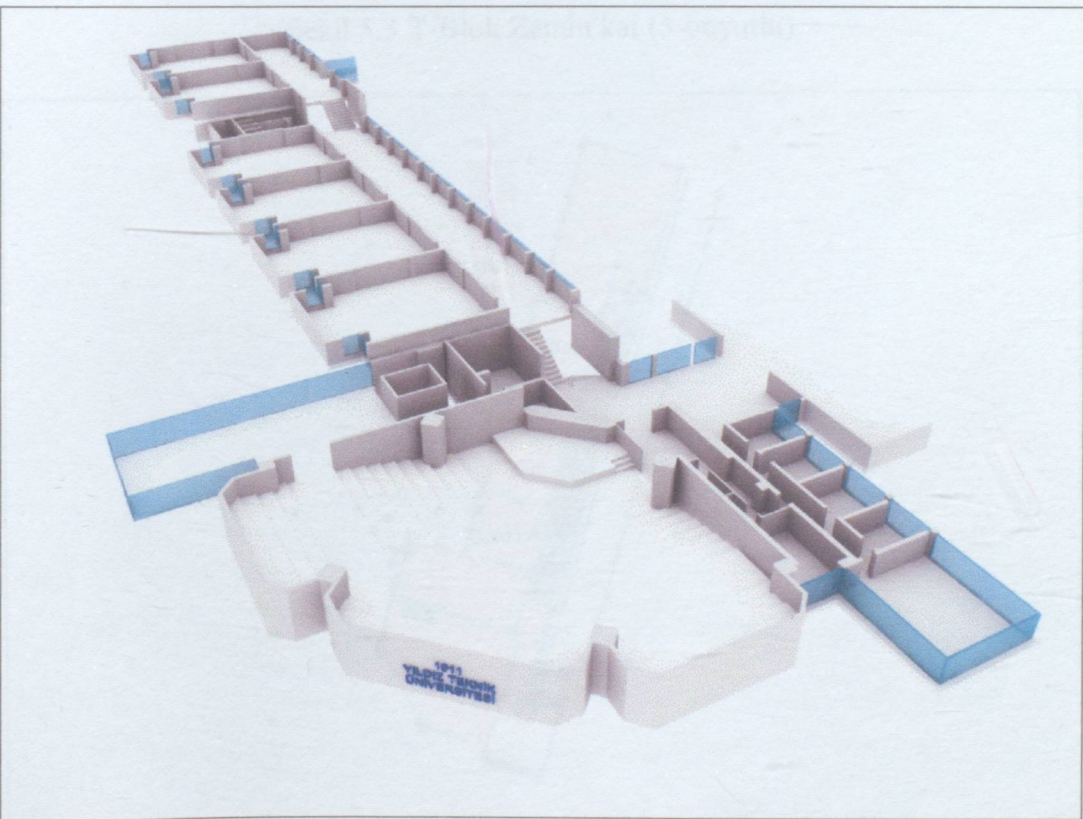
5.1 Propagasyon Ortamı

Bina içi yol kayıp hesaplarının modellendiği propagasyon ortamı, Yıldız Teknik Üniversitesi (YTÜ) Beşiktaş Yerleşkesi (Şekil 5.1) içinde bulunan T-Blok (Şekil 5.2) zemin kat koridorudur. Aynı zamanda GSM Test ve Ölçüm Laboratuvarı'nın da bulunduğu bu koridorda (Şekil 5.3) düz zemin boyunca ortamı tanımlayan noktalar belirlenmiş; belirlenen noktalarda çeşitli yükseklikler için Elektrik Alan Şiddeti ölçümleri yapılmıştır. Ölçümler sırasında GSM Test ve Ölçüm Laboratuvarı aktif konumda değildir.

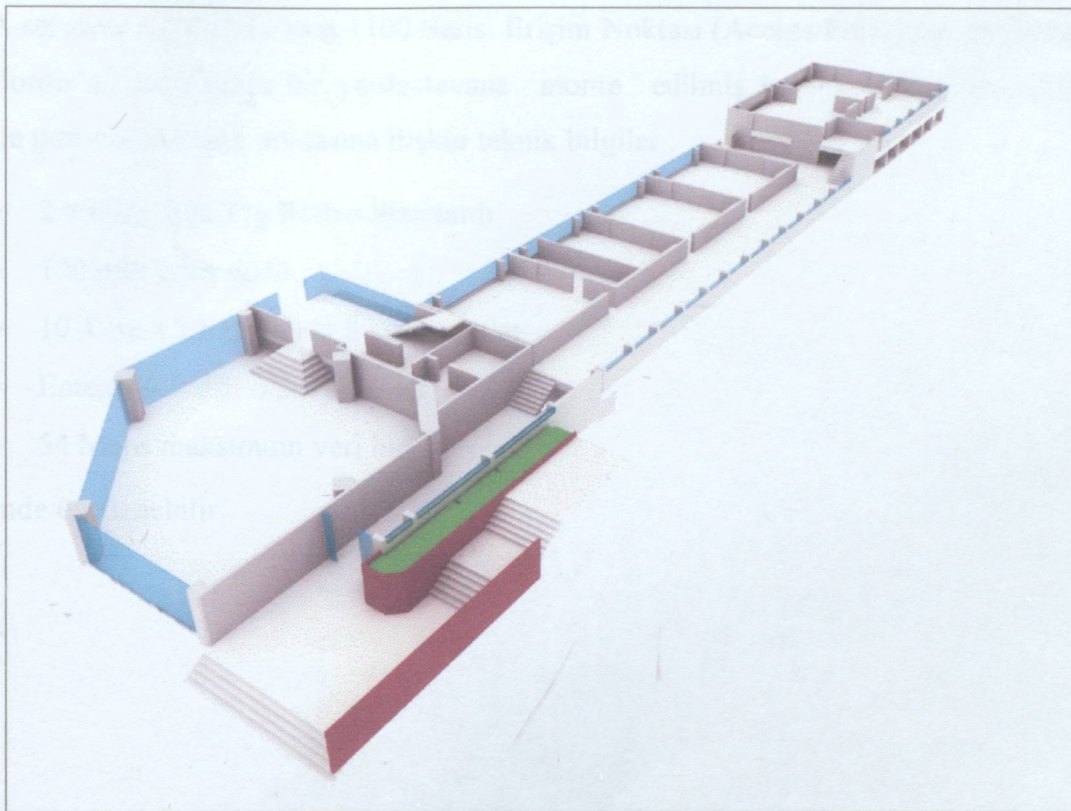
GSM LAB.ve birimleri , duvarlar, kapı ve pencereler, kalorifer petekleri, tesisat boruları, tavan ve zemin gibi farklı yapı malzemelerinin ortamda bulunmasından dolayı, koridorda yol kaybı hesabının deterministik yöntemlerle modellenmesi oldukça zordur. Bu yüzden koridorda Elektromanyetik güç yayılımının tanımlanabilmesi için Elektrik Alan ölçümleri yapılmıştır.



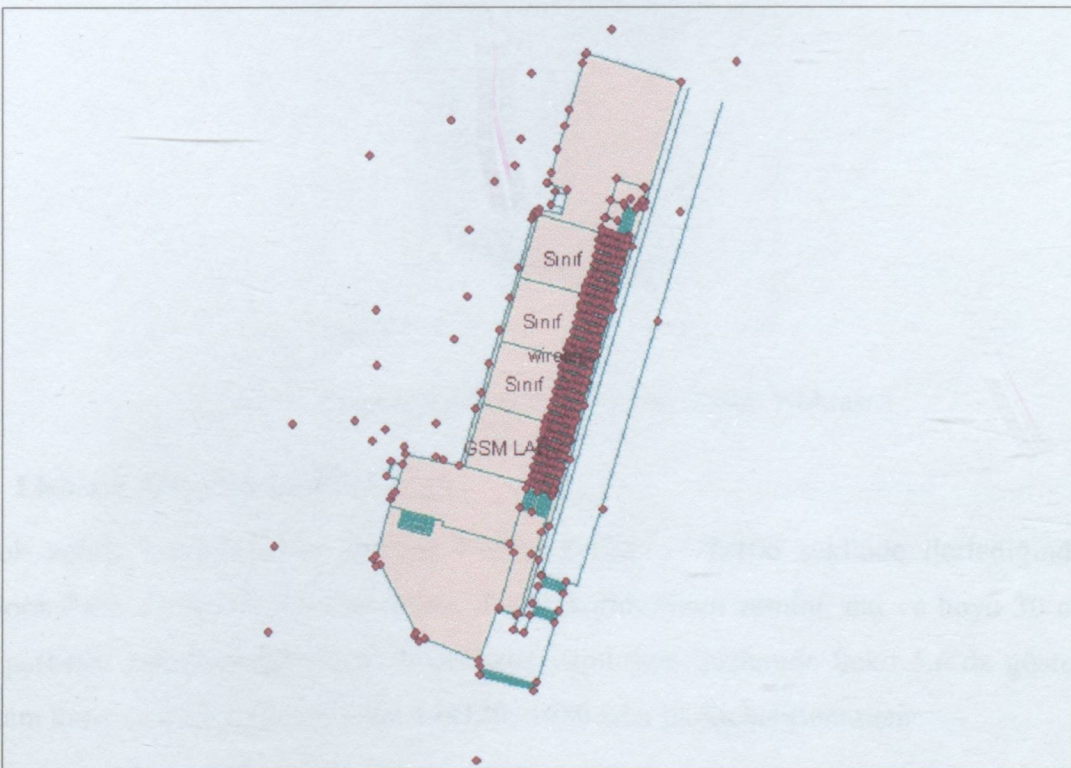
Şekil 5.1 YTÜ Yıldız Yerleşkesi



Şekil 5.2 T-Blok Genel Görünüm



Şekil 5.3 T-Blok Zemin kat (3-boyutlu)



Şekil 5.4 T-Blok Zemin kat (2-boyutlu)

KAA servisini sağlayan Cisco 1100 Serisi Erişim Noktası (Access Point) ise, duvar tarafında koridorun ortasına yakın bir yerde tavana monte edilmiş konumdadır. (Şekil 5.4) Şekil 5.5'de gösterilen erişim noktasına ilişkin teknik bilgiler :

- 2.4 GHz 802.11g Radyo Standardı
- 100 mW çıkış gücü
- 10.4 cm x 20.5 cm x 3.8 cm boyutlar
- Entegre 2.2 dBi dipol antenler
- 54 Mbps maksimum veri hızı

şeklinde özetlenebilir.



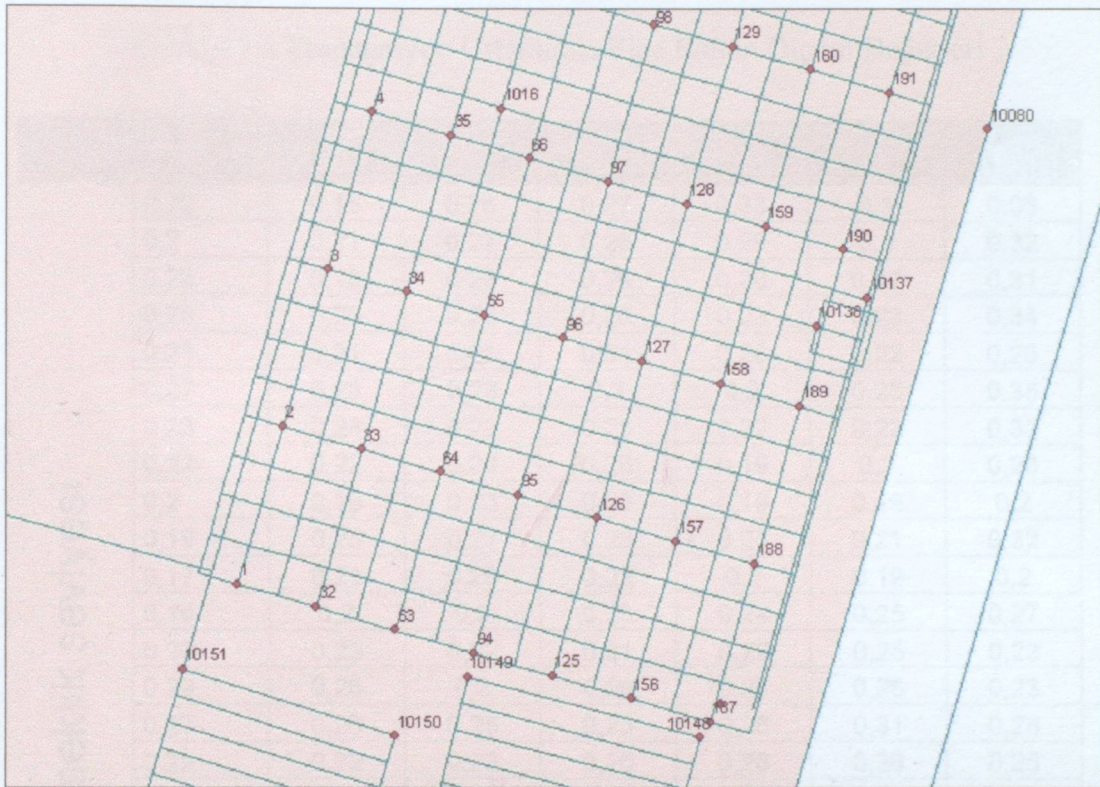
Şekil 5.5 Cisco Aironet 1100 Serisi Erişim Noktası

5.2 Elektrik Alan Şiddeti Ölçümleri

T-Blok zemin katta bulunan sınıflar T-101, T-102,..., T-106 şeklinde ilerlediğinden bu koridora *T-10x Koridoru* adı verilmiştir. T-10x koridorunun zemini; eni ve boyu 30 cm' lik kare parkeler halinde döşenmiştir. Ölçekleme yapılrken düzlemde Şekil 5.6'da gösterildiği gibi tam kare parkelerin oluşturduğu **$14 \times 120 = 1680$** adet parke belirlenmiştir.

Koridorun girişi ile GSM LAB. duvarının kesiştiği ilk parkenin köşesi “1” numaralı ölçüm noktası olarak seçilmiş ve öncelikle koridor boyunca 120 cm (4 parke); sonra da duvara doğru

60 cm (2 parke) aralıklarla diğer noktalar belirlenmiştir. Böylelikle tüm düzlemi tanımlayan $7 \times 31 = 217$ adet ölçüm noktası bulunmuştur (Şekil 5.6)



Şekil 5.6 T10x koridorunda belirlenen noktalar

5.2.1 EMR-300 Radyasyon Ölçüm Aygıtı

Belirlenen toplam 217 noktadaki Elektrik Alan Şiddeti ölçümleri, EMR-300 (Şekil 5.7) radyometre aygıtı ile gerçeklenmiştir. EMR-300 ile 3 GHz üstsür frekans değerine kadar prob tipine göre ani, ortalama ve maksimum ortalama Elektrik Alan veya Manyetik Alan şiddetinin değerleri belirlenebilmektedir. Ayrıca aygıta monte edilen tripod sayesinde de probun yerden yüksekliği ayarlanabilmektedir. Probun yani alıcı antenin ışına diyagramı 360 derecelik huzmeye (omni-directional) sahip olduğundan yükseklik seviyesine göre probun eğim açısı istenildiği gibi değiştirilebilmektedir.

Belirlenen 100 cm yükseklik seviyesi için 217 noktanın her birinde için en az 3 dakika ayıgit dinlemeye bırakılarak Ortalama Elektrik Alan Şiddeti değerleri ölçülmüştür. Elde edilen değerler YSA modellemesinde eğitim ve test kümesi olarak ayrılan ölçüm değerlerine ilişkin çizelgeler sonraki bölümde verilmiştir.

5.2.2 Elektrik Alan Şiddeti Ölçüm Değerleri

Belirlenen 217 noktadaki 100 cm yükseklik seviyesi için elde edilen ölçüm verileri Çizelge 5.1'de gösterilmiştir.

Çizelge 5.1 Propagasyon Ortamında Elde Edilen Ölçüm Değerleri

Nokta No	187...217	156...186	125...155	094...124	063...093	032...062	001...031
	0,22	0,15	0,26	0,27	0,33	0,3	0,33
	0,2	0,21	0,27	0,26	0,29	0,3	0,32
	0,23	0,16	0,23	0,29	0,26	0,27	0,31
	0,29	0,23	0,22	0,26	0,23	0,28	0,34
	0,24	0,21	0,21	0,31	0,26	0,22	0,26
	0,27	0,23	0,23	0,3	0,2	0,25	0,38
	0,23	0,24	0,22	0,23	0,22	0,22	0,33
	0,22	0,22	0,28	0,26	0,19	0,2	0,28
	0,2	0,19	0,23	0,23	0,19	0,19	0,2
	0,19	0,25	0,27	0,23	0,23	0,21	0,32
	0,17	0,21	0,26	0,22	0,2	0,19	0,2
	0,16	0,2	0,2	0,23	0,24	0,25	0,27
	0,23	0,23	0,22	0,21	0,22	0,25	0,23
	0,29	0,26	0,2	0,26	0,27	0,26	0,23
	0,27	0,26	0,25	0,25	0,26	0,31	0,28
	0,29	0,22	0,23	0,26	0,28	0,26	0,25
	0,26	0,24	0,27	0,35	0,28	0,28	0,26
	0,29	0,25	0,22	0,3	0,29	0,25	0,22
	0,31	0,29	0,26	0,31	0,3	0,32	0,26
	0,35	0,33	0,27	0,33	0,31	0,33	0,26
	0,32	0,27	0,3	0,32	0,3	0,31	0,28
	0,28	0,28	0,24	0,3	0,32	0,3	0,28
	0,26	0,33	0,26	0,27	0,28	0,29	0,33
	0,22	0,3	0,23	0,28	0,28	0,29	0,36
	0,2	0,3	0,24	0,25	0,26	0,31	0,3
	0,23	0,26	0,21	0,23	0,24	0,26	0,23
	0,2	0,21	0,22	0,27	0,23	0,22	0,26
	0,17	0,2	0,19	0,24	0,23	0,2	0,21
	0,2	0,21	0,22	0,23	0,22	0,23	0,22
	0,2	0,23	0,23	0,25	0,28	0,23	0,27
	0,27	0,22	0,22	0,26	0,25	0,22	0,19

100 cm yükseklik seviyesi



Şekil 5.7 EMR-300 Radyasyon Ölçüm Aygıtı

5.3 Yapay Sinir Ağı Tasarımı ve Sonuçları

Yol kayıp hesaplamalarının modellenmesi için geliştirilen YSA modeli, Lavenberg-Marquardt algoritması ile geriye yayılımın gerçekleştiği ileri beslemeli bir Çok Katmanlı Algılayıcı (ÇKA) yapısına sahiptir. Modelin girişleri; 100 cm yükseklik düzleminde ölçüm yapılan noktaların “1” numaralı referans noktasına göre olan X (enlem) ve Y (boylam) konum bilgileridir. Çıkışlar ise doğal olarak ölçüm noktalarına ilişkin Elektrik Alan şiddeti değerleridir.

Tasarım için öncelikle elde edilen 217 ölçüm verisi, eğitim ve test kümelerine ayrılmış; daha sonra ÇKA yapısındaki saklı (ara) katman ve ara katmanlardaki düğüm sayısı; öğrenme ve momentum katsayı; iterasyon sayısı; aktivasyon fonksiyonunun tipi gibi sistemin tasarım parametreleri belirlenip ortamdaki propagasyon yol kayıp modellemesinin sonuçları ortaya konmuştur.

5.3.1 Eğitim ve Test Kümesinin Belirlenmesi

Elde edilen 217 ölçüm verisi 108'i eğitim; 109'u da test verisi olmak üzere iki ayrı kümeye ayrılmıştır. Ayırıştırma işleminde çift numaralı ölçüm noktaları eğitim; tek numaralı yani ara

noktalar ise test kümesi elemanları olarak belirlenmiştir. Test kümесini oluşturan noktalar Çizelge 5.2'de gibi turuncu renk ile işaretlenip gösterilmiştir.

Çizelge 5.2 YSA Modeli Eğitim ve Test Değerleri

Nokta No	187...217	156...186	125...155	094...124	063...093	032...062	001...031
	0,22	0,15	0,26	0,27	0,33	0,3	0,33
	0,2	0,21	0,27	0,26	0,29	0,3	0,32
	0,23	0,16	0,23	0,29	0,26	0,27	0,31
	0,29	0,23	0,22	0,26	0,23	0,28	0,34
	0,24	0,21	0,21	0,31	0,26	0,22	0,26
	0,27	0,23	0,23	0,3	0,2	0,25	0,38
	0,23	0,24	0,22	0,23	0,22	0,22	0,33
	0,22	0,22	0,28	0,26	0,19	0,2	0,28
	0,2	0,19	0,23	0,23	0,19	0,19	0,2
	0,19	0,25	0,27	0,23	0,23	0,21	0,32
	0,17	0,21	0,26	0,22	0,2	0,19	0,2
	0,16	0,2	0,2	0,23	0,24	0,25	0,27
	0,23	0,23	0,22	0,21	0,22	0,25	0,23
	0,29	0,26	0,2	0,26	0,27	0,26	0,23
	0,27	0,26	0,25	0,25	0,26	0,31	0,28
	0,29	0,22	0,23	0,26	0,28	0,26	0,25
	0,26	0,24	0,27	0,35	0,28	0,28	0,26
	0,29	0,25	0,22	0,3	0,29	0,25	0,22
	0,31	0,29	0,26	0,31	0,3	0,32	0,26
	0,35	0,33	0,27	0,33	0,31	0,33	0,26
	0,32	0,27	0,3	0,32	0,3	0,31	0,28
	0,28	0,28	0,24	0,3	0,32	0,3	0,28
	0,26	0,33	0,26	0,27	0,28	0,29	0,33
	0,22	0,3	0,23	0,28	0,28	0,29	0,36
	0,2	0,3	0,24	0,25	0,26	0,31	0,3
	0,23	0,26	0,21	0,23	0,24	0,26	0,23
	0,2	0,21	0,22	0,27	0,23	0,22	0,26
	0,17	0,2	0,19	0,24	0,23	0,2	0,21
	0,2	0,21	0,22	0,23	0,22	0,23	0,22
	0,2	0,23	0,23	0,25	0,28	0,23	0,27
	0,27	0,22	0,22	0,26	0,25	0,22	0,19

Çizelge 5.2' de verilen değerler ölçüm yapılan noktalara ilişkin Elektrik alan şiddeti değerleridir. Bu değerler, ağır çıkış verileri olduklarından hem eğitim hem de test işlemi için hedef (beklenen) değer matrisini oluşturacaklardır. "1" numaralı başlangıç ölçüm noktası koridorun başlangıcında; duvarın bir parke (30 cm) yanında bulunmaktadır. Bu yüzden bu

noktannın konum bilgileri $X_1 = 30\text{cm}$; $Y_1 = 0\text{cm}$ olarak belirlenmiştir. Diğer 216 nokta da “1” numaralı noktaya olana uzaklıklarına göre ($X_2 = 30\text{cm}$; $Y_2 = 120\text{cm}$), ($X_3 = 30\text{cm}$; $Y_3 = 240\text{cm}$), ..., ($X_{31} = 30\text{cm}$; $Y_{31} = 3600\text{cm}$)...($X_{216} = 390\text{cm}$; $Y_{216} = 3480\text{cm}$), ($X_{217} = 390\text{cm}$; $Y_2 = 3600\text{cm}$) olarak belirlenmiştir.

5.3.2 Giriş ve Çıkışların Ölçeklendirilmesi

YSA modelinde problemin örnekleri toplanırken; bazı durumlarda problem uzayı ile ilgili örneklerin hepsinin aynı ölçek üzerine indirgenmesi gerekebilir. Koridorun boyu 36 m; eni 4.2 olduğundan ağıın farklı girişleri arasında aşırı büyük veya küçük değerler görülebilir. Bütün girdilerin belli aralıktı (çoğunlukla 0-1 aralığında) ölçeklendirilmesi hem farklı ortamlardan gelen bilgilerin aynı ölçek üzerine indirgenmesine hem de yanlış girilen çok büyük ve küçük şekildeki değerlerin etkisinin ortadan kalmasına neden olur.

Ölçeklendirme işlemi genellikle ağıın tüm girişlerinin en büyük giriş verisi ile bölünerek normalize edilmesidir. Ortamda ki en büyük boyut koridorun uzunluğu olana 36 m yani 3600 cm olduğundan hem X hem de Y konum bilgileri bu değere göre normalize edilmiştir.

Girdilerin ölçeklendirilme işlemine benzer şekilde ağıın çıkışları da normalize edilmektedir. Bu işlemin nedeni katmanlardaki düğümlerde çıkışında aktivasyon fonksiyonu olarak *sigmoid* fonksiyonun kullanılması durumunda çıkışın 0-1 arasında değerler almasıdır. Ölçüm değerleri Çizelge 5.2' de görüldüğü üzere 0-1 arasında olmasına rağmen sağlamlık olması sebebiyle değerler 100 sayısına bölünerek normalize edilmiştir. Yapay sinir ağıının çıkışlarının gerçek değerler vermesi için ise çıktı verileri modelleme sonucu tekrar 100 ile çarpılmıştır.

Tüm bu ölçeklendirme işlemi Yapay Sinir Ağının sağlıklı sonuçlar verebilmesi için yapılmıştır. Normalize edilmiş giriş ve çıkış değerlerinden bazıları örnek olması amacıyla Çizelge 5.3'de verilmektedir. Test verileri Çizelge 5.2'deki gibi turuncu renk ile belirtilmiştir.

5.3.3 Tasarım Parametrelerinin Belirlenmesi

Dördüncü bölümde genel özellikleri tanımlanan Yapay Sinir Ağ modelleri, mimarisinde yer alan eleman ve fonksiyonlar bakımından oldukça fazla parametre içermektedir.

Çizelge 5.3 YSA Modelinin İndirgenmiş Giriş ve Çıkış Değerleri

nokta no.	x (cm)	y (cm)	Xnormalize	Ynormalize	Ölçüm (V/m)	N. Ölçüm (V/m)
1	30	0	0,0083333	0	0,33	0,0033
2	30	120	0,0083333	0,033333333	0,32	0,0032
3	30	240	0,0083333	0,066666667	0,31	0,0031
4	30	360	0,0083333	0,1	0,34	0,0034
5	30	480	0,0083333	0,133333333	0,26	0,0026
6	30	600	0,0083333	0,166666667	0,38	0,0038
7	30	720	0,0083333	0,2	0,33	0,0033
8	30	840	0,0083333	0,233333333	0,28	0,0028
9	30	960	0,0083333	0,266666667	0,2	0,002
10	30	1080	0,0083333	0,3	0,32	0,0032
11	30	1200	0,0083333	0,333333333	0,2	0,002
12	30	1320	0,0083333	0,366666667	0,27	0,0027
13	30	1440	0,0083333	0,4	0,23	0,0023
14	30	1560	0,0083333	0,433333333	0,23	0,0023
15	30	1680	0,0083333	0,466666667	0,28	0,0028
16	30	1800	0,0083333	0,5	0,25	0,0025
17	30	1920	0,0083333	0,533333333	0,26	0,0026
18	30	2040	0,0083333	0,566666667	0,22	0,0022
19	30	2160	0,0083333	0,6	0,26	0,0026
20	30	2280	0,0083333	0,633333333	0,26	0,0026
21	30	2400	0,0083333	0,666666667	0,28	0,0028
22	30	2520	0,0083333	0,7	0,28	0,0028
23	30	2640	0,0083333	0,733333333	0,33	0,0033
24	30	2760	0,0083333	0,766666667	0,36	0,0036
25	30	2880	0,0083333	0,8	0,3	0,003
26	30	3000	0,0083333	0,833333333	0,23	0,0023
27	30	3120	0,0083333	0,866666667	0,26	0,0026
28	30	3240	0,0083333	0,9	0,21	0,0021
29	30	3360	0,0083333	0,933333333	0,22	0,0022
30	30	3480	0,0083333	0,966666667	0,27	0,0027
31	30	3600	0,0083333	1	0,19	0,0019
32	90	0	0,025	0	0,3	0,003
62	90	3600	0,025	1	0,22	0,0022
63	150	0	0,0416667	0	0,33	0,0033
93	150	3600	0,0416667	1	0,25	0,0025
94	210	0	0,0583333	0	0,27	0,0027
124	210	3600	0,0583333	1	0,26	0,0026
125	270	0	0,075	0	0,26	0,0026
155	270	3600	0,075	1	0,22	0,0022
156	330	0	0,0916667	0	0,15	0,0015
186	330	3600	0,0916667	1	0,22	0,0022
187	390	0	0,1083333	0	0,22	0,0022
217	390	3600	0,1083333	1	0,27	0,0027

Bu parametrelerin hangi değerde veya hangi fonksiyon şeklinde olacağını belirleyen kesin kurallar bulunmamaktadır. Tüm bu tasarım elemanları deneme-yanılma ve istatistiksel verilere göre seçilmektedir.

YSA modelini oluşturan Çok Katmanlı Algılayıcı (ÇKA) yapısındaki başlıca tasarım parametrelerinin değer veya fonksiyon tipleri:

- *Saklı katman sayısı:* 2
- *Saklı katmanlardaki düğüm sayısı:*
 - 1.saklı katman için 5 düğüm
 - 2.saklı katman için 7 düğüm
- *Katman çıkışlarında kullanılan aktivasyon fonksiyonun tipi:*
 - 1.saklı katman için sigmoid
 - 2.saklı katman için sigmoid
 - çıkış katmanı için Doyumlu-doğrusal
- *GYA'daki öğrenme katsayısı:* $\alpha = 0.2$
- *GYA'daki Momentum Katsayı:* $\lambda = 0.6$
- *GYA'daki iterasyon sayısı:* $t=500$

şeklinde seçilmiştir.

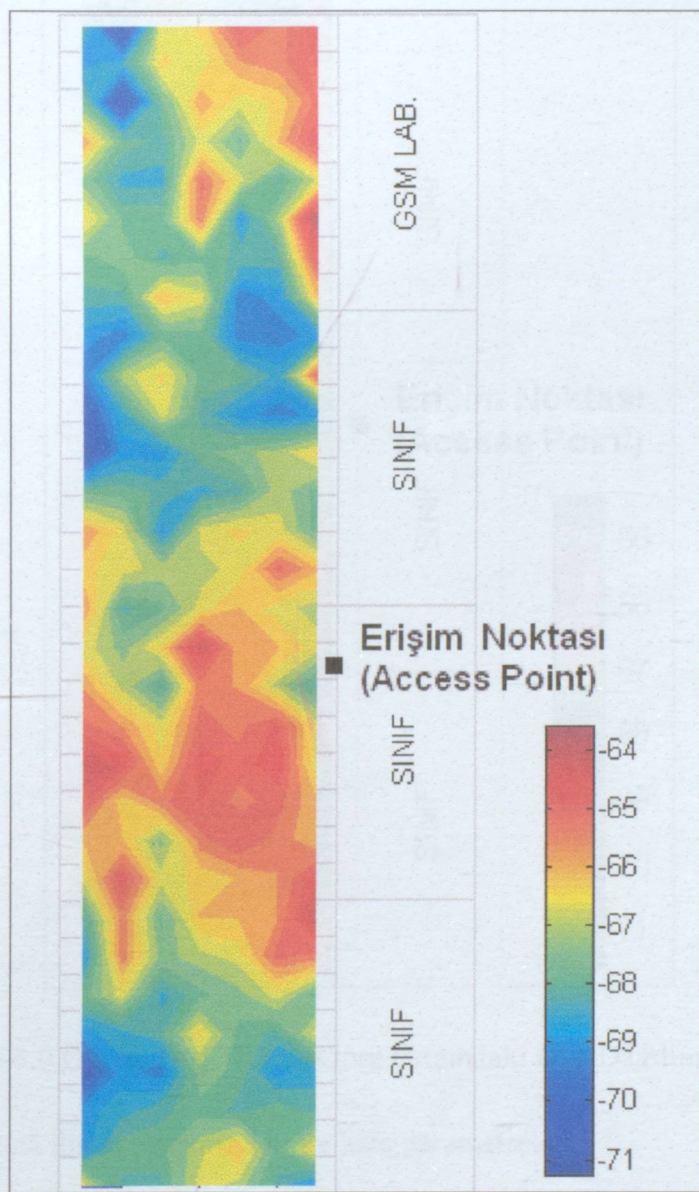
5.3.4 Modelleme Sonuçları

Deneme-yanılma yöntemiyle tasarım parametreleri belirlenen ve Levenberg-Marquardt öğrenme algoritmasının uygulandığı ileri beslemeli YSA modeli, MATLAB Neural Network Toolbox'da yer alan komutların yardımıyla çalıştırılmış; elde edilen Elektrik alan değerleri ile öncelikle ortamdaki Elektromanyetik güç dağılımı kontur diyagramlar şeklinde modellenmiş; elde edilen dağılım, ölçüm değerleri ile elde edilen kontur diyagramlar ile karşılaştırılmıştır.

Ölçüm yapılan noktada elde edilen Elektrik alan şiddeti değeri (2.13) ve (2.15) ifadelerinin bileşkesi olan (5.1) denklemiyle o noktadaki güç şiddeti değerine çevrilmiştir:

$$P(d)_{dB} = 10 \log\left(\frac{|E(d)|^2 G_r \lambda^2}{480\pi^2}\right) \quad (5.1)$$

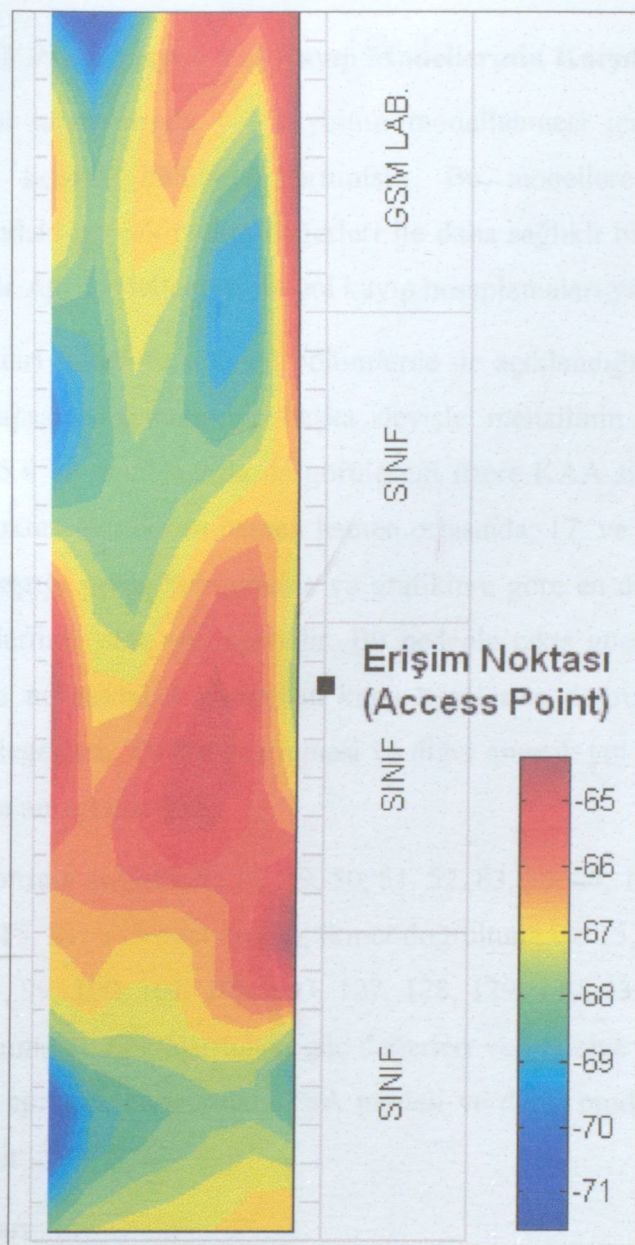
Yukarıda belirtilen güç dönüşümü ifadesinin yardımıyla öncelikle ölçüm değerlerine göre (Şekil 5.8); sonra da YSA modelinin kestirimine (Şekil 5.9) göre güç dağılımı kontur diyagramları şeklinde modellenmiştir.



Şekil 5.8 Ölçüm Değerlerine Göre Ortamda Güç Dağılımı (dB)

Şekil 5.8' den görüleceği üzere ölçüm değerlerine göre modellenen güç dağılı oldukça keskin değişimler göstermektedir. Yapay Sinir Ağ modelinde (Şekil 5.9) ise noktalar arasındaki güç

dağılımı daha yumuşak bir geçiş izlemekte ve sigmoid aktivasyon fonksiyonun karakteristik özelliklerini taşımaktadır.



Şekil 5.9 Ölçüm Değerlerine Göre Ortamdaki Güç Dağılımı (dB)

Tasarlanan YSA ağına ilişkin performans ve hata parametreleri :

- *Performans:* $5,49 \times 10^{-8}$
- *Ortalama Hata (Güç):* 0,0224 dB
- *RMS Hata (Güç):* 1,0658 dB
- *Standart sapma (Güç):* 1.0321 dB

şeklinde elde edilmiştir. Değerlerden görüleceği üzere YSA 1.0321 dB gibi küçük sayılabilecek bir standart sapma değeri ile modelleme yapmaktadır.

5.4 YSA ile Amprik Propagasyon Yol Kayıp Modellerinin Karşılaştırılması

Bina içi propagasyon ortamlarında yol kaybının modellenmesi için öne sürülen amprik modellerin sonuçları üçüncü bölümde verilmiştir. Bu modellere alternatif bir çözüm sunabileceği ve ortamdaki gerçek ölçüm değerleri ile daha sağlıklı bir kestirim yapabilecegi varsayılan Yapay Sinir Ağı modellemesi ile yol kayıp hesaplamaları yapılmıştır.

Yol kaybı hesaplamaları ikinci ve üçüncü bölümlerde de açıklandığı üzere ortamda çalışan kablosuz sistemin kapsama alanının, bir başka deyişle menzilinin belirlenmesi amacıyla yapılmaktadır. Şekil 5.8 ve Şekil 5.9'da da görüleceği üzere KAA sisteminin vericisi Cisco 1100 serisi Erişim Noktası koridorun hemen hemen ortasında; 17. ve 18. noktaların arasında duvar ve tavanın birleştiği yerde bulunmakta ve grafiklere göre en düşük güç seviyeleri ise koridorun karşı köşelerinde elde edilmektedir. Bu nedenle çıkış gücünün $100 \text{ mW} (-10 \text{ dB})$ olduğu bilinen erişim noktasından koridorun karşı köşelerine doğru iki doğrultuda (Şekil 5.10) mevcut ölçüm değerleri, YSA modellemesi ve diğer amprik yol kayıp modelleri ile yol kaybının hesaplanması amaçlanmıştır.

Ölçüm verisi olarak; birinci doğrultuda 18, 19, 50, 51, 52, 83, 84, 85, 116, 117, 118, 149, 150, 151, 182, 183, 184, 215, 216 (19 adet nokta); ikinci doğrultuda ise 15, 16, 17, 43, 44, 45, 46, 47, 71, 72, 73, 74, 75, 99, 100, 101, 102, 103, 127, 128, 129, 130, 131, 156, 157, 158, 159, 187 (26 adet nokta) numaralı noktalarındaki güç değerleri ve vericiye olan uzaklıklar ile yol kaybı hesaplamaları yapılarak oluşturulan YSA modeli ve diğer modeller ile karşılaştırmalı grafikler elde edilmiştir.

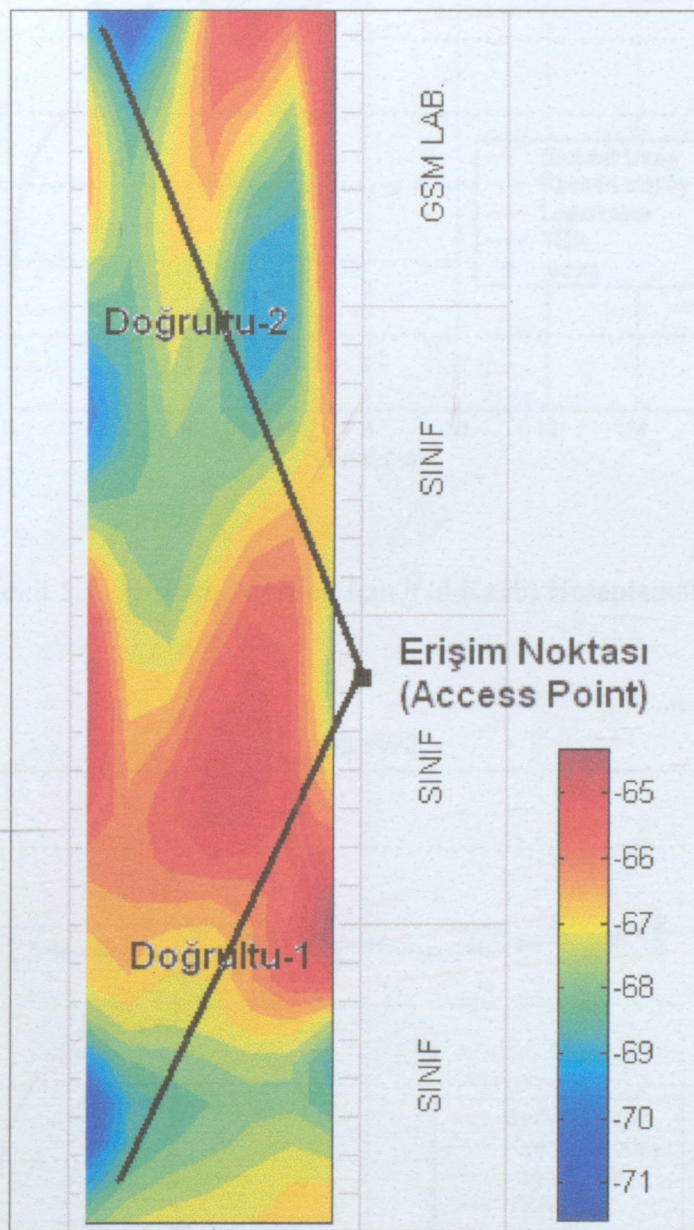
Yol kaybı hesaplamaları :

$$PL_{dB}(d) = Pt_{dB}(d) - Pr_{dB}(d) \quad (5.2)$$

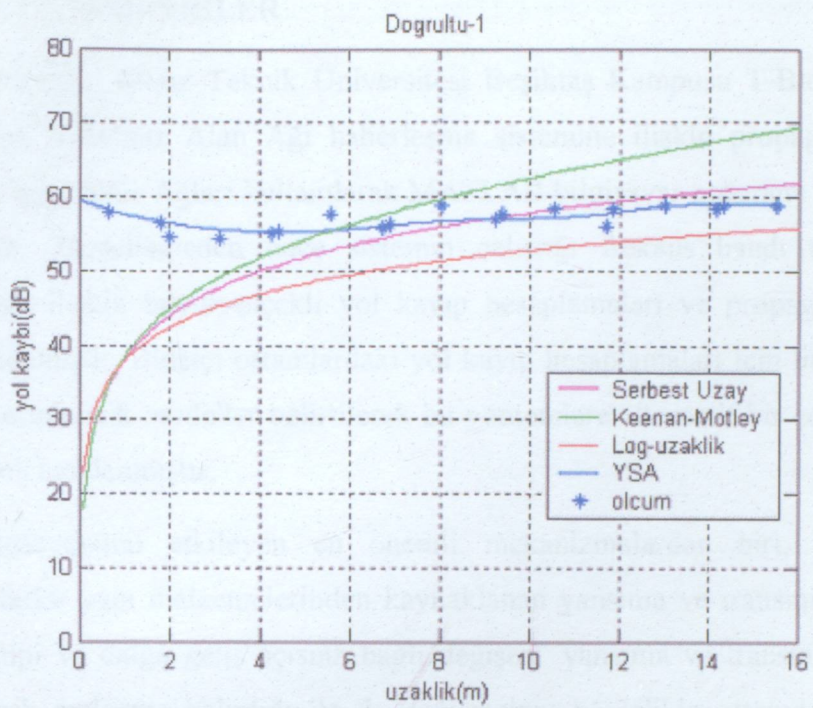
İfadesi kullanılarak yapılmıştır. Elde edilen yol kaybı grafikleri Şekil 5.11 ve Şekil 5.12'de görülmektedir.

Hem birinci hem de ikinci doğrultuya ilişkin grafiklerden görüleceği üzere, oluşturulan Yapay Sinir Ağı modeli, yol kaybı hesaplamalarında hem ölçüm verileriyle örtüşmekte; hem de kararlı uzak alan bölgeleri için Serbest Uzay, Keenan-Motley ve Logaritmik-Uzaklık modelleriyle bir tutarlılık sağlamaktadır. Verici antene yakın bölgelerde amprik modellerdeki

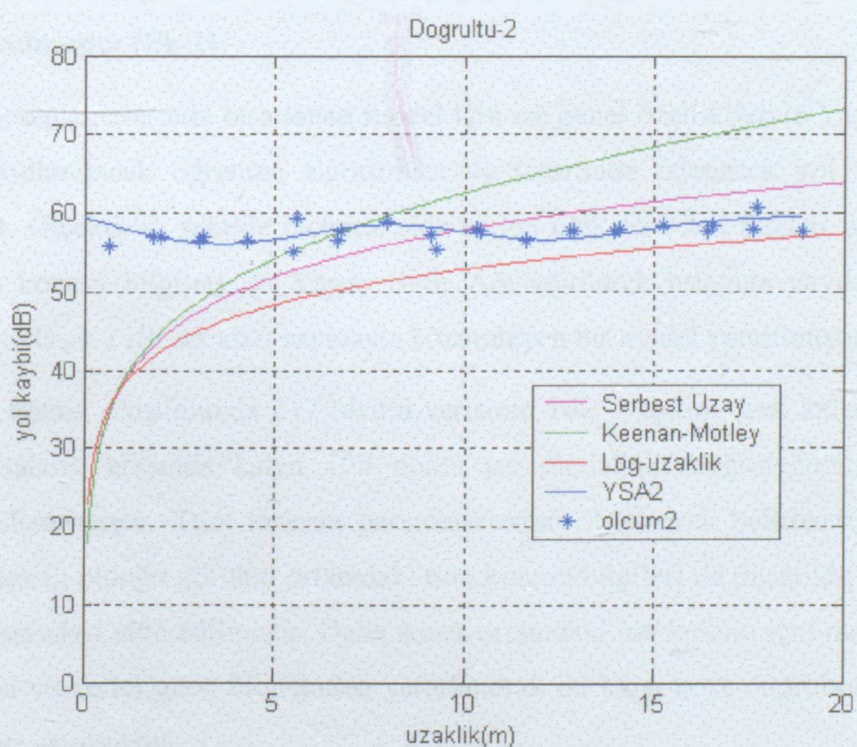
gibi kaynaktan itibaren logaritmik olarak artan bir değişim görülmesi beklenmektedir. Grafiklerdeki bu uyuşmazlık, propagasyon ortamında özellikle kaynağa yakın alan bölgesinde bulunan gürültüden kaynaklanmaktadır.



Şekil 5.10 Yol Kaybı Hesaplamaları İçin Kullanılan Doğrultular



Şekil 5.11 Birinci Doğrultu İçin Yol Kaybı Hesaplamaları



Şekil 5.12 İkinci Doğrultu İçin Yol Kaybı Hesaplamaları

6. SONUÇLAR ve ÖNERİLER

Bu tez çalışmasında, Yıldız Teknik Üniversitesi Beşiktaş Kampusu T-Blok zemin katında çalışmakta olan Kablosuz Alan Ağrı haberleşme sistemine ilişkin propagasyon yol kayıp hesaplarının Yapay Sinir Ağları kullanılarak MATLAB bilgisayar programı ile modellenmesi gerçekleşmiştir. Modellemeden önce sistemin çalıştığı frekans bandı tanımlanıp radyo propagasyonuna ilişkin büyük-ölçekli yol kayıp hesaplamaları ve propagasyonu etkileyen etmenler incelenmiştir. Binaiçi ortamlardaki yol kayıp hesaplamaları için literatürde yer alan amprik ve deterministik modeller belirtilerek bu yöntemlere alternatif bir çözüm olan Yapay sinir Ağrı modeli açıklanmıştır.

Radyo propagasyonunu etkileyen en önemli mekanizmalardan biri, özellikle binaiçi ortamlardaki farklı yapı malzemelerinden kaynaklanan yansımaya ve transmisyon etkileridir. Polarizasyon tipi ve dalga geliş açısına bağlı değişen yansımaya ve transmisyon katsayıları, ayrıca dielektrik malzeme kalınlığı ile de değişmekte; böylelikle ortamda güç yayılımı, dalga kılavuzu etkileri ile modellenmektedir. Farklı dielektrik malzemelerin radyo propagasyonuna olan etkileri makale formatında derlenerek, Şubat 2004' de dördüncüsü gerçekleşen "WSEAS International Conference on Electronics, Hardware, Wireless & Optical Communications" kongresinde "WLAN Propagation Path Loss Prediction at 2.4 GHz" isimli bildiride sunulmuştur.(Ek-1)

Yol kaykı hesaplamalarında tasarlanan model için ise genel özellikleriyle Yapay Sinir Ağları tanıtılarak kullanılacak öğrenme algoritması ve tasarımda izlenecek yol ve parametreler belirtilmiştir. Ölçekli bir şekilde ölçümler elde edilen Elektrik Alan Şiddeti verileri ve ölçüm noktalarının konum bilgileri ile Yapay Sinir Ağrı eğitilerek ortamda yayılmakta olan güç dağılımını yaklaşık 1 dB standart sapmayla çözümleyen bir model yaratılmıştır.

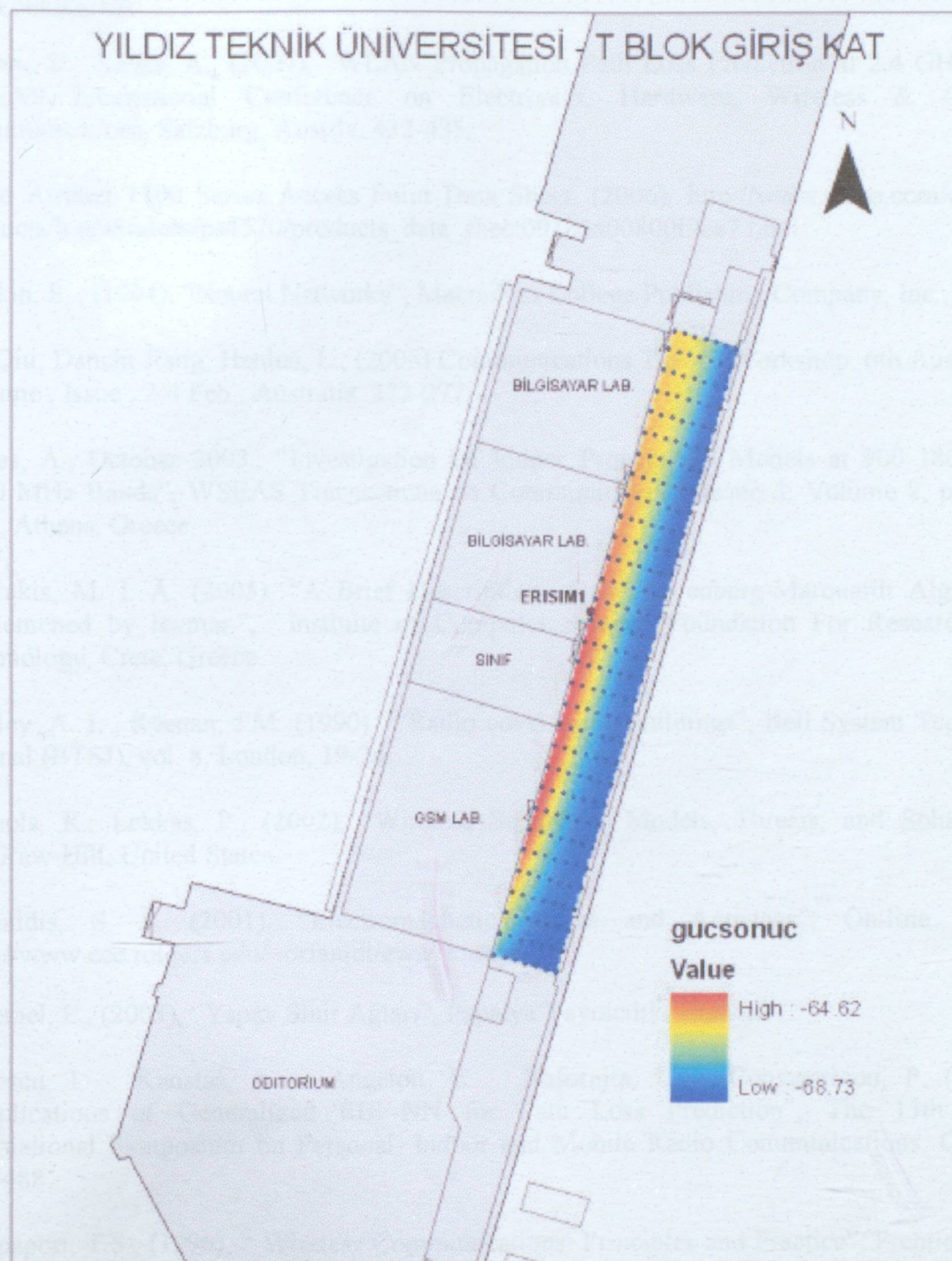
Yapay sinir ağının oluşumunda 217 ölçüm verisinin 108' i eğitim; geri kalan ve eğitim için seçilen noktaların arasında kalan 109 nokta ise modelinin doğruluğunun test edilmesi amacıyla kullanılmıştır. Tüm tasarım parametrelerinin denenerek belirlendiği modelde test işleminin başarılı olduğu görülp ortamda tüm konum bilgileri ile öncelikle güç dağılımının kontur diyagramları elde edilmiştir. Daha sonra ortamda her konum için modellenen alınan güç değerleri ve verici gücü bilgisinden yararlanarak iki karşı köşe doğrultusunda yol kayıp hesaplamaları yapılmıştır.

Yapay Sinir Ağrı kullanılarak yapılan yol kayıp hesaplamaları bina içi uygulamalarda kullanılan diğer amprik modeller ve ölçüm değerleri karşılaştırılmış; YSA modelinin uzak

alan bölgelerinde Serbest uzay ile Logaritmik-Uzaklık modelleri ile tutarlılık gösterdiği görülmüştür. Öte yandan yakın alanlarda YSA modelinin ortamındaki gürültü yüzünden logaritmik bir değişim gösteremediği anlaşılmıştır.

YSA modeli ölçüm verilerinden türetildiğinden ortamındaki yol kaybını modelleyen en gerçekçi çözüm olarak gözükmektedir. Haberleşme mühendisleri büyük binaçi ortamlarda bu modelleme ile vericilerinin menzilini yani kapsama alanını araştırıp; sistemin işlerliği ve devamlılığı için hangi noktalara ek vericilerini koyabileceğini kestirebilmektedir. Ayrıca ölçüm yükseklik seviyesi değiştirilerek diğer kablosuz uygulamalarda kapsama alanı ve/veya ortamda yüksek oranda elektromanyetik güç yayınlayan kaynağın çevredeki insanlar üzerindeki olumsuz etkileri incelenebilmektedir.

Tez çalışması sırasındaki incelemelerin yanı sıra, YTÜ Jeodezi ve Fotogrametri Mühendisliği Yüksek Lisans öğrencisi Alper Şen ile aynı ortamda beş farklı yükseklik seviyesinde Elektrik Alan şiddeti ve noktalara ilişkin koordinat ölçümleri yapılmıştır. Elde edilen ölçüm verileri ile standart Geriye Yayılım Algoritması'nın kullanıldığı bir Yapay Sinir Ağı modeli daha oluşturulmuş; modelin sonuçları ArcGIS Coğrafi Bilgi Sorgulama sistemine aktarılarak ortama ilişkin üç boyutlu (3-D) elektromanyetik güç dağılımı sorgulaması yapılmıştır. 100 cm yükseklik seviyesi için ArcGIS modelinin sonuçları Şekil 6.1'de görülmektedir. Yapılan çalışmalar ayrıca makale formatında derlenerek 28-31 Mayıs 2007'de İtalya'nın Padua şehrinde düzenlenen "The 5th International Symposium on Mobile Mapping Technology (MMT)" kongresinde "Electromagnetic Coverage In GIS" isimli bildiride sunulmuştur (Ek-2)



Şekil 6.1 100 cm Yükseklik Seviyesi için Güç Dağılımının ArcGIS ile Görüntülenmesi

KAYNAKLAR

Bulucu, U., Kavas, A., (2004), "WLAN Propagation Path Loss Prediction at 2.4 GHz" 4th WSEAS International Conference on Electronics, Hardware, Wireless & Optical Communications, Salzburg, Austria, 432-435.

Cisco Aironet 1100 Series Access Point Data Sheet, (2006), http://www.cisco.com/en/US/products/hw/wireless/ps4570/products_data_sheet09186a00800f9ea7.html

Haykin, S. , (1994), "Neural Networks", Macmillan College Publishing Company, Inc., U. S.

Lei Qiu; Danchi Jiang; Hanlen, L., (2005) Communications Theory Workshop, 6th Australian Volume , Issue , 2-4 Feb., Australia. 272-277.

Kavas, A., October 2003., "Investigation Of Indoor Propagation Models at 900 1800 and 1900 MHz Bands", WSEAS Transactions on Communications, Issue 4, Volume 2, pp.444-447., Athens, Greece.

Lourakis, M. I. A. (2005), "A Brief Description of the Levenberg-Marquardt Algorithm Implemened by levmar.", Institute of Computer Science Foundation For Research and Technology, Crete, Greece

Motley ,A. J. , Keenan, J.M. (1990) , "Radio coverage in buildings", Bell System Technical Journal (BTSJ), vol. 8, London, 19-24

Nichols, R., Lekkas, P., (2002), "Wireless Security - Models, Threats, and Solutions", McGraw-Hill, United States.

Orfanidis, S. J., (2001), "Electromagnetic Waves and Antennas", On-line pages, <http://www.ece.rutgers.edu/~orfandi/ewa/front.pdf>

Öztemel, E., (2003), "Yapay Sinir Ağları", Papatya Yayıncılık, İstanbul

Popescu, I. Kanstas, A. Angelou, E. Nafornta, L. Constantinou, P. (2002), "Applications of Generalized RBF-NN for Path Loss Prediction", The 13th IEEE International Symposium on Personal, Indoor and Mobile Radio Communications, Greece, 484-488.

Rappaport, T.S., (1996), " Wireless Communications: Principles and Practice", Prentice-Hall International (UK) Limited, 1 st., London.

Shamir, A., (2002), "An Introduction to Radio Waves Propagation: Generic Terms, Indoor Propagation and Practical Approaches to Path Loss Calculations, Including Examples, RF Waves Ltd-White Papers, London.

Şen, Ö.F., Sipahi A.R., Karaman, A. (2005), "Kablosuz Yerel Alan Şebekelerinin Kurulması ve Performans Ölçümü 802.11b/ 802.11g", Lisans Bitirme Tezi, YTÜ Elektrik ve Elektronik Fakültesi, Elektronik ve Haberleşme Mühendisliği Bölümü, İstanbul.

EKLER

Ek 1 Makale-1: "WLAN Propagation Path Loss Prediction at 2.4 GHZ"

Ek 2 Makale-2: "Electromagnetic Coverage Calculation In GIS"

Ek 1 Makale-1: “WLAN Propagation Path Loss Prediction at 2.4 GHz”

WLAN Propagation Path Loss Prediction at 2.4 GHz

UMUT BULUCU* AKTÜL KAVAS

Electronics and Communication Engineering Dept.

GSM System Test and Measurement Lab.

Yıldız Technical University

Yıldız, Beşiktaş-İstanbul.

TURKEY

*Yıldız Technical University

Yıldız, Beşiktaş-İstanbul.

TURKEY

kavas@yildiz.edu.tr

<http://www.personel.cc.yildiz.edu.tr>

[*ubulucu@hotmail.com](mailto:ubulucu@hotmail.com)

Abstract: - Estimating propagation path loss is important in order to predict the performance of WLAN in its working environment. In this study wave guide modeling of path loss calculation is proposed for predicting the WLAN radio propagation to achieve computational simplicity and better accuracy than the large - scale propagation models. The average path loss is calculated as a function of transmission and reflection coefficients. The average path power is used to predict the received power in a typical indoor environment. Theoretical calculation of reflection and transmission coefficients of electromagnetic waves from dielectric medium is shown as a tool for prediction of reflection and transmission losses. Consequently a comparison of the propagation path loss examples and simulations are given for working frequency of 2.4GHz IEEE 802.11b standard.

Key-Words: - Indoor wireless communication,WLAN, power coverage, statistical indoor radio propagation, path loss, propagation model, wireless deployment tool.

1 Introduction

WLAN is starting to become a popular alternative to wired networks both at work and at home. Using electromagnetic waves WLAN's transmit and receive data over the air with acceptable speed levels minimizing the need for wired connections. WLAN's combine data connectivity with user mobility through simplified configurations.

The coverage prediction model and large scale deployment of the services is important in a WLAN configuration to define the place when a user will loose connection and to plan how multiple access points (AP) can be placed in the same building without causing interference with each other. While adaptable to both indoor and outdoor environments, WLAN's are especially suited to indoor locations such as office buildings, manufacturing floors, libraries, hospitals and universities. Therefore large- scale deployment of these services provides a major challenge to the network designers.

The basic block of a WLAN is the “Cell” which is defined as the area in which the wireless data communication takes place according to the users own need and can also be temporary. Cell radius can vary usually from tens of meters to some hundred meters. The coverage area of the cell depends on the strength of

the propagated radio signal and the characteristics of the indoor environment.

WLAN radio frequency coverage differs from traditional propagation models mainly in two aspects

- Distances between transmitter and receiver is shorter
- Power coverage of the transmitter is much lower.

In addition to the above aspects RF signal dispersion for indoor wireless areas is highly disturbed. Reflection, diffraction and scattering of the RF signal is dynamic and therefore difficult to predict. Small changes in position or direction of the receiver according to the transmitter may result in wide sense signal strength variations. Within the office structures RF propagation is mainly dependent on the variation of the building size, shape, structure, construction material, transmitter and receiver positions, antenna radiation patterns, mutual visibility between the transmitter and receiver antenna, people density and the level of human activity. The purpose of this paper is to introduce a more computationally efficient model for predicting the path loss calculations within a building environment. The work is organized as follows: Section 2 states the theory behind the proposed model and gives the key equations for path loss prediction. Section 3 shows practical link budget design where the total received

power can be estimated. In Section 4 the prediction of the received power using the proposed model is compared to the statistical indoor radio propagation models for a typical office environment.

2 WLAN Propagation

WLAN indoor radio propagation differs from the outdoor one, because the distance between transmitter and receiver is shorter due to high attenuation caused by furniture, and because of the lower transmitter power. Indoor wireless communication is important for service providers in order to calculate the optimum place for their repeaters or access points; where the indoor coverage directly impacts the critical capacity and cost. The propagated electromagnetic signal in the indoor environment can undergo three primary physical modes. These are reflection, diffraction and scattering.

Reflection occurs when a propagating electromagnetic wave impinges upon an object which has very large dimensions when compared to the wavelength of the propagating wave.

Diffraction occurs when the radio path between the transmitter and receiver is obstructed by a surface that has sharp edges.

Scattering occurs when the medium through which the wave travels consist of objects with dimensions that are small compared to the wavelength and where the number of obstacles per unit volume is large.

2.1 Reflection and Transmission from dielectric materials in an indoor environment

In this study a plane wave propagating through a dielectric 1 (of parameters ϵ_1 and μ_1) is assumed as obliquely incident at an angle θ_i on a plane interface between medium 1 and medium 2 (of parameters ϵ_2 and μ_2). In medium 1 both the incident and reflected waves are present while in medium 2 only a transmitted wave exists. After realizing general boundary conditions at the interface and denoting E_i, E_r, E_t the complex amplitudes of electric field intensity we get the reflection and transmission coefficients by the following equations.

$$\Gamma_{TE} = \frac{\eta_2 \cos(\theta_i) - \eta_1 \cos(\theta_t)}{\eta_2 \cos(\theta_i) + \eta_1 \cos(\theta_t)} \quad (1)$$

$$\tau_{TE} = \frac{2\eta_2 \cos(\theta_i)}{\eta_2 \cos(\theta_i) + \eta_1 \cos(\theta_t)} \quad (2)$$

$$\Gamma_{TM} = \frac{\eta_1 \cos(\theta_i) - \eta_2 \cos(\theta_t)}{\eta_1 \cos(\theta_i) + \eta_2 \cos(\theta_t)} \quad (3)$$

$$\tau_{TM} = \frac{2\eta_1 \cos(\theta_i)}{\eta_1 \cos(\theta_i) + \eta_2 \cos(\theta_t)} \quad (4)$$

These coefficients are obtained with the dielectric properties of the medium, which are defined by its dielectric constant, where the imaginary part is highly frequency dependent and smaller than the real part.

$$\epsilon_r = \epsilon' r + j \epsilon'' r \quad (5)$$

Since the reflection and transmission coefficients determine the ratio between the amplitudes of the incident and reflected electric fields, the following conversion formulas are used for reflected and transmitted power calculations.

$$P_{ref} = P_{inc} |\Gamma|^2 \quad (6)$$

$$P_r = |1 - |\Gamma|^2| P_{inc} \quad (7)$$

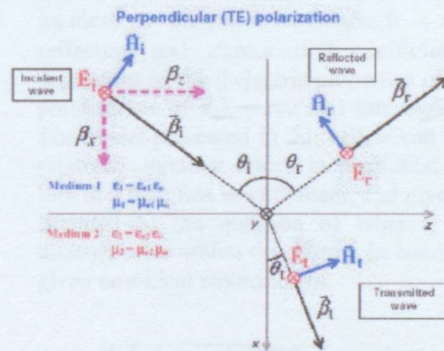


Fig.1. TE Polarization

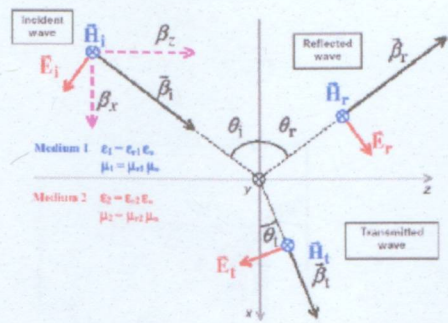


Fig.2.TM Polarization

Some of the investigated dielectric constant values[1] of common materials in an indoor environment is given in Table.1

Table-1 Dielectric Constants of Various Materials

Material	ϵ'_r	Material	ϵ'_r
Glass	4-10	Marble	12
Concrete	4-6	Formica	4
Wood	1.5-2	Gypsum Board	3

2.2 Path loss attenuation of walls

In an indoor propagation environment the attenuation due to the walls is important and must be taken into consideration in deployment of the WLAN equipment. In this study the wall is treated as a transmission line with a finite thickness filled with one type of dielectric material.

The propagation loss is calculated for a 30cm gypsum board with a dielectric constant 3-0.1i for both TE and TM polarizations, where the antennas are at a height of 0.50 cm.

2.3 Statistical Indoor Radio Propagation Models

Empirical-statistical path loss models are often derived by applying linear regression on measured data. These models are chosen above their deterministic counterparts because of their simplicity and adequacy for calculating the average received signal power. However, to achieve a higher accuracy in smaller areas (e.g. micro-cells), semi-empirical models are employed. These models are generally based on a theoretical model, which is then modified according to measured data for a particular propagation scenario.

This section treats path loss models for small cells (pico-cells) in indoor coverage in the frequencies around 2 GHz, which is the frequency band for Wireless LANs.

Free Space, Log-distance and Keenan Motley Path L Models [2][3][4][5] are investigated and consequent comparison of the propagation path loss examples are given in Figure 7.

3 Practical Link Budget Design Using Path Loss Models

The limiting factor on a wireless link is the signal noise ratio (SNR) required by the receiver for use reception. The power received from a transmitter at separation distance of d directly impacts the SNR. The desired signal level in the communication channel can be calculated as function of path loss and antenna gain:

$$P_r (dBm) = P_t (dBm) + G_t (dB) + G_r (dB) - \overline{PL}(d)$$

4 Conclusion

The complexity of wave propagation in a non-ideal environment is presented showing a practical approach to propagation path loss estimation in an indoor environment. The concept of reflection and transmission losses is presented via the calculation of transmission and reflection coefficient of waves, when incident on dielectric materials. It is shown that reflection and transmission coefficients are highly dependent on the dielectric properties of the matter, polarization of the wave and the angle of incidence. The model presented in this article can be applied with relatively minimal effort, in prediction of propagation loss in a complex environment, and give the RF system designer to the question of what is the maximum distance over which the system in hand will work in a given non-ideal environment.

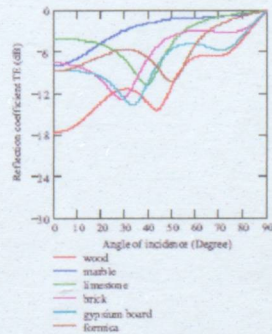


Fig.3 Reflection Coefficient for TE polarization

Kavas / Electromagnetic Scattering Calculation In GIS

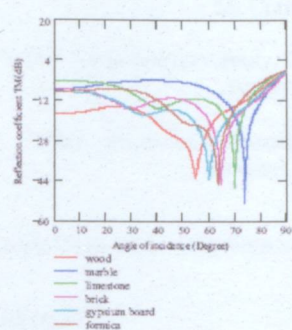


Fig.4 Reflection Coefficient TM polarization

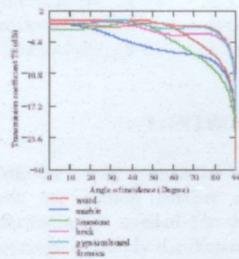


Fig.5 Transmission Coefficient TE polarization

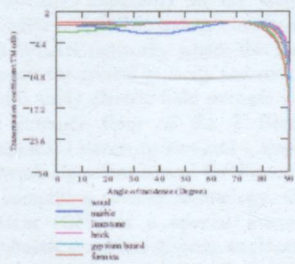


Fig.6 Transmission Coefficient for TM polarization

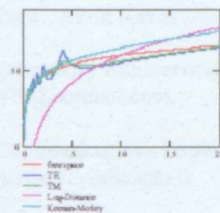


Fig.7 Propagation Path Loss

References:

- [1] T.S.Rappaport "Wireless Communications Principles and Practice" Prentice Hall ,1996.
- [2] A. J. Motley and J. M. Keenan, "Radio coverage in buildings," *Bell System Technical Journal (BTSJ)*, vol. 8, pp. 19 – 24, Jan. 1990.
- [3] A.Kavas "Investigation of Indoor Propagation Models at 900 1800 and 1900 MHz Bands" 5th International Conference on Mathematical and Computational Techniques in Electrical Engineering,WSEAS , Vouliagmeni, Athens,Greece ,December 29-31,2003.
- [4]A.Kavas "Cellular Mobile radio System Design Using Path Loss Calculations" 3rd International Conference on Electrical and Electronics Engineering,ELECO2003,pp290-293,Vol.Electronics,Bursa-Turkey,December 3-7,2003.
- [5] J G. W"olfle and F. M. Landstorfer, "Dominant Paths for the Field Strength Prediction," in *48th IEEE International Conference on Vehicular Technology (VTC)*, (Ottawa), pp. 552–556, May 1998.

Ek 2 Makale-2: “Electromagnetic Coverage Calculation In GIS”

ELECTROMAGNETIC COVERAGE CALCULATION IN GIS

M. Umit Gümüşay¹, Alper Sen¹, Umut Bulucu², Aktul Kavas²

¹Yildiz Technical University, Department of Geodesy and Photogrammetry Engineering, Besiktas, Istanbul, Turkey –gumusay@yildiz.edu.tr, alpersen79@hotmail.com,

²Yildiz Technical University, Department of Electronics and Communications Engineering, Besiktas, Istanbul, Turkey – ubulucu@hotmail.com, kavas@yildiz.edu.tr

KEYWORDS: GIS, GSM, WLAN, Electromagnetic Coverage, Artificial Neural Network, Interpolation Methods

ABSTRACT:

Wireless communication networks offer subscribers to have free mobility and possibility to access information in any where at any time. Therefore, electromagnetic coverage calculation is important for wireless mobile communication systems, especially in Global System for Mobile communications (GSM) and Wireless Local Area Networks (WLAN). In this study, electromagnetic coverage calculations using neural network algorithm is presented and mobile GIS interrogation System (GIS) is improved with measurements and simulation data to make queries about electromagnetic coverage and electromagnetic pollution. The proposed GIS system realizes mapping and graphical presentation in real time including a Global Positioning System (GPS), a notebook or pocket PC and a GIS software.

1. INTRODUCTION

With the rapid growth of wireless communications, cell sizes are getting smaller and site-specific propagation information is needed for the design of mobile systems. Coverage is simply the distance that a wireless network can transmit data at a given data rate subject to the regulations in its frequency band and the standard under which it operates. Indoor electromagnetic coverage is a primary consideration in the implementation of indoor wireless networks. Especially in the frequency range between 500MHz and 5GHz. Indoor coverage is important for GSM and WLAN networks where the indoor coverage directly impacts the critical capacity and cost. [1, 2]

In this study electric field strength values were measured at the entrance floor of the T Block building in Yildiz Technical University Besiktas Campus and artificial neural network algorithm is used for the coverage prediction.

In computing science technology, Geographic Information System (GIS) is a special interest of fields such as databases, graphics, systems engineering and computational geometry, being not only a challenging application area but also providing foundational questions for these disciplines. The study of GIS has emerged in the last decade as an exciting multi-disciplinary endeavour, spanning such areas as geography, the environmental sciences and computer science. [3]

In this study the proposed GIS ensures propagation environment modelling the number, position and transmitter power of access points, electromagnetic coverage, and the radiation level values.

2. ELECTROMAGNETIC RADIATION

The mechanisms behind electromagnetic wave propagation are diverse, but can generally be attributed to reflection, diffraction and scattering. Most mobile wireless communication systems operate in areas where there is no line of sight path between transmitter and receiver. Due to multiple reflections from various objects, the electromagnetic waves travel along different paths of

varying lengths. The interaction between these waves causes multipath fading at a specific location, and the strengths of the waves decrease as the distance between the transmitter and receiver increases.

The power received at distance d can be calculated in terms of power flux density and effective aperture of the receiving antenna. Relation between electric field and received power is given [4]

$$P(d)_{dB} = 10 \log\left(\frac{|E(d)|^2 G_r \lambda^2}{480\pi^2}\right) \quad (1)$$

Where G_r is the receiver antenna gain, and $\lambda = c/f_0$ is the wavelength, $c = 3 \cdot 10^8 \text{ m/s}$ is the velocity of light and $f_0 = 2.4 \text{ GHz}$ is the operating frequency of the wireless transceiver. In this calculation receiver antenna gain is assumed as unity.

3. WIRELESS LOCAL AREA NETWORKS

A wireless LAN (WLAN) is a wireless local area network, allowing users to connect directly to a distribution system without interconnecting wires and cables. WLAN utilizes spread-spectrum technology based on radio waves to enable communication between devices in a limited area, also known as the Basic Service Set (BSS). This gives end-users the mobility to move around within a broad coverage area and still be connected to the network.

The primary reasons of the popularity of wireless LANs are their convenience, cost efficiency, and ease of integration with other networks and network components. [5]

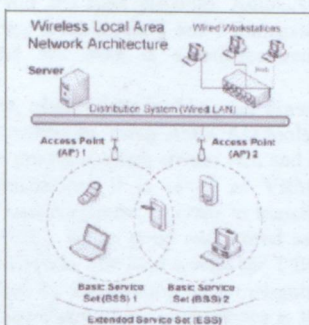


Figure 1. A WLAN Architecture using BSS infrastructure

The connections to the end-users in Wireless LANs are established via an air interface and the communication is maintained by an electromagnetic coverage area through WLAN Access Point (AP).

WLANs are mostly implemented on indoor environments and a circular coverage is expected, but the pattern of the coverage area can usually be affected in a destructive or a constructive way. Thus, the coverage area the range and the radiation pattern of a WLAN communication system probably differ from the theoretical prediction approach. [1, 2]

In this study Cisco Aironet 1100 Series Access Point is used for WLAN communication system at entrance floor of T-Block Building in Yildiz Technical University. The indoor Electric Field (V/m) measurements and coverage area analysis were implemented according to these access positions.

The investigated Cisco Aironet 1100 Series Access Point is placed at nearly the top center of the corridor and attached to the outside walls of the classrooms. It is at 290 cm high from the floor. The Access Point has the main following features: [5]

- 2.4 GHz IEEE 802.11g Radio Standard
- Configurable output power up to 100 mW
- 10.4 cm wide; 20.5 cm high; 3.8 cm deep physical dimensions
- Integrated 2.2 dBi dipole antennas
- Up to 54 Mbps date rate for range of 27m

4. THE MEASUREMENTS

The measurements were done inside T Block building in Yildiz Technical University Besiktas Campus. In order to produce map and 3 dimensional model of the area, T Block building, surroundings and details inside the building were surveyed by polar survey method. Nikon DTM-330 Electronic Total Station instrument was used in the geodetic measurements. All details of T Block building; classrooms, corridors, stairs, doors, columns, central heating radiators, access points and sample points of which electric field strength determined were surveyed with horizontal and vertical angle and distance readings by Electronic Totalstation. Furthermore, geodetic measurements were done around T block building to determine the topographic land form. 17 benchmark points were installed by referencing 2 GPS survey points and totally 388 detail points were surveyed.

Electric field strength measurements, which are used for analyzing and predicting the electromagnetic coverage area, are performed at the entrance floor of the T-Block building.

In sense of symmetrically covering the floor, 217 straight points were chosen. The measurement results at the entrance floor were used in artificial neural networks and interpolation methods. To train the neural networks algorithm as 3 dimensional, the measurements were repeated at 5 different height levels. (50 cm, 100 cm, 140 cm, 215 cm and 290 cm)

Electromagnetic measurements were performed with an EMR-300 radiometer at every single point, the device was fixed at a constant position by using a tripod.

The Radiometer EMR-300 is a versatile system for measuring electromagnetic fields. After setting the measurement system, the device turned on for at least 3 minutes at a given single position and waited for finding the average electric field strength in units of V/m. For every single point the same measurement procedure was repeated.

5. USE OF GEOGRAPHIC INFORMATION SYSTEMS

Geographic information system (GIS) technology can be used for scientific investigations, resource management, and development planning. A GIS is a computer system capable of capturing, storing, analyzing, and displaying geographically referenced information; that is, data identified according to location. The power of GIS comes from the ability to relate different information in a spatial context and to reach a conclusion about this relationship. Most of the information we have about our world contains a location reference, placing that information at some point on the globe. [6]

ArcGIS is an integrated collection of GIS software products for building a complete GIS. ArcGIS desktop provides a collection of software products that create, edit, import, map, query, analyze, and publish geographic information. ArcGIS is structured around three main modules: ArcCatalog, ArcMap and ArcScene. These modules are used in the study.

The 3 dimensional points obtained from the area are transferred into ArcMap based on the national coordinate system (ED50) and T Block and surroundings are mapped from these points. A Personal GeoDatabase is performed in ArcCatalog and the applications are stored in that database. Electric field values are related to that points by adding the data to the attribute tables of the system.

Attributes of Measurement Points						
HN	X	Y	Z	EMR	Shape	
1	416813.177	4547072.981	94.063	0.16	Point	
2	416813.514	4547074.145	94.062	0.19	Point	
3	416813.851	4547075.309	94.061	0.26	Point	
4	416814.189	4547076.473	94.06	0.23	Point	
5	416814.526	4547077.637	94.059	0.29	Point	
6	416814.863	4547078.802	94.058	0.33	Point	

Figure 2. Attribute table of the points and electromagnetic field strength (EMR)

All the details are determined and transferred into GIS in order to present data about propagation environment. Thus, the proposed system provides to make queries and analysis and utilize the results.

Propagation environment is presented in 3 dimensional form by ArcScene program. T block building is modelled in

AutoCAD and 3ds Max program. AutoCAD is a suite of CAD software products for 2 and 3 dimensional design and drafting and 3ds Max is a full-featured 3D graphics application.

In this study, plans of the building are drawn and extruded with height values by using AutoCAD tools, then rendered by 3ds Max program which creates rich and complex model design visualization. It is saved as VRML format and transferred into ArcScene. In order to transfer the model, it is related with a single point and stored as a symbol and scaled in ArcScene. The land around the T Block building is also modelled by constituting TIN triangular network and contours. The shape of the land surface is shown in Figure 3 and five different height levels of the measurements at the entrance floor are shown in Figure 5 respectively.

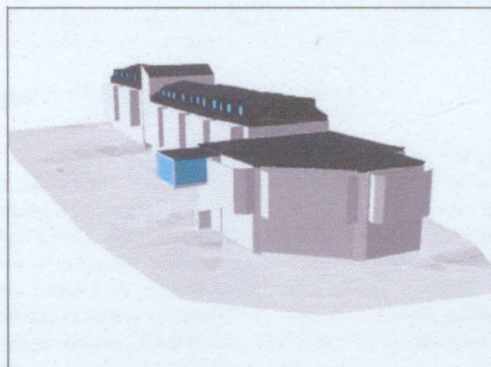


Figure 3. T Block building and the land

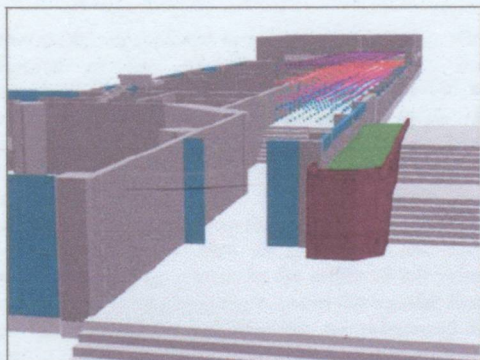


Figure 4. Measurement points along the corridor at 5 different height levels

Interpolation is an important feature of a Geographic Information System; it is the procedure to estimate values at unknown locations within the area covered by existing observations. Inverse Distance Weighted (IDW), Spline and Kriging methods can be used to create interpolated surfaces through the user interface of ArcScene. Each interpolation method makes assumptions to show how to determine the estimated values.

In this study, various measurements show that there are instantaneous changes in the electric field values depending on the propagation environment. As a result of the non-linear variation, Kriging method is chosen due to its geostatistical evaluation for interpolating.

Kriging method assumes that the distance or direction between sample points reflects a spatial correlation that can be used to explain variation in the surface. Kriging is a

multi-step process; it includes exploratory statistical analyze of the data, variogram modeling, creating the surface, and optionally, exploring a variance surface.

IDW and Spline are referred to as deterministic interpolation methods because they are directly based on the surrounding measured values or on specified mathematical formulas that determine the smoothness of the resulting surface. A second family of interpolation methods consist of geostatistical methods such as kriging, which are based on statistical models that include autocorrelation (the statistical relationship among the measured points). Because of this, not only do these techniques have the capability of producing a prediction surface, but they can also provide some measure of the certainty or accuracy of the predictions. [7]

The measurement points are separately interpolated for 5 different height level by Kriging method. Because those traditional interpolation functions mainly deal with 2 dimensional GIS dataset.

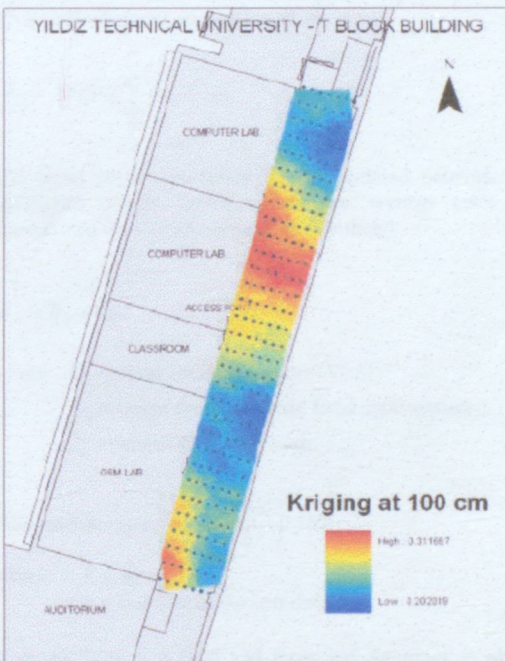


Figure 5. Kriging interpolation surface of the electric field strength values at 100 cm height level

6. ARTIFICIAL NEURAL NETWORKS

Neural network is mathematical models of human cognition, which can be trained to perform a specific task based on available experiential knowledge. The model is typically composed of three parts: input, one or many hidden layers, and an output layer. Hidden and output neuron layers include the combination of weights, biases and transfer functions.(Figure-6) The weights are connections between neurons while the transfer functions are linear or non-linear algebraic functions. When a pattern is presented to the network, weights and biases are adjusted so that a particular output is obtained. Neural networks provide a learning rule for modifying their weights and biases. Once a neural network is trained to a satisfactory level, it can be used as novel data. Training techniques can

either be supervised or unsupervised. Supervised training methods are adapted for interpolation problem. [8]

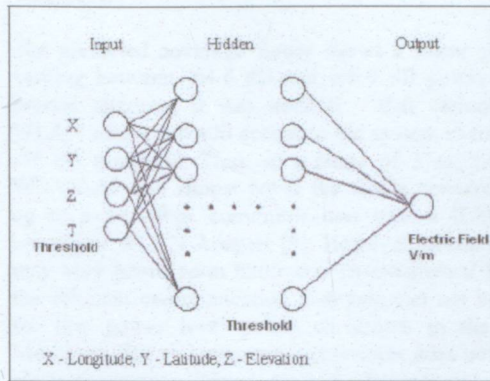


Figure 6. Typical Neural Network Model

In this project, Back-propagation (BP) algorithm is used. As the algorithm's name implies, the errors (and therefore the learning) propagate backwards from the output nodes to the inner nodes. So technically speaking, back-propagation is used to calculate the gradient of the error of the network with respect to the network's modifiable weights. This gradient is almost always then used in a simple stochastic gradient descent algorithm to find weights that minimize the error.

Design and Implementation

In this study; an artificial neural network (ANN), which is composed of one input layer with ($k=3$) neurons representing x-y-z coordinates, one hidden layer with ($j=15$) neurons and ($m=1$) output layer with a single neuron representing the Electric Field Intensity Value (V/m), is used. Besides, threshold matrix is applied through the hidden and output-layers. Back Propagation training algorithm is implemented on the feed-forward network. The x-y-z coordinates are used as input data and they are reduced by replacing a point to the origin (0-0-0 values) of the coordinate system in order to mean the transfer function. Then the other measurement points are referenced to that point.

The transfer function applied to both hidden and output layers is a non-linear Sigmoid Function shown below

$$f(\text{net}) = \frac{1}{1 + e^{-\text{net}}} \quad (2)$$

$$\text{Net} = \sum_{k=1}^n A_{kj} C_k \quad (3)$$

where A_{kj} and C_k are matrices of weights and outputs respectively.

1085 measurement points are separated into two groups as training data (672 points) and test data (413 points) respectively. Firstly, neural network is trained by the input of 672 points and Back – Propagation calculation performed

for every training point in order to distribute the errors to weights, after 200 iterations, found the final updated weight matrix.

The optimized weight matrix applied between hidden and output layers is found as:

$$A_{jm}^{ih}(t) = A_{jm}^{ih}(t-1) + \Delta A_{jm}^{ih}(t) \quad (4)$$

$$\Delta A_{jm}^{ih}(t) = \lambda \delta_m C_j^h + \alpha \Delta A_{jm}^{ih}(t-1) \quad (5)$$

$$\delta_m = f'(\text{net}) E_m \quad (6)$$

where t represents the number of iterations.

and the weight matrix applied between input and hidden layers is found as applying the same procedure mentioned above by shifting the nodes through the input layer of the ANN including the derivation of δ_j term:

$$\delta_j = f'(\text{net}) \sum_m \delta_m A_{jm}^{ih} \quad (7)$$

413 input points are tested by the updated network with optimized weight matrices and the average error and accuracy of the neural network is calculated.

$$E_m = B_m - C_m \quad (8)$$

where E_m = error for m th process (V/m)

B_m = target result; electric field measurements

C_m = Output of the network

$$\text{Expected Accuracy} = \left(1 - \frac{\sum |E|}{n} \right) * 100 \quad (9)$$

where E = error

n = number of the test data

Average Error is 0.1305 and Expected Accuracy is almost 87 percent and the error result is accepted for interpolation of electric field intensity values and coverage prediction. In order to determine the best network topology, points chosen for input data, the number of neurons at hidden layer, iterations, learning and momentum rate are changed by various combinations until obtaining an acceptable accuracy.

Coverage Results

The Neural Network is finally formed with the optimized weight matrices and these matrices are set to the feed-forward network. After setting the final neural network, the WLAN coverage is analyzed for 100 cm altitude level which represents the usual height of a WLAN receiver. The coordinate values (x-y-z) defining the 100cm level are applied to the input nodes of the network and the predicted Electric Field strength values are given by the output node. The corresponding outputs of the input coordinate values are firstly converted to the units of received power (dB), and

then they are sketched as a contour diagram (Figure-7) representing the cross-section radiation pattern of the WLAN AP.

The predicted coverage figure shows a linear propagation varying between -64.6 dB and -68.6 dB power values. In several attempts, it was noticed that various types of WLAN adapters could access to the system even below the -70 dB threshold. Thus, in a range of 27m, the radiating WLAN AP can almost cover the whole corridor to satisfy up to a 54 Mbps communication with a IEEE 802.11g compliant WLAN Adapter [9]. However, actual throughput may vary based upon numerous environmental factors and the efficient communication data rate can not be achieved for low power level points as shown in the figure 7. Moreover, this electromagnetic coverage does not lead to an electromagnetic pollution due to the low power levels. [10]

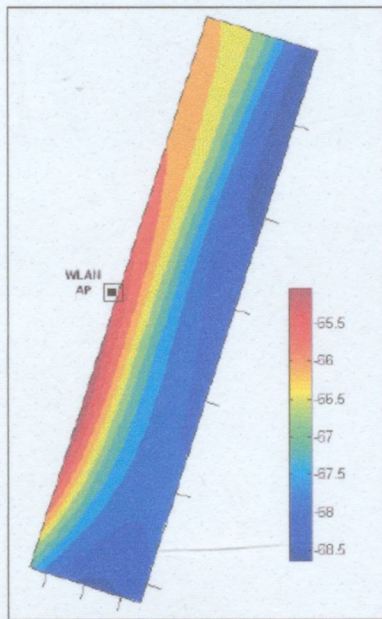


Figure 7. ANN Prediction of Received Power (dB) Values at 100 cm Height Level

Comparison of ANN Prediction and Kriging Interpolation Method

The electromagnetic coverage in the propagation environment now can be modelled by both ANN Prediction and Kriging Interpolation Method. To compare these approaches, 10 coordinate values are set as the inputs of each model. Half of the coordinates are selected randomly. The Comparison is given Table 1.

Both of the models have the similar error values. ANN prediction uses a Back-propagation algorithm, updating itself by optimizing the weight matrices to enable a three-dimensional (3D) query. On the other hand, Kriging can only do a 2D interpolation to predict the coverage.

7. CONCLUSION

In this study 3D electromagnetic coverage and electromagnetic pollution modelling with Artificial Neural Network (ANN) using Back Propagation Algorithm is realized and modelled in GIS environment. Algorithms for coverage prediction are investigated. The comparison of the

algorithm results are shown. Additionally a Geograph Information System (GIS) providing 3D propagatic environment modelling the number, position and transmitt power of access points, electromagnetic coverage, tl radiation level values, is proposed. As a result the propose GIS system with ANN prediction help a telecom R designer to make queries about the current electromagnet coverage and pollution analysis in a given propagatic environment and helps to determine the communicati signal quality.

REFERENCES

- [1] Kavas, A., October 2003., Investigation Of Indo Propagation Models at 900 1800 and 1900 MF Bands, *WSEAS Transactions on Communication* Issue 4, Volume 2, pp.444-447.
- [2] Bulucu, U., Kavas, A., February 2004, WLA Propagation Path Loss Prediction at 2.4 GHz" 4 *WSEAS International Conference on Electronic Hardware, Wireless & Optical Communication* Salzburg, Austria, pp. 432-435.
- [3] Worboys M., May 2004, *GIS : A Computer Perspective*, pp.xi.
- [4] Rappaport, T.S., 1996, *Wireless Communications Principles and Practice*. Prentice-Hall, Inc, p 78-79.
- [5] Nichols, R., Lekkas, P., 2002, *Wireless Security Models, Threats, and Solutions*. pp.329-330.
- [6] U.S. Geological Survey, http://erg.usgs.gov/isb/pubs/gis_poster/ (accessed 22 February 2007).
- [7] Bratt S., Booth B., September 2004, *Using ArcG. 3D Analyst*. pp.73-75.
- [8] Yang X., July 2005, *Implementing of Neural Network Interpolation in ArcGIS and Case Study for Spatial-Temporal Interpolation of Temperature*, Master Project, University of Texas, Dallas, USA.
- [9] Cisco Aironet 1100 Series Access Point Data Sheet, 2006 http://www.cisco.com/en/US/products/hw/wireless/ps4570/products_data_sheet09186a00800f9ea7.html (accessed 28 March 2007)
- [10] Cleveland R., Ulcek J., August 1999 *Questions and Answers About Biological Effects and Potential Hazards of Radiofrequency Electromagnetic Fields, Oet Bulletin 56 Fourth Edition, Office of Engineering and Technology Federal Communications Commission Washington,D.C., USA*

Table1. Comparison of ANN and Kriging Interpolation method.

Point No	INPUT			OUTPUT			ERROR			ANN- POWER (dB)
	X (m)	Y (m)	Z (m)	ANN (V/m)	KRIGING (V/m)	TARGET (V/m)	ANN (V/m)	KRIGING (V/m)		
Random 1	416814,487	4547073,162	94.2	0,2049	-	-	-	-	-	-68,5843
Random 2	416817,061	4547082,573	94,8	0,2697	-	-	-	-	-	-66,2003
Random 3	416818,87	4547091,062	95,1	0,3347	-	-	-	-	-	-64,325
Random 4	416819,488	4547093,249	95,32	0,3352	-	-	-	-	-	-64,3106
Random 5	416822,636	4547096,216	93,47	0,2148	-	-	-	-	-	-68,1747
41	416816,794	4547083,289	93,663	0,2864	0,3122	0,3	0,0136	-0,0122	-	-65,6777
302	416821,761	4547098,254	94,163	0,2648	0,3032	0,28	0,0152	-0,0232	-	-66,3599
440	416814,863	4547078,802	94,563	0,3113	0,2741	0,33	0,0187	0,0559	-	-64,9542
851	416821,054	4547087,103	95,313	0,1764	0,2017	0,19	0,0136	-0,0117	-	-69,889
1050	416824,856	4547102,405	96,063	0,2085	0,2409	0,22	0,0115	-0,0209	-	-68,4343

ÖZGEÇMİŞ

Doğum Tarihi	15.09.1981
Doğum Yeri	Eskişehir
Lise	1996-1999 Bandırma K.E.V. Özel Lisesi
Lisans	1999-2004 Yıldız Teknik Üniversitesi Elektrik-Elektronik Fakültesi Elektronik ve Haberleşme Mühendisliği Bölümü
Yüksek Lisans	2004-2007 Yıldız Teknik Üniversitesi Fen Bilimleri Enstitüsü Elektronik ve Haberleşme Müh. Anabilim Dalı Haberleşme Programı

Çalıştığı Kurum(lar)

2006-Devam Nortel Netaş Telekomünikasyon A.Ş.



* 0 0 3 0 1 3 7 *